

DPV 817

LITHOSTRATIGRAPHIE, PALEOGEOGRAPHIE ET POTENTIEL EN HYDROCARBURES DE L'ILE ANTICOSTI

Documents complémentaires

Additional Files



Licence



Licence

Cette première page a été ajoutée
au document et ne fait pas partie du
rapport tel que soumis par les auteurs.

Énergie et Ressources
naturelles

Québec 



**MINISTÈRE
DE L'ÉNERGIE
ET DES RESSOURCES**

DIRECTION GÉNÉRALE
DES ÉNERGIES CONVENTIONNELLES

**LITHOSTRATIGRAPHIE, PALÉOGÉOGRAPHIE
ET POTENTIEL EN HYDROCARBURES
DE L'ÎLE D'ANTICOSTI**

A. A. PETRYK

Avec la collaboration de R.BERTRAND, A.CHAGNON, Y.HÉROUX et A.ACHAB,
de la section Pétrole de l'Institut national de la Recherche scientifique (INRS-Pétrole)

MINISTERE DE L'ENERGIE ET DES RESSOURCES
DIRECTION GENERALE DES ENERGIES CONVENTIONNELLES
SERVICE DE L'EXPLORATION

LITHOSTRATIGRAPHIE, PALEOGEOGRAPHIE ET POTENTIEL
EN HYDROCARBURES DE L'ILE D'ANTICOSTI

par

A. PETRYK

avec la collaboration de R. BERTRAND,
A. CHAGNON, Y. HEROUX et A. ACHAB, de
la section Pétrole de l'Institut national
de la Recherche scientifique (INRS-Pétrole)

RESUMÉ

Les strates en bordure nord de la province structurale appalachienne constituent, pour l'Est de l'Amérique du Nord, la plus complète des séquences entre l'Ordovicien supérieur et le Silurien moyen (environ 1100 m). Elles sont divisées en Groupe de Jolliet (Ordovicien supérieur) et Groupe d'Anticosti (fin de l'Ordovicien jusqu'au Silurien moyen). Le Groupe de Jolliet (555 m) comprend les formations d'English Head et/ou Vauréal (plus de 480 m) et d'Ellis Bay (75 m). Le groupe d'Anticosti (plus de 565 m) comprend les formations de Becscie (131-173 m), Gun River (146 m), Jupiter (171 m) et Chicotte (> 75 m).

Du point de vue paléogéographique, ces strates appartiennent à une plate-forme comprenant un faciès carbonaté à l'ouest et un faciès de transition carbonates-siliciclastiques à l'est. Ces faciès semblent indiquer une origine en milieu peu profond, holomarin, infracotidal et néritique. Les changements bathymétriques sont déduits des multiples cycles sédimentaires, qui sont ramenés à un méga-cycle de régression (Groupe de Jolliet) et à un mégacycle de transgression (Groupe d'Anticosti). Les observations lithologiques séquentielles, les déterminations lithostratigraphiques et les résultats d'analyses portant sur les microfaciès, le résidu insoluble et les argiles supportent ces déductions.

La région comprend quasiment toute la gamme des textures de déposition, depuis les calcaires mudstones (micrites) aux calcaires boundstones, avec présence locales de coquinites, de calcaires intrarudstones (conglomérats intraformationnels) et d'éboulements blocailleux. Les calcaires et dolomies cristallins sont rares; la dolomie d'association compte pour jusqu'à 3% selon les analyses de microfaciès. La porosité intrasquelettique primaire est faible; les roches qui la manifestent émettent, par endroits, un gaz fétide ou un suintement d'huile lorsque fracturées. Une porosité relativement élevée, de nature indéterminée, se retrouve dans les digitations sableuses et friables de la partie supérieure des Formations de Vauréal et d'Ellis Bay du faciès de transition carbonates-siliciclastiques.

Localement - surtout dans la partie supérieure des formations - on note des biohermes de 1 à 5 m d'épaisseur édifiés par des Coraux, des Stromatopores et des Algues, la plupart se corrélant sur toute l'étendue de l'île d'Anticosti. Le marqueur lithostratigraphique important de l'île est le membre 7 de la Formation d'Ellis Bay; il est dense, tabulaire, épais de 50 cm et riche en oncolithes et fragments squelettiques et algaires.

Les analyses élémentaires (C,H,O,N) indiquent que les macéraux du kérogène sont du type pyrobitume asphaltique et correspondent au début de la fenêtre pétrolière. Le carbone organique total est en général peu élevé: 0.15 à 1.14; toutefois, dans le faciès de transition carbonates-siliciclastiques, des valeurs moyennes de 1.0 sont possibles par endroits, surtout dans la partie supérieure des Formations de Vauréal et d'Ellis Bay. Les analyses de l'état de conservation de la matière organique ont donné des résultats variables. L'indice de maturation thermique, surtout déduit de la coloration des Acritarches, va de 1.4 à 2, ce qui pointe au stade immature peut-être mature, de la formation d'hydrocarbures. La réflectance indique un stade légèrement plus avancé (Ro: 0.5 à 1.0%). Les cristallinités de l'illite montrent cependant une plus grande fourchette de valeurs (1.2 à 0.3 à θ). Il semble, d'après les diverses analyses, que le potentiel en hydrocarbures de la région d'Anticosti s'étale entre l'huile et le gaz sec.

TABLE DES MATIÈRES

	Page
Résumé	III
INTRODUCTION	1
RAPPEL GÉOLOGIQUE	2
ANALYSES	6
Minéralogie	6
Roches carbonatées	6
Roches non carbonatées (argiles)	6
Résidu insoluble	7
Microfaciès	8
Matière organique	9
C-H-O-N	10
Réflectométrie	11
Carbone total	11
Maturation	11
Zonation par Chitinozoaires	13
INTERPRÉTATION DES RÉSULTATS	15
Lithostratigraphie	15
Paléogéographie	17
Hydrocarbures	17
RÉFÉRENCES	19
ANNEXES:	
1 - Liste des échantillons soumis à l'analyse	23
2 - Résultats de l'analyse des roches carbonatées	37
3 - Résultats de l'analyse minéralogique des roches non carbonatées (argiles) ..	51
4 - Volumes de résidu insoluble	57
5 - Microfaciès - Sélection de clichés	69
6 - Microfaciès - Valeurs des principaux descripteurs	91
7 - Diagrammes des valeurs des analyses de la matière organique et des argiles ...	123

INTRODUCTION

Ce rapport fait le point sur la lithostratigraphie et la paléogéographie de l'île d'Anticosti. Il commente également sur le potentiel en hydrocarbures de l'île à partir d'observations de terrain et des résultats d'analyses effectuées par l'INRS-Pétrole sur des échantillons recueillis en surface et dans un sondage. Il s'insère dans un projet d'étude globale de la géologie du bassin d'Anticosti.

Nos propos sont basés sur trois ans de travaux de terrain impliquant des études sur la lithostratigraphie, la sédimentologie, la biostratigraphie et la tectonique en divers points de l'île d'Anticosti, un territoire d'environ 8000 km².

La stratigraphie et la structure de l'île sont difficiles à déchiffrer et, par conséquent, la localisation stratigraphique des échantillons de terrain est souvent pénible. Ce problème (Petryk, 1976) nous avait porté à reviser quelques frontières lithologiques et l'épaisseur de plusieurs unités lithostratigraphiques (Petryk, 1979B, 1980).

L'échantillonnage pour les analyses présentées dans ce rapport a été effectué au cours des étés 1975, 1976 et 1977 par des équipes géologiques de la Direction générale des Energies conventionnelles (DGEN). Nous avons nous-même fait la sélection des sites d'échantillonnage, déterminé les techniques analytiques à employer et préparé les listes d'échantillon, avec codification, localisation géographique et identification stratigraphique.

La carte géologique simplifiée de la figure 1 montre la localisation géographique des sites d'où proviennent les échantillons. L'annexe 1 fournit les données de l'échantillonnage.

Les conditions de l'étude des échantillons sont incluses dans un contrat de juin 1977 entre la Direction générale des Energies conventionnelles et l'INRS-Pétrole. Les travaux ont compris:

- 282 analyses minéralogiques de roches;
- 353 déterminations du volume de résidu insoluble;
- 410 analyses de microfaciès (lames minces);
- 123 analyses de la matière organique, comprenant:
 - 34 déterminations du carbone total;
 - 6 déterminations C, H, O, N;
 - 23 déterminations de réflectance;
 - 30 déterminations de la coloration de la matière organique;
 - 30 identifications de Chitinozoaires.

Le chapitre intitulé **ANALYSES** ainsi que les résultats dans les annexes 2 à 7 sont la responsabilité des co-auteurs suivants: A. CHAGNON, minéralogie et volume de résidu insoluble; R. BERTRAND, microfaciès; Y. HEROUX, carbone total, éléments C, H, O, N et réflectance; A. ACHAB, coloration du kérogène et identification des Chitinozoaires;

L'étude des microfaciès a fourni plusieurs centaines de clichés photographiques, accompagnés de fiches descriptives; nous reproduisons les plus représentatifs

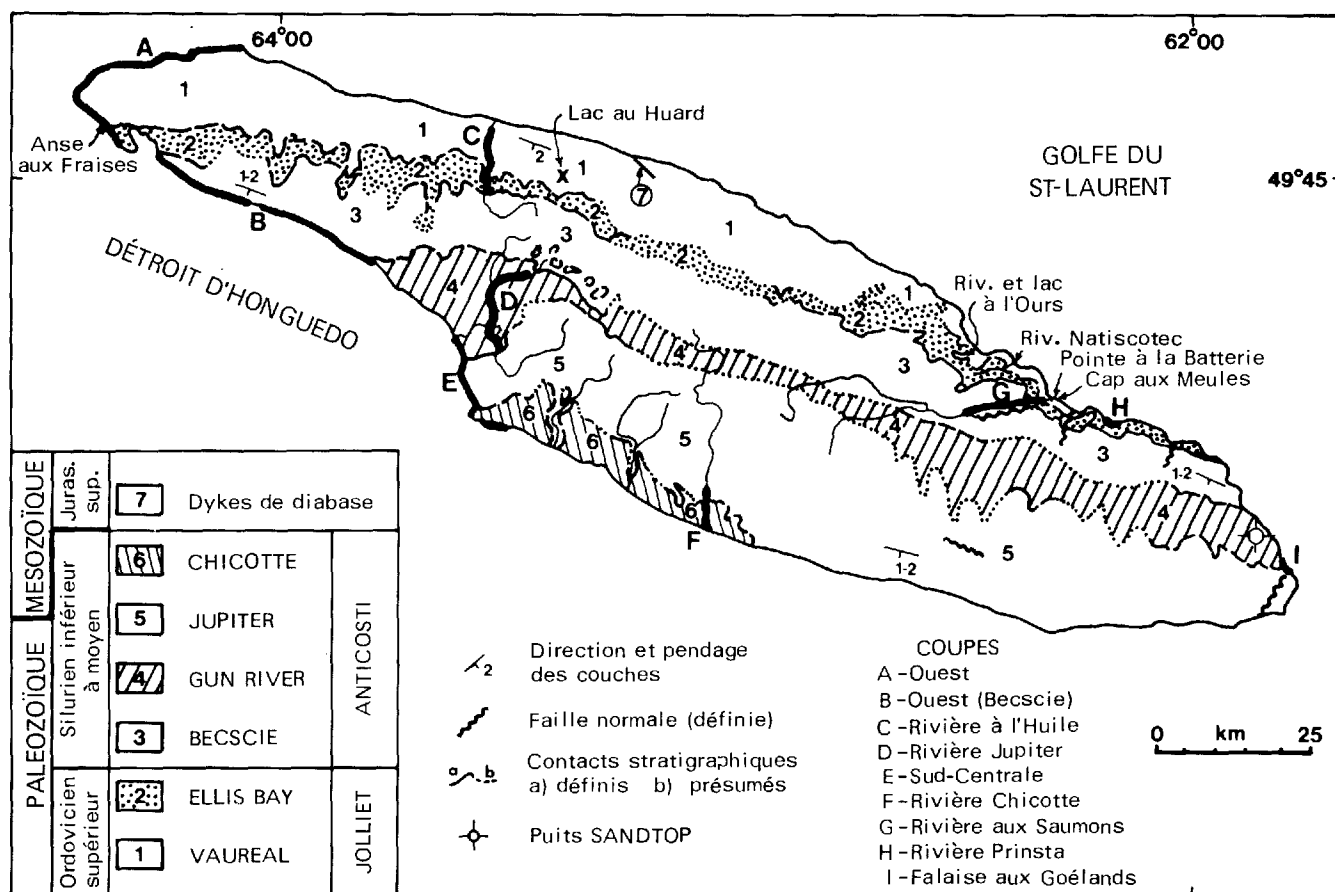


FIGURE 1 - Carte géologique simplifiée de l'île d'Anticosti et localisation des coupes mentionnées dans le présent rapport.

en annexe 5. L'ensemble de tous les clichés et des 461 fiches descriptives de l'étude font l'objet d'une publication séparée (Petryk & Bertrand, 1981).

Nous avons tenté de résumer et d'interpréter les résultats des analyses dans leur contexte géologique. On les trouvera immédiatement après nos propos sur la lithostratigraphie et la paléogéographie.

RAPPEL GÉOLOGIQUE

L'île d'Anticosti présente, dans l'Est de l'Amérique du Nord, la séquence la plus complète de strates entre l'Ordovicien supérieur et le Silurien moyen (tableau 1). Les quelque 1100 m de la séquence se divisent en six formations à l'intérieur de deux groupes qui chevauchent la frontière chronostratigraphique Ordovicien-Silurien

(Petryk, 1979B, 1981). De bas en haut, ce sont :

- Groupe de Jolliet :
 - Formation de Vauréal (>463 m);
 - Formation d'Ellis Bay (75 m);
- Groupe d'Anticosti :
 - Formation de Becscie (131-173 m);
 - Formation de Gun River (146 m);
 - Formation de Jupiter (171 m);
 - Formation de Chicotte (>75 m);

TABLEAU 1 - Sommaire des formations sur l'île d'Anticosti.

ERE	PERIODE	ETAGE	GROUPE	FORMATION (épaisseur en mètres)	MEMBRE	DESCRIPTION	
CENO- ZOIQUE	QUATER- NAIRE	PLEIS- TOCENE	-	(> 10)	-	Argiles de sables marins friables; alluvions et mo- raines de fond.	
MESO- ZOIQUE	JURAS- SIQUE	SUPE- RIEUR	-	(8-15)	-	Dykes de diabase (partie inférieure de la Formation de Vauréal)	
PALEOZOIQUE	SILURIEN INFERIEUR A MOYEN	ALEXANDRIEN-NIAGARIEN LLANDOVERIEN A WENLOCKIEN?	ANTICOSTI	CHICOTTE (> 75)	? 3 2 1	Calcaires très grossièrement à moyennement grenus, crinoïdaux et bioclastiques. Formation partiellement récifale.	
				JUPITER (~171)	7? 6 5 4 3 2 1	Calcaires (surtout mudstone mais aussi wackestone, packstone et grainstone bioclastique) interlités de shale, localement siliciclastiques. Formation pseudo- récifale vers la partie supérieure.	
				GUN RIVER (~146)	5 4 3 1-2	Lithologies semblables à celles de la Formation de Bec- scie mais plus de calcaires mudstones; calcaires in- trarudstones; zones locales de glissement. Biostromes et/ou biohermes vers la partie supérieure de la forma- tion.	
				BECSIE (131-173)	4 3 2 1	Calcaires packstone et grainstone moyennement à très grossièrement grenus, bioclastiques; calcaires mudsto- ne et wackestone en quantités subordonnées; calcaires intrarudstones communs; zones locales de glissement. Zones siliciclastiques mineures dans la partie récifa- le de la formation.	
	ORDOVICIEN SUPERIEUR	RICHMONDIEN ASHGILLIEN POST-ASHGILL.?	GAMACHIEN JOLLIET	JOLLIET	ELLIS BAY (~ 75)	7 6 5 4 3 2 1	Calcaires mudstone et wackestone; argileux, subnodu- laires; calcaires packstones bioclastiques; calcaires grainstones en quantités subordonnées; calcaires in- terlités de shale calcaireux; passées siliciclastiques dans l'ouest de l'île et gréseuses dans l'est. Bio- hermes au sommet de la formation.
					VAUREAL (> 463)	5 4 3 2 1	Séquence de calcaires mudstones, de calcisiltites et de calcaires packstone, wackstone et grainstone (à grain fin) interlitée de shale calcaireux (en quan- tités maximales vers la base et au sommet de la for- mation); calcaires intrarudstones; zones locales de glissement; passées siliciclastiques et gréseuses.

Ces subdivisions lithologiques sont à peu près les mêmes que celles établies par Schuchert & Twenhofel (1910) et Twenhofel (1921, 1928) suite à l'étude initiale de Richardson (1857). Nous faisons nôtres les observations de Bolton (1972) à l'effet que la Formation (ou faciès) d'English Head est stratigraphiquement à l'intérieur de la Formation de Vauréal (*sensu lato*) et que le niveau argileux le plus bas de la Formation de Gun River (la zone 1 de Twenhofel, 1928) devrait inclure la partie supérieure de la Formation de Becscie (voir Petryk, 1979B).

Le tableau 2 compare les subdivisions stratigraphiques effectuées par divers auteurs. Comme nos membres sont des unités lithostratigraphiques et non pas biostratigraphiques, nos subdivisions et épaisseurs ne correspondent pas nécessairement avec les données antérieures.

Les nombreuses gradations lithologiques des contacts entre les formations et les membres rendent difficile le déchiffrage des unités. La Formation d'Ellis Bay est la seule à avoir des membres suffisamment distincts pour des corrélations sûres. La partie basale de la Formation de Jupiter est aussi relativement bien définie lithologiquement. Nous avons quand même tenté de subdiviser (préliminairement) toutes les formations, spécialement dans les coupes-types. La figure 2 illustre la lithostratigraphie générale de l'île.

Les parties supérieures des formations présentent une nette augmentation en éléments bioclastiques et en fossiles bioconstructeurs: Coraux, Stromatopores, Bryozoaires et Algues. Il existe, par endroits, de petits biohermes de 1 à 5 m

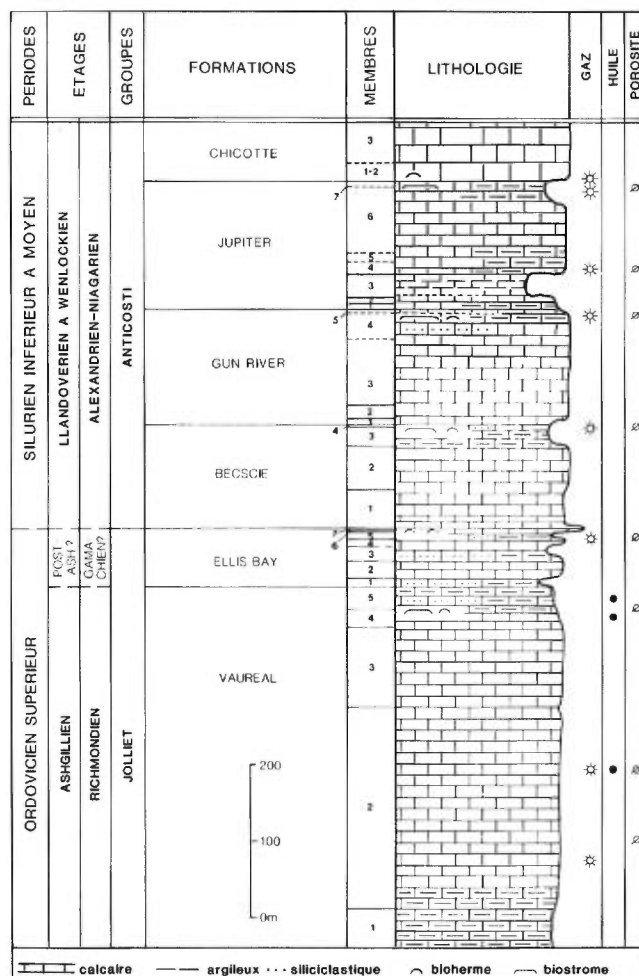


FIGURE 2 - Coupe lithologique composée pour l'île d'Anticosti.

d'épaisseur. La zone récifale la plus remarquable est celle du membre 7 de la Formation d'Ellis Bay (tableau 2). Cette unité, qui s'étend d'un bout à l'autre de l'île, termine un mégacycle régressif qui a vu la déposition des lithofaciès du Groupe de Jolliet. Cet événement, à la fin de l'Ordovicien, a été suivi, au Silurien inférieur, par un mégacycle transgressif qui a déposé les sédiments du Groupe d'Anticosti (Petryk, 1979B). La figure 3 illustre ces relations.

Régionalement, la sédimentation sur l'ancienne plate-forme laurentienne peut être divisée en deux aires sédimentologiques: un faciès occidental de carbonates et un faciès oriental de transition carbonates-siliciclastiques. Nous avons tenté de préciser les distributions paléogéographiques de ces faciès lors d'une allocution à la réunion annuelle de l'Association géologique du Canada (Petryk, 1979A). La figure 8 illustre ces distributions, de même que les paléocourants et les

hauts-fonds structuraux dans le socle précambrien.

Les milieux de dépôt sont vraisemblablement infracotidaux à intercotidaux, spécialement dans les faciès de transition au nord-est de l'île et dans les faciès carbonatés. Leur énergie varie donc de faible à haute dans toutes les formations, à l'exception de celle de Chicotte, qui présente des structures et éléments sédimentologiques d'un environnement à énergie relativement élevée (milieu récifal).

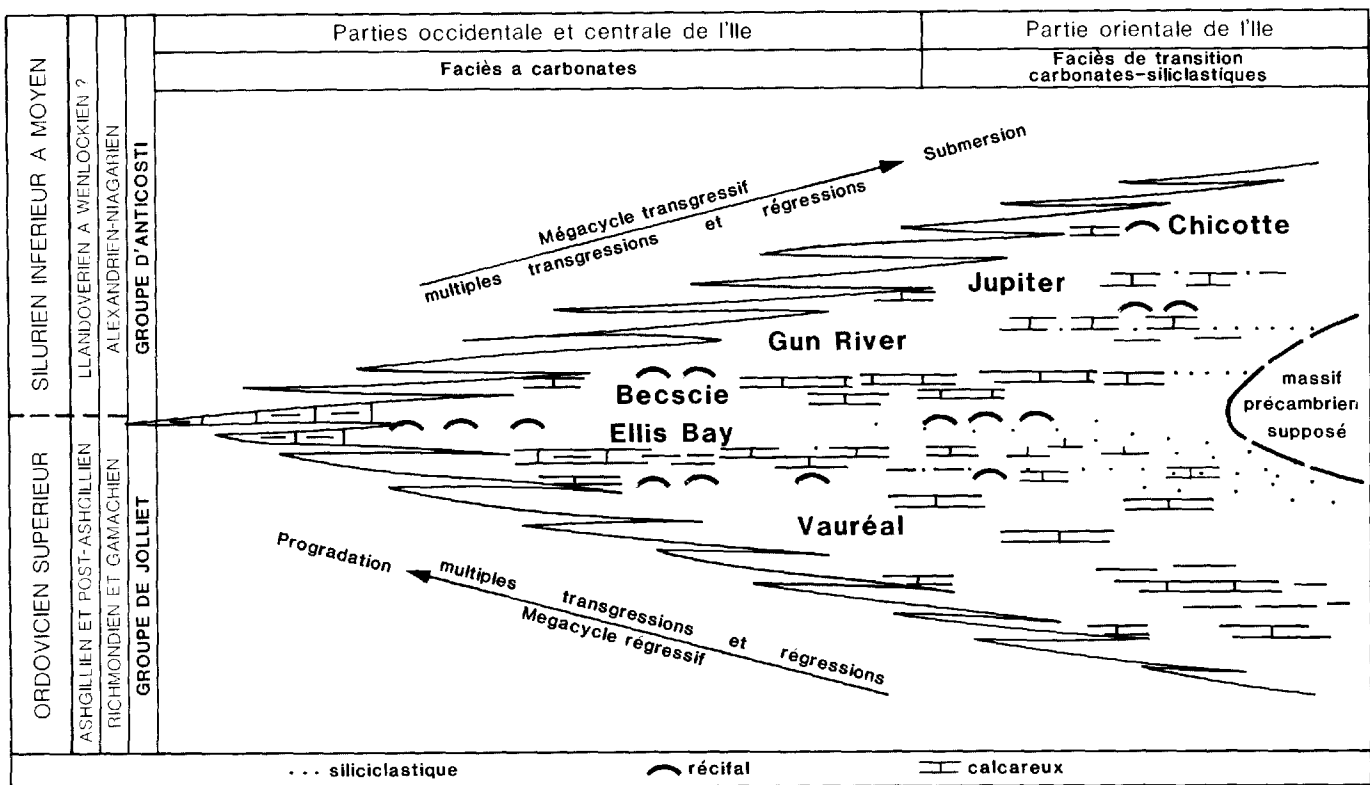


FIGURE 3 - Schéma des cycles majeurs de régression et de transgression sur la plate-forme d'Anticosti entre l'Ordovicien supérieur et le Silurien moyen.

ANALYSES

Le texte qui suit, rédigé en majeure partie par l'INRS-Pétrole, présente les principaux résultats d'analyse. L'identification et les localisations stratigraphiques et géographiques des 525 échantillons soumis pour étude (annexe 1) de même que la synthèse et l'interprétation de ces résultats sont la responsabilité de Petryk.

MINERALOGIE

Un total de 282 analyses ont été effectuées, dont 215 sur des roches carbonatées et 67 sur des roches non carbonatées (argiles). A ces analyses se sont ajoutées quelques déterminations de la cristallinité des argiles.

ROCHES CARBONATEES

Une analyse minérale par diffraction-X (CORCOM) a été effectuée pour 215 échantillons des coupes Ouest, Ouest (Becscie), Rivière à l'Huile et Rivière Chicotte - Côte Sud-Centrale (voir figure 1 pour localisations). Seules les coupes Ouest et Ouest (Becscie) ont des analyses pour presque toutes les cotes requises. Ce type d'analyse a été discontinué à cause d'un bris de l'appareil utilisé.

Les minéraux identifiés sont le quartz, le feldspath potassique, le feldspath sodique, la calcite et la dolomite. Les pourcentages de ces minéraux apparaissent sous forme de tableaux et diagrammes, obtenus à l'ordinateur, pour chacune des coupes (annexe 2).

Une mise en garde s'impose dans l'utilisation des résultats. Chaque minéral est estimé avec une précision d'environ 5% absolu, à un niveau de certitude de 95%. C'est donc dire qu'un minéral analysé à moins de 5% est connu avec une précision relative de 100%. Ceci ne signifie cependant pas qu'un minéral de faible concentration est absent de l'échantillon; sa concentration réelle peut être beaucoup plus importante que ne laissent voir les résultats de l'analyse. Il est aussi possible qu'un minéral n'ait pas été détecté lors de l'analyse quand sa concentration ne dépassait pas 5%. Toute comparaison de ces résultats d'analyse avec les volumes de résidu insoluble est donc très aléatoire lorsque ces derniers sont en faible quantité.

ROCHES NON CARBONATEES

(argiles)

La minéralogie des argiles a été effectuée pour 67 échantillons prélevés dans les coupes Ouest-Ouest (Becscie), Rivière à l'Huile, Côte Sud-Centrale, Rivière Jupiter et Rivière aux Saumons, ainsi que dans le puits Sandtop. Ces échantillons ont d'abord été concassés dans un mortier d'acier, puis les fragments de 3 à 5 mm de diamètre ont été vigoureusement agités dans de l'eau déionisée. De la suspension ainsi obtenue, deux fractions granulométriques ont été extraites, l'une inférieure à 2 microns et l'autre comprise entre 2 et 16 microns. Les fractions furent décarbonatées à l'acide chlorhydrique sous agitation constante jusqu'à cessation presque complète d'effervescence. Des plaques d'argile

orientées ont été obtenues du résidu insoluble des deux fractions en séchant des suspensions de ceux-ci sur des lames de verre. L'identification des minéraux a été obtenue par analyse de ces plaques orientées par diffraction des rayons-X.

Les valeurs numériques des résultats sont données à l'annexe 3 et schématisées à l'annexe 7.

Qualitativement, les formations contiennent les mêmes types minéralogiques: illite, chlorite et un interstratifié irrégulier de type illite-smectite (10Å-14Å). Il y a une exception à cette remarque générale. La Formation de Jupiter, le sommet de la Formation de Gun River et la base du Chicotte observés dans la coupe Sud-Centrale contiennent de la kaolinite. La présence de kaolinite dans cette partie de la séquence peut avoir plusieurs explications, entre autres:

- a) Une diagenèse moins poussée, conservant la kaolinite. Cette hypothèse est cependant peu probable, puisque l'étude de la matière organique et de la cristallinité de l'illite (voir plus loin) n'indiquent pas un degré d'évolution très différent des autres parties de la séquence;
- b) Un changement d'apport détritique causé par une évolution des conditions physico-chimiques à la source: hydrolyse plus efficace, etc.,
- c) Un assemblage correspondant à un faciès plus proximal. Les kaolinites sont généralement les premières à sédimenter dans ce type d'environnement.

Pour lever l'incertitude entre b) et c) il faudrait analyser des échantillons des mêmes formations ailleurs dans le bassin.

Quantitativement, les proportions des divers minéraux des argiles sont assez variables. La chlorite est plus abondante dans la fraction 2-16 microns et les interstratifiés y sont moins importants ou totalement absents. C'est normal et observé partout ainsi. On remarque que la chlorite est plus abondante dans les faciès plus terrigènes (résidu insoluble plus abondant). Ce phénomène est aussi observé ailleurs, dans les Basses Terres du Saint-Laurent par exemple. L'abondance de la chlorite dans la coupe de la Rivière aux Saumons nous paraît anormalement élevée; elle demeure toutefois inférieure à celle d'Ellis Bay, qui semble en contenir le plus. On est peut-être plus près d'une source à caractère igné (serpentine, diabase).

Les indices de cristallinité de l'illite (colonne 24 de l'annexe 3) permettent de conclure à une évolution diagénétique de la phase argileuse se situant entre la fenêtre pétrolière au sommet et la zone de gaz sec à la base. Cette déduction est renforcée par l'abondance relative des argiles interstratifiées et la présence de kaolinite.

RESIDU INSOLUBLE

Des évaluations du volume de résidu insoluble dans les échantillons ont été obtenus pour 353 échantillons répartis comme suit:

- Rivière à l'Huile	69
- Rivière Jupiter	78
- Rivière Chicotte - Côte Sud-Centrale .	79
- Rivière aux Saumons - Cap aux Meules	
Rivière Jupiter	59
- Rivière Prinsta	1
- Palaise aux Goélands	1
- Coupes Ouest-Ouest (Becscie)	9
- Puits SANDTOP	57

Les résultats, sous forme de tableaux et de diagrammes, sont présentés à l'annexe 4. Ces données sont aussi présentées, mais en partie seulement, dans le regroupement graphique de l'annexe 7.

Les volumes ont été évalués pour tous les types d'échantillons: carbonates et terrigènes. Compte tenu des erreurs possibles, seuls les pourcentages de résidu des échantillons se comparant avec les données fournies par d'autres techniques apparaissent à l'annexe.

Une grande prudence s'impose dans l'utilisation de ces résultats puisqu'on peut faire au moins deux types d'erreur. Le premier type découle du fait que "résidu insoluble" ne signifie pas nécessairement roche totale moins les carbonates. Beaucoup d'autres minéraux, en particulier plusieurs espèces d'argiles et d'oxyde de fer, sont dissouts lors de cette macération.

Le deuxième type d'erreur peut s'introduire lors de la détermination du résidu insoluble d'une lithologie dite argileuse. Les argiles du présent projet sont majoritairement des marnes ou des calcaires marneux. Or, souvent, la distribution du carbonate, dans ces niveaux comme dans l'échantillon, n'est pas homogène. Les résultats analytiques sont donc très sensibles à l'échantillonnage et à l'homogénéisation de l'échantillon avant l'analyse. Ce qui signifie que les résultats ont souvent une valeur plus qualitative que quantitative.

MICROFACIES

Des analyses des microfaciès, qui ont laissé de côté les lithofaciès à texture très fine et les lithofaciès sans structure, ont été effectuées au microscope pétrographique Ortholux II Pol-BK de Leitz.

Les résultats sont sous forme de fiches descriptives, obtenues par ordinateur selon le programme (modifié) de Charollais et Davaud (1976). Ces fiches, qui s'accompagnent d'un ou de plusieurs clichés photographiques font l'objet d'une publication séparée (Petryk & Bertrand, 1981). Une sélection de clichés des principaux microfaciès est toutefois annexée au présent rapport (annexe 5).

Les données des analyses de microfaciès ont été reprises pour produire, sous forme de tableaux et de diagrammes, les pourcentages des principaux descripteurs dans chacun des échantillons (annexe 6).

La principale constatation que l'on peut faire pour l'ensemble des coupes est l'accroissement de la fraction terrigène de l'ouest vers l'est (colonnes numérotées 2, 3, 4 et 10 de l'annexe 6). Le saut le plus brusque se fait au niveau de la rivière aux Saumons. Les Formations impliquées sont celles de Vauréal, d'Ellis Bay et, peut-être, de Becscie. Dans la Formation de Vauréal, la fraction terrigène de quartz et feldspaths potassiques et sodiques et/ou d'insolubles (annexes 2 et 4) croît, en moyenne, de moins de 5% (coupe Ouest) à 5-10% (Rivière à l'Huile), à 30% (Rivière aux Saumons) et à plus de 50% (puits SANDTOP). Pour la Formation d'Ellis Bay, cette fraction croît de moins de 2% (coupe Ouest, sauf au sommet où elle est de 10 à 20% au contact des membres 5 et 6) à 10% (Rivière à l'Huile) et jusqu'à 30% (Rivière aux Saumons). Cette augmentation de la fraction terrigène et/ou d'insolubles va de pair avec une granulométrie moyenne des quartz et feldspaths en allant vers l'est (colonnes 1 et 2 de l'annexe 6: 60-100 m, coupe Ouest; 200-500 m, rivière aux Saumons). Ceci est également visible sur les clichés des microfaciès (Petryk & Bertrand, 1981).

TABLEAU 2 - Nomenclature comparée
des formations de l'île d'Anticosti.

Le contact Ellis Bay - Vauréal est peu marqué. Les changements lithologiques (augmentation des carbonates et apport de terrigènes grossiers) et fauniques (augmentation ou apparition de Coraux et d'Algues (Dasycladacées et Codiacées) se font à une cinquantaine de mètres sous les limites proposées (coupes Ouest et Rivière à l'Huile de l'annexe 6). Dans la rivière aux Saumons, cet apport de terrigènes et de faunes déborde dans la Formation de Vauréal et les mêmes changements fauniques sont poussés au sommet de l'Ellis Bay et vers le sommet de la Formation de Becscie. Dans la coupe Ouest, la base du Becscie se distingue de l'Ellis Bay par un retour à des lithologies semblables à celles notées au sommet du Vauréal. Par contre, le contact Becscie - Gun River ne semble pas clairement visible (sauf disparition des Stromatopores et diminution des Brachiopodes). Les changements se produisent au coeur du Gun River (200-120 m, Rivière Jupiter). Le contact Gun River-Jupiter est peu marqué mais celui entre le Jupiter et le Chicotte se distingue bien. Les autres membres du Jupiter sont très micritiques et la Formation de Chicotte est fauniquement très riche en bioclastes de tous types, spécialement en Algues (voir descripteurs 17 à 20 dans l'annexe 6).

Sur le sujet des Algues, il faut noter que leur identification n'a qu'une valeur indicative. Une étude plus approfondie pourrait cependant être utile à la discrimination des paléo-environnements.

Les microfaciès décrits sur les fiches de l'annexe 5 ainsi que sur celles de la publication annexe (Petryk & Bertrand, 1981) suggèrent des paléo-environnements de dépôt de type néritique peu profond (infracotidal) et côtier (peut-être intercotidal) pour la majorité des sédiments paléozoïques de l'île d'Anticosti. A noter toutefois que la bathymétrie des dépôts est probablement plus grande à la base de la Formation de Vauréal.

MATIERE ORGANIQUE

Un total de 34 échantillons ont été traités par méthodes palynologiques (tableau 3) en vue de déterminer la nature, la quantité et la maturation de la matière organique (M.O.). Lorsque possible, une détermination sommaire de la zone palynologique à laquelle appartiennent les échantillons a été tentée.

L'annexe 7 schématise, sous la rubrique MATIÈRE ORGANIQUE, les résultats ob-

TABLEAU 3 - Techniques d'analyse de la matière organique: nombre d'échantillons analysés selon chacune des techniques et aspects de la matière organique touchés par ces mêmes techniques.

Coupes et paramètres étudiés	P + C		Sections polies		Acritarches	
	C	H O N	Réfectométrie	P + C	Identif.	Color.
Ouest	1		7	12	7	7
Rivière à l'Huile	2		3	4	3	3
Rivière Jupiter	0		2	1	0	2
Rivière Chicotte et Côte Sud-Centrale	0		1	1	0	1
Rivière aux Saumons	1		3	3	2	2
Puits SANDTOP	2		6	13	15	15
Nature	x		x		x	
Quantité			x	x	x	
Maturation	x		x			x

P = Pyrolyse C = Chromatographie

tenus pour le carbone total ainsi que pour l'évolution diagénétique et catagénétique (coloration des Acritarches et pouvoir réflecteur).

Analyses élémentaires (C, H, O, N)

Afin de préciser davantage la nature des kérogènes dans les résidus insolubles, des analyses élémentaires ont été réalisées sur les 34 échantillons par voies de pyrolyse et de chromatographie. Seuls les six échantillons contenant plus de 0.10% de carbone organique sur roche totale (C.O.T.) ont toutefois livré des courbes (pics) significatives lors de la pyrolyse. Ces résultats sont compilés au tableau 4. Seuls deux échantillons ont permis de calculer des rapports atomiques H/C et O/C qui s'ajustent sensément dans le diagramme de Van Krevelen (figure 4). L'échantillon 11818 est le plus riche de toute la série analysée (C.O.T. de 1.14%) et affiche une bonne séparation (13.5% cendre); il appartient au forage SANDTOP. L'échantillon 11575, provenant de la coupe de la Rivière à l'Huile et présentant un C.O.T. de 0.10%, semble être le deuxième en qualité quant à la séparation (30.9% de cendre).

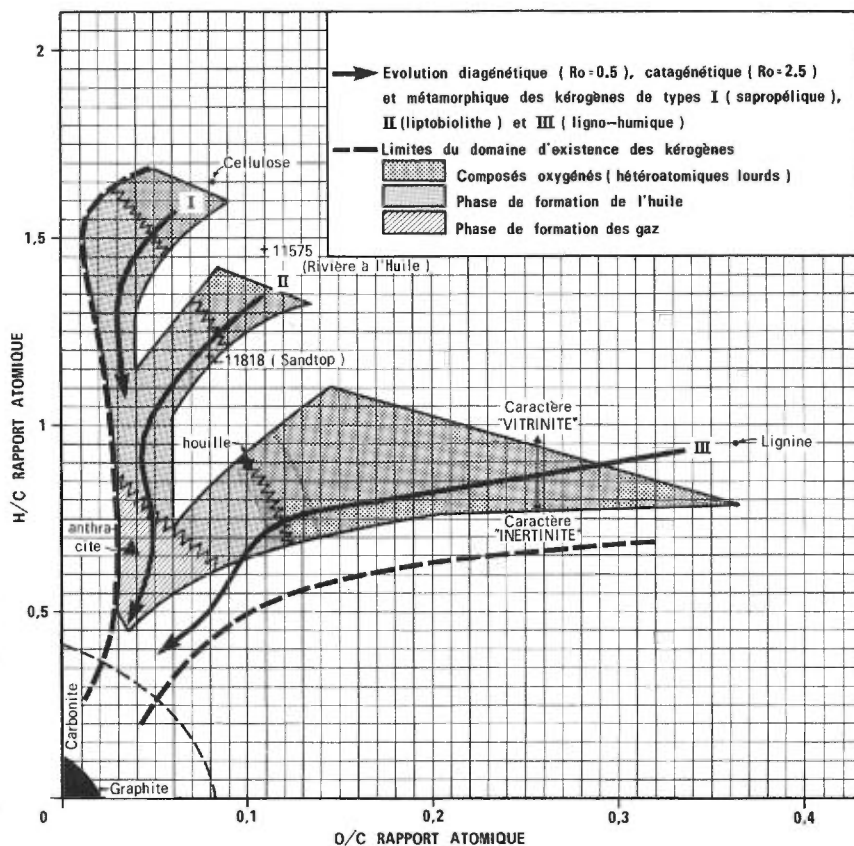


FIGURE 4 - Types de kérogènes sur l'île d'Anticosti (selon schéma de Van Krevelen, 1961) et localisation des échantillons 11575 et 11818.

La position de ces deux échantillons dans le diagramme de Van Krevelen indique que les kérogènes sont de type mixte (type II).

La pyrolyse se permettant pas, pour de faibles quantités de kérogènes, d'obtenir les pourcentages de S, ceux-ci ont été déduits par soustraction et les

TABLEAU 4 - Analyses élémentaires de la matière organique de l'île d'Anticosti.

No INRS	Niveau (m)	H/C	N + S/O	O/C	C.O.T.	% S par soustraction	% C	% H	% N	% O	Cendres %	T-S*
11476	519.8	1.29	1.96	0.28	0.22	29.59	21.54	2.32	0.68	7.94	37.93	70.41
11556	9.0	4.37	1.24	1.73	0.15	18.84	3.43	1.25	0.32	7.92	68.24	81.16
11575	206.5	1.49	1.10	0.11	0.10	12.45	44.18	5.50	0.65	6.32	30.9	87.55
11813	3000.	2.06		0.38	0.26		10.99	1.89	0.50	5.55	36.97	55.90
11818	2550.	1.23	1.82	0.08	1.14	17.99	55.36	5.69	1.54	5.93	13.50	82.02
11924	3.0	6.32	1.10	1.88	0.15	14.63	2.75	1.45	0.26	6.90	74.01	85.37

* Total (en %) moins le sulfure

rapports atomiques (N+S)/O ont été calculés (tableau 4). La position des rapports atomiques H/C vs (N+S)/O dans la figure 5 suggère que les kérogènes de ces deux échantillons sont de type pyrobitume asphaltique.

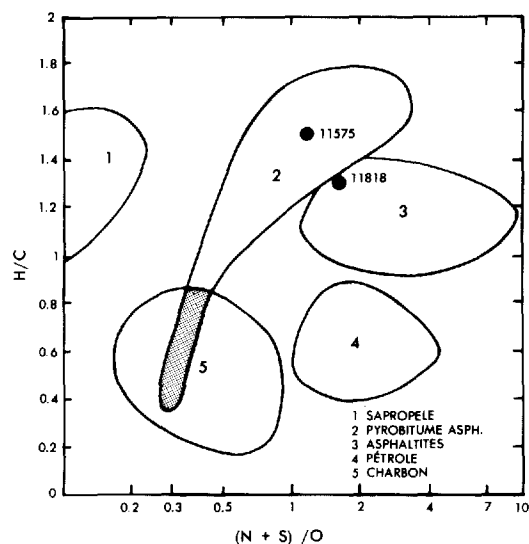


FIGURE 5 - Types de kérogènes sur l'île d'Anticosti (selon schéma de Hunt, 1978) et localisation des échantillons 11575 et 11818.

Compte tenu du fait que nous ne connaissons pas d'études sur le comportement des palynomorphes en pyrolyse, rien ne permet de confirmer ou d'infirmer que ces résultats sont conformes ou contraires aux identifications palynologiques de la matière organique.

Réfectométrie

Parmi les 30 sections polies préparées pour réfectométrie, huit se sont révélées assez pauvres en M.O. et huit autres n'ont offert aucune particule de kérogène. Notons néanmoins que l'appauvrissement apparent en M.O. pourrait découler du polissage. Dans l'ensemble, toutefois, 50% des échantillons ont livré assez de M.O. pour une étude adéquate du pouvoir réfecteur.

Toutes ces M.O. sont semblables en lumière réfléchie sur section polie. Elles n'offrent aucune texture, aucune anisotropie et leur couleur est homogène dans les teintes de gris pâle à gris moyen. Bref, leur aspect ressemble à celui des collinites ou des pyrobitumes peu évolués. L'annexe 7 schématise les résultats obtenus.

Carbone organique total

Le C.O.T. a été obtenu par pyrolyse et chromatographie sur 34 échantillons. La figure 6 montre que la majorité des échantillons semblent être sous la normale quant à la teneur en carbone organique. Cette figure corrobore les observations de réflectométrie démontrant que, dans ce cas précis, le polissage ou la préparation n'auraient eu que peu d'effets sur le diagnostic de la quantité de M.O. Bref, à l'exception d'un échantillon (forage SANDTOP) qui montre un C.O.T. dans la zone favorable et de deux autres au-dessus de cette zone, tous les échantillons sont dans la zone défavorable. L'annexe 7 schématise les résultats obtenus.

Maturation

L'état de conservation de la matière organique a été évalué, lorsque cela était possible, à partir de la coloration d'Acritarches (et autres substances d'aspect vitrinite) et du pouvoir réfecteur des kérogènes; les résultats sont présentés sous forme graphique à l'annexe 7. Il a aussi été évalué, pour deux échantillons, par le rapport atomique H/C versus O/C (figure 4).

Les valeurs de maturation ont été établies selon les critères proposés par Correia (1967) et Staplin (1969) pour la vitrinite (tableau 5). Les indices de ces

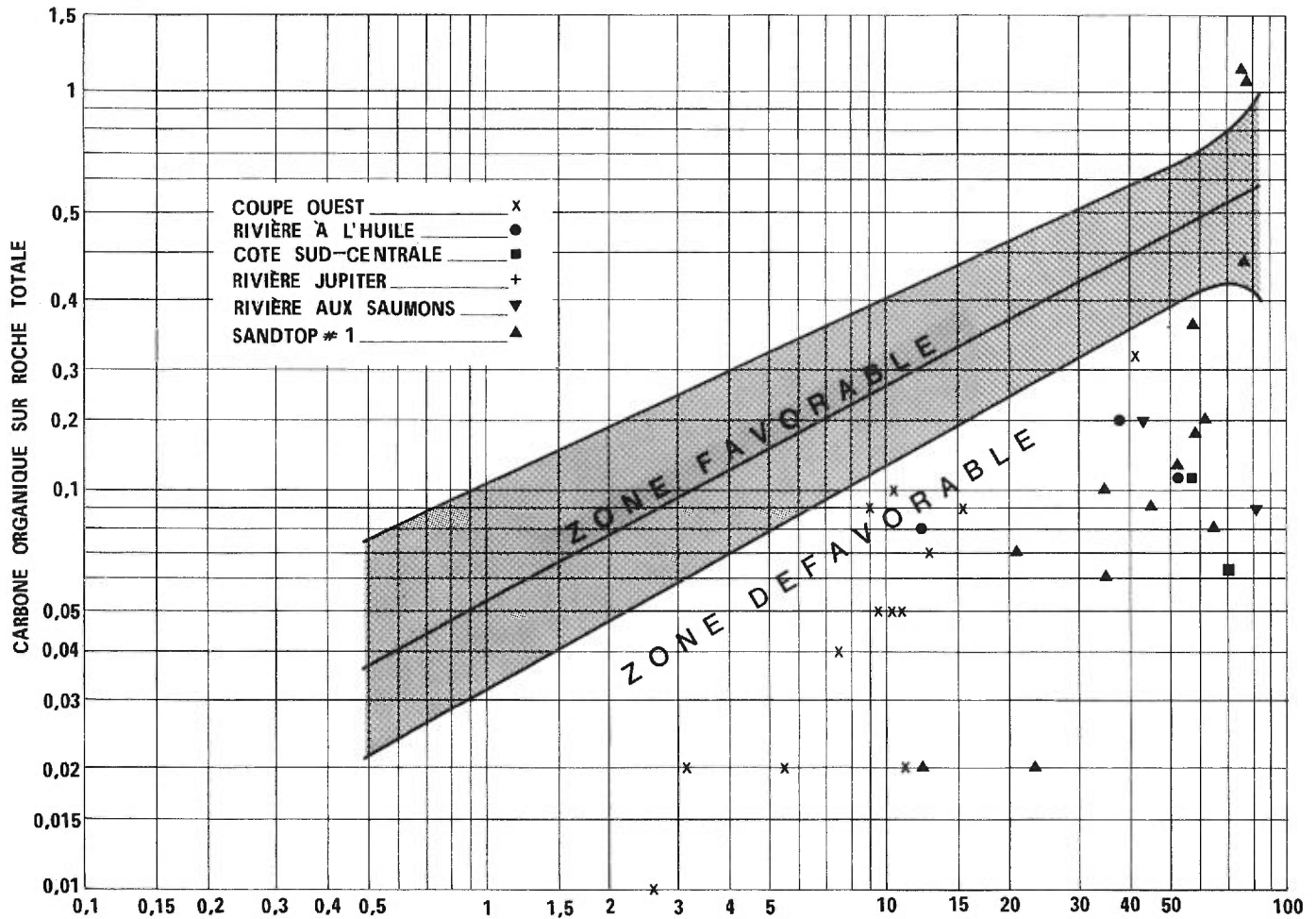


FIGURE 6 - Diagramme de distribution du carbone organique dans les roches d'Anticosti. Sur canevas de Sourisse et Gauthier (1969).

deux auteurs se ressemblent, surtout pour les zones allant d'immature à mature. Pour les zones plus évoluées (**metamorphosed facies** de Staplin), l'indice de Correia est numériquement plus élevé.

La maturation thermique établie par coloration des Acritarches semble moins élevée que celle donnée par le pouvoir réflecteur (annexe 7). Précisons toutefois que plusieurs valeurs du pouvoir réflecteur ne sont pas statistiquement significatives. Elles sont indiquées par des cercles vides suivis de chiffres entre parenthèses, lesquels donnent le nombre de lectures et reflètent la quantité de M.O. récupérée dans les échantillons.

Les valeurs statistiquement significatives du pouvoir réflecteur sont généralement comprises entre 0.37 et 0.59%, ce qui est partiellement conforme aux colorations et aux analyses C,H,O,N (tableau 4). Ce stage d'évolution est celui du début de la fenêtre pétrolière ou, si l'on veut, de la zone métamorphique entre la diagenèse et le début de la catagenèse (voir tableau 5, page 18). Le forage SANDTOP offre toutefois une évolution légèrement plus marquée avec des réflectances comprises entre 0.51 et 0.72%. Cette évolution correspond à la demie supérieure de la fenêtre pétrolière. La distribution des réflectances est aléatoire en fonction de la profondeur. On peut expliquer ce fait en considérant que

l'épaisseur de la séquence analysée est plutôt mince.

Les valeurs relativement plus élevées du pouvoir réflecteur dans le forage SANDTOP par rapport à celles des coupes de surface, peuvent s'expliquer de trois façons:

- . Par oxydation de la matière organique au niveau de l'affleurement (Alpern & Maume, 1969).
- . Par la lithologie encaissante. Un grès à pouvoir réflecteur de 0.8% est aussi mature qu'un shale à pouvoir réflecteur de 1% (Bostick & Foster, 1975).
- . Par la différence d'enfouissement entre les sédiments des diverses coupes de l'île et ceux du puits SANDTOP. La cuisson de la matière organique est directement liée au gradient géothermique du sédiment (à la profondeur de l'enfouissement) et au temps écoulé pour son dégagement par érosion superficielle.

ZONATION PAR CHITINOZOAIRES

Le résidu de la matière organique est essentiellement constitué de Chitinozoaires, de Scolécodontes, d'Acritarches, de tissus et de matière organique fine (dispersée ou en amas).

Bien que les échantillons étudiés soient trop peu nombreux et beaucoup trop espacés, on a quand même essayé de reconnaître les assemblages caractéristiques de Chitinozoaires décrits jusqu'à présent (Achab, 1977A, B; 1978A, B) dans les Formations de Vauréal et d'Ellis Bay. Les assemblages sont présentés ci-dessous.

COUPE OUEST

- . Echantillons 11387, 11401, 11402: assem-

blage à *Hercochitina crickmayi*, *Hercochitina normalis* et *Tanuchitina anticostiensis*. Formation de Vauréal (Achab, 1977A, figure 2).

- . Echantillon 11420: assemblage à *Hercochitina crickmayi*, *Ancyrochitina spongiosa*, *Cyathochitina kuckersiana*. Formation de Vauréal (Achab, 1977B, figure 2).
- . Echantillon 11443: assemblage à *Hercochitina crickmayi*. Formation de Vauréal.
- . Echantillon 11476: assemblage à *Conochitina gamachiana*, espèce caractéristique de la Formation d'Ellis Bay (Achab, 1978B).
- . Echantillon 11544: peu fossilifère.

RIVIERE A L'HUILE

- . Echantillon 11556: assemblage à *Cyathochitina vaurealensis*, *Tanuchitina anticostiensis*, *Ancyrochitina spongiosa* et *Hercochitina grandispina* (Achab, 1977A; Achab, 1977B, figure 2). Cet assemblage est plus vieux que celui à *H. normalis* rencontré à la base de la coupe Ouest.
- . Echantillon 11574: assemblage à *Hercochitina crickmayi*. Formation de Vauréal (Achab, 1977B).
- . Echantillon 11603: assemblage à *Conochitina gamachiana*, caractéristique de la Formation d'Ellis Bay (Achab, 1978B).

RIVIERE AUX SAUMONS

- . Echantillon 11924: assemblage à *Hercochitina normalis*, à rapprocher de l'association rencontrée à la base de la coupe Ouest (Achab, 1977A).
- . Echantillon 11962: assemblage à *Conochitina gamachiana* de la Formation d'Ellis Bay (Achab, 1978B).

COUPES OUEST (BECSCIE), GUN RIVER,
JUPITER ET CHICOTTE

semblages de la figure 7 ont été mis en évidence.

. Les échantillons étant peu nombreux, il n'a pas été jugé utile d'entreprendre des déterminations. La présence de microfossiles organiques laisse cependant envisager qu'une zonation de ces formations serait réalisable.

NOTE - En ce qui concerne les zonations paléontologiques, nous renvoyons le lecteur à des études majeures: Billings (1857, 1866); Schuchert & Twenhofel (1910); Twenhofel (1914, 1928); Riva (1969); Bolton (1972); Copeland (1970, 1973). D'autres études, surtout micropaléontologiques, sont en cours, entre autres les graptolites (par Riva) et les conodontes (par McCracken, Noland & Barnes).

FORAGE SANDTOP

. Les échantillons ne se sont généralement pas montrés très fossilifères. Les as-

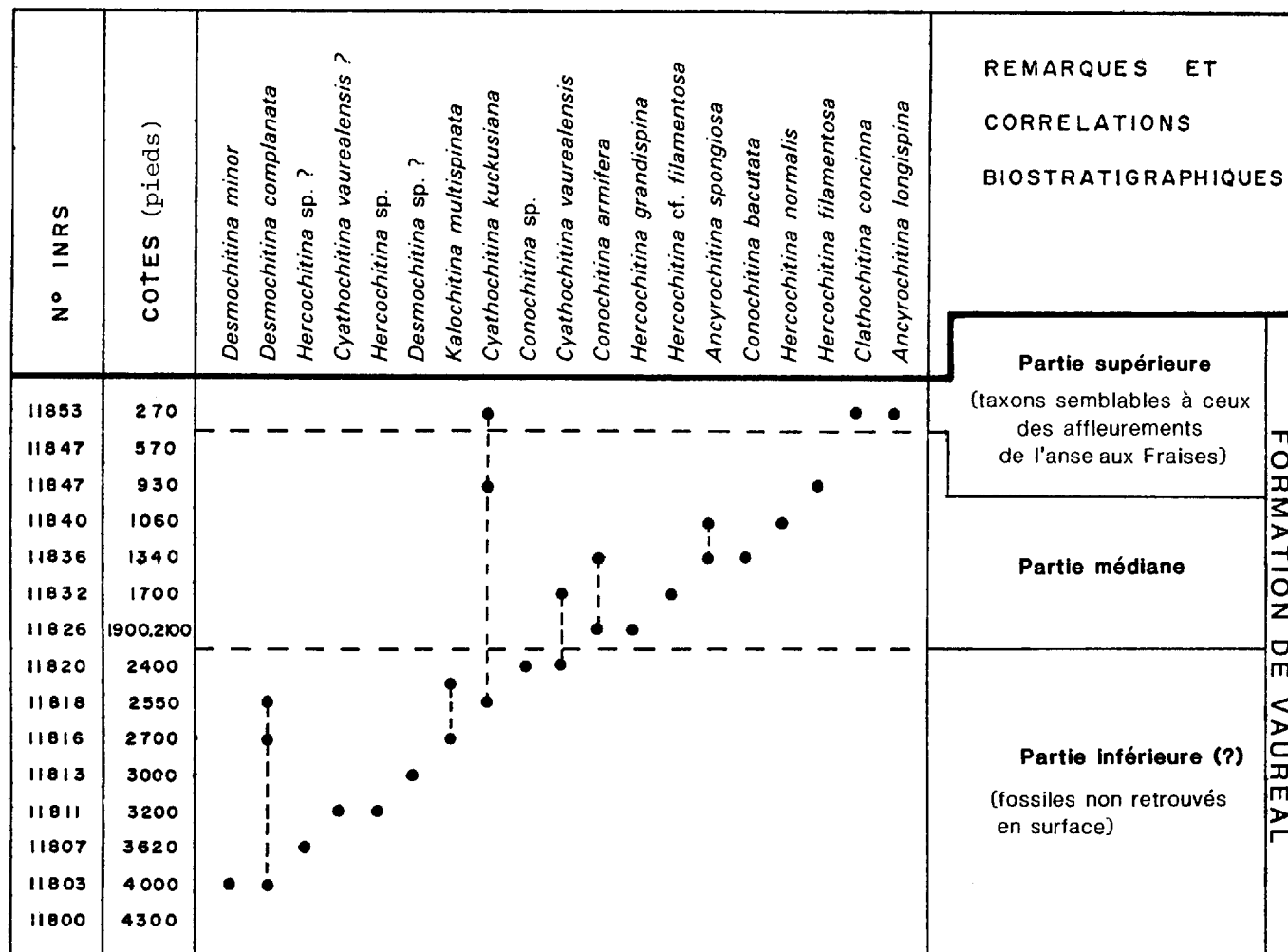


FIGURE 7 - Assemblage des chitinozoaires dans le puits SANDTOP.

INTERPRÉTATION DES RÉSULTATS D'ANALYSE

Les analyses, vues comme synthèse des données de terrain, permettent quelques interprétations générales sur la géologie de l'île d'Anticosti. Ces interprétations se regroupent sous les titres généraux de Lithostratigraphie, Paléogéographie et Hydrocarbures.

LITHOSTRATIGRAPHIE

1 - Les analyses des argiles (annexe 3), la détermination du pourcentage du résidu insoluble (annexe 4), les analyses de microfaciès (annexe 5; Petryk & Bertrand, 1981) et, surtout, les études lithologiques de terrain démontrent que la fraction terrigène (siliciclastique) augmente d'ouest en est (figures 3 et 8). Le changement quantitatif le plus brusque se fait sur la rivière aux Saumons, dans le quart oriental de l'île (figure 1). Les études sédimentologiques de terrain démontrent que la Formation d'Ellis Bay contient des faciès siliciclastiques, lesquels affleurent bien à l'ouest de la rivière aux Saumons puisqu'on en note sur la rivière Naticotec, sur la rivière à l'Ours, au lac au Huard et au lac de l'Ours. La figure 8 illustre les relations des faciès et explique partiellement les distributions mentionnées ci-dessus.

Sur le terrain, les faciès siliciclastiques (d'origine terrigène) sont évidents dans les Formations de Vauréal (surtout la partie supérieure) et d'Ellis Bay (surtout dans les membres 3 et 5; tableau 2). La partie inférieure de la Formation de Becscie ne contient que relativement peu de terrigènes. En général, la fraction terrigène dans la partie supérieure de la Formation de Vauréal et dans l'ensemble de

la Formation d'Ellis Bay passe d'environ 5% dans l'extrême ouest à 5-10% sur la rivière à l'Huile et à 30% sur la rivière aux Saumons (voir figures 1, 3 et 8; aussi annexe 4). Le puits SANDTOP, dans l'extrémité orientale de l'île, renferme plus de 50% d'éléments terrigènes (voir annexe 3).

2 - Les analyses ne montrent pas de faciès nettement distincts autour du contact Vauréal-Ellis Bay. Nos observations de terrain, par la méthode d'analyse lithologique séquentielle, permettent toutefois de conclure à de telles distinctions.

3 - Nos observations lithologiques séquentielles permettent, dans la Formation de Vauréal, de localiser le niveau d'augmentation des carbonates, des terrigènes grossiers et des allochèmes fauniques (fait signalé aussi par l'analyse des microfaciès; annexes 5 et 6). Ce niveau, déjà reconnu (Petryk, 1981), correspond à une zone récifale dans la partie supérieure de la Formation de Vauréal (sommet du membre 4, tableau 2). Il est vraisemblablement corrélable d'ouest en est de l'île, soit de l'anse aux Fraises à la pointe à la Batterie (figure 1).

4 - Les analyses des microfaciès corroborent nos observations de terrain à l'effet que la base de la Formation de Becscie marque un retour à des lithologies semblables à celles notées vers le sommet de la Formation de Vauréal. Ceci laisse supposer un retour à des milieux de dépôt analogues (voir annexe 5, planches 1, 2 et 7).

5 - Bien que les analyses de microfaciès ne puissent caractériser clairement les litho-

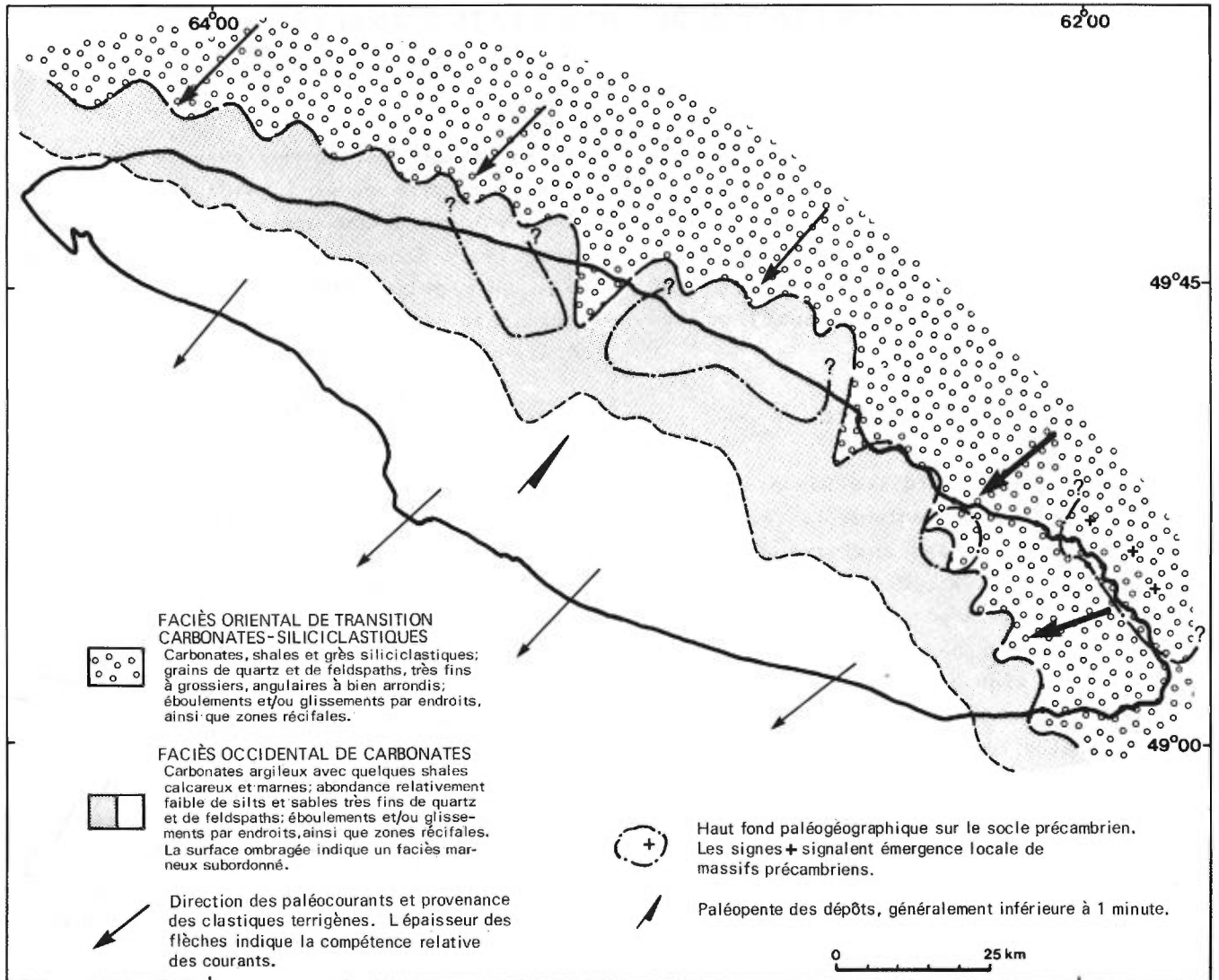


FIGURE 8 - Paléogéographie de la plate-forme holomarine d'Anticosti entre l'Ordovicien supérieur et le Silurien moyen. Noter que la plate-forme était relativement plus profonde dans la partie ouest (faciès occidental) jusqu'au Silurien inférieur.

logies autour du contact Becscie - Gun River, nos observations lithologiques séquentielles le peuvent nettement (figure 2 et tableau 2).

6 - Le contact Gun River - Jupiter n'affleure pas dans les coupes-types, ni sur la côte ni sur la rivière Jupiter. Cependant, le contact que nous avons redéfini (Petryk, 1981) est facilement discernable au sommet de la zone récifale de la Formation de Gun River (figure 2); ce contact est visible

dans la partie orientale de l'île. D'après les quelques études de microfaciès disponibles, le contraste lithologique autour du contact est peu marqué.

7 - Par contre, il y a accord entre nos observations lithologiques de terrain et les analyses de microfaciès en ce qui concerne le contact entre les Formations de Jupiter et de Chicotte. Vers le sommet, le Jupiter varie entre des calcaires mudstone (micrites), grainstone, packstone et intrarudstone

nes (Petryk, 1980); il a un aspect biostromal. Le Chicotte comprend des calcaires encrinétiques, allant de granulaires à grossièrement grenus; il est riche en bioclastes et en algues et s'accompagne de calcaire packstone à très gros grains. L'unité est typiquement récifale et ressemble à un calcaire boundstone dans les petits biohermes d'environ 5 m d'épaisseur à la base de la formation (voir annexe 5, planche 10).

8 - Le pourcentage de dolomitisation varie sur l'île. Il est faible (3%) dans toutes les formations de la partie ouest de l'île. Dans la partie centre-sud (annexes 2 et 6), deux valeurs excédant 20% se trouvent dans les formations de Jupiter (Membre 3) et de Chicotte (Membre 1). Sur la rivière aux Saumons, dans les Formations de Vauréal et d'Ellis Bay, la teneur en dolomie est comparable à celle rencontrée dans l'ouest. A ce stage de la recherche, nous n'avons pas de données pour les formations au sud-est de la rivière aux Saumons.

PALEOGEOGRAPHIE

1 - Les microfaciès, dans leur très grande majorité, indiquent des dépôts de type néritique, peu profonds (infracotidaux) et côtiers (peut-être intercotidaux). Par contre, nos observations sédimentologiques de terrain suggèrent qu'il s'agit d'un environnement sédimentaire néritique peu profond, surtout infracotidal. La plupart des intrarudstones (conglomérats intraformationnels) sont des produits de tempêtes marines. Les figures 2 et 3 illustrent cette sédimentation (multicyclique).

2 - Le fait que le mégacycle régressif du Groupe de Jolliet soit suivi du mégacycle transgressif du Groupe d'Anticosti (figure 3) peut signifier (sans considérations

tectoniques ou autres) que la bathymétrie de la plate-forme était plus grande au commencement de la période de sédimentation Vauréal, plus faible à l'Ellis Bay supérieur et, de nouveau, plus grande lors de la déposition du Jupiter. Une telle interprétation est vraisemblablement trop simpliste. Tout d'abord, la plate-forme d'Anticosti représente une très vaste superficie et la sédimentologie (distribution des faciès) dans toutes les formations est peu connue. Nous avons très peu de données de sous-surface pour l'énorme secteur qui longe la partie sud-ouest de l'île. Il en est de même pour la tectonique de la plate-forme. D'ailleurs, l'effet de la glaciation de l'Ordovicien supérieur n'a pas été considéré. De plus, on ne sait pas quand le mégacycle transgressif est devenu régressif, en supposant que les faciès récifaux de la Formation de Chicotte ne sont pas la culmination d'un autre mégacycle régressif, qui aurait débuté dans la Formation de Jupiter.

HYDROCARBURES

1 - Les échantillons (surtout des shales calcaire) dosés pour le carbone organique sur roche totale sont pauvres en matière organique (annexe 7), sauf pour un échantillon du puits SANDTOP (1.14%), un autre sur la rivière à l'Huile (0.10%) et un troisième dans la coupe Ouest (0.22%). Les analyses ne sont cependant pas suffisamment nombreuses pour tirer des conclusions finales. D'après nos observations de terrain (Petryk, 1979B), il est probable que les lithofaciès siliciclastiques à l'est du camp à l'embouchure de la rivière aux Saumons (surtout dans les Formations de Vauréal et d'Ellis Bay) possèdent entre 0.1 et 1% de carbone organique.

2 - En se reportant au tableau 5, où nous faisons, à l'aide de colonnes hachurées,

le sommaire des données relatives à la conservation de la matière organique, on notera que la maturation thermique **basée sur la coloration des Acritarches** se situe aux alentours de 2 (1.5 à 2+), ce qui, sur la base des indices de Correia et de Staplin pour la vitrinite, correspond à un champ se situant entre la fin du stade immature et le début du stade transition. Les pouvoirs réflecteurs ($R_o = 0.37$ à 0.59%), en regard des indices propres à la vitrinite, suggèrent un champ entre la fin du stade transition et le début du stade mature. Quant à la cristallinité de l'illite, les valeurs sont plus variables et plus complexes à interpréter (1.2 à 0.3); elles suggèrent que le stade de formation des hydrocarbures est mature (fenêtre pétrolière), peut-être même supramature.

Ces trois techniques d'analyse suggèrent que le potentiel d'hydrocarbures se situe entre l'huile et les gaz secs. Par contre, l'analyse élémentaire de la M.O. (tableau 4, figures 4 à 6 et annexe 7) suggère que les kérogènes, malgré leurs faibles quantités, sont de type pyrobitume asphaltique ou de type mixte, qu'ils sont matures et qu'ils correspondent au début de la fenêtre pétrolière.

3 - Les quatre techniques d'analyse indiquent que, à l'intérieur de la zone de catagenèse, le stade de formation des hydrocarbures varie d'immature à transition, avec une zone moyenne **transition-mature** (fenêtre pétrolière). Ceci implique un potentiel d'hydrocarbures allant de l'huile aux gaz secs. Nous soulignons tou-

TABLEAU 5 - Champ moyen des indices de maturation thermique (colonnes hachurées) des échantillons de kérogène de l'île d'Anticosti et interprétation du potentiel en hydrocarbure sur la base de ces indices et données de terrain (bande noire).

ZONES PRÉMÉTAMORPHIQUES	STADES DE FORMATION DES HYDROCARBURES	MATURATION THERMIQUE				POTENTIEL D'HYDROCARBURES
		COLORATION DE LA VITRINITE		POUVOIR RÉFLECTEUR DU KÉROGÈNE D'ASPECT VITRINITE % R_o	CRISTALLINITÉ DE L'ILLITE ° 2θ	
		Indices de CORREIA (1967)	Indices de STAPLIN (1969)			
DIAGENÈSE	IMMATURE	1	1.4 ± *	0.35	1.40	* ■
	TRANSITION	2	1.7-2			
CATAGENÈSE	MATURE	2.5	0.50 *	1.40	0.93	* ■ ■ ■
	TRANSITION	3	2.8 ±			
	2.5	3.5				
ANCHIMÉTAMORPHISME	SUPRAMATURE	4	3.00	4.00	0.60	■ ■ ■
ÉPIZONE	5	4 ±	3.00			
					0.35	
					0.25	

* Kérogène d'aspect vitrinite

tefois que les analyses de la matière organique sont basées sur du kérogène ayant l'aspect de vitrinite et non sur la vitrinite typique, pour laquelle les relations physiques et chimiques et les types d'hydrocarbures sont, en général, bien établis.

4 - L'hypothèse que les assemblages de Chitinozoaires dans le puits SANDTOP (figure 7) - en l'absence d'indications sur la zonation - soient contemporains à ceux reconnus à l'ouest du puits - soulève un problème géologique. La cartographie effectuée à date démontre que le puits débute dans la Formation de Gun River (voir figure 1) alors que le journal de forage re-fère à la Formation de Jupiter jusqu'à 340 pieds et aux Formations de Gun River,

de Becscie, d'Ellis Bay et de Vauréal jusqu'à 3120 pieds.

Nos travaux de terrain ont mis en évidence plusieurs systèmes de failles dans le secteur sud-est de l'île (voir figure 1). Il est donc possible que le puits SANDTOP traverse le bloc allochtone de soulèvement. Les observations de terrain ne sont cependant pas encore suffisantes pour supporter une telle conclusion.

5 - Pour terminer ce train d'observations basées sur les résultats des analyses, il y a lieu de faire remarquer que toutes les analyses et conclusions à date sont de nature préliminaire. Elles constituent cependant un encouragement à poursuivre l'exploration pétrolière et minérale sur l'île.

RÉFÉRENCES

ACHAB, A., 1977A - Les Chitinozoaires de la zone à Dicellograptus complanatus, Formation de Vauréal, Ordovicien supérieur, île d'Anticosti, Québec. Journal canadien des Sciences de la Terre; volume 14 (3), pages 413-425.

1977B - Les Chitinozoaires de la zone à Climacograptus prominens elongatus de la Formation de Vauréal (Ordovicien supérieur), île d'Anticosti, Québec. Journal canadien des Sciences de la Terre; volume 14 (10), pages 2193-2212.

1978A - Sur quelques Chitinozoaires de la Formation de Vauréal et de la Formation de Macasty (Ordovicien supérieur), île d'Anticosti, Québec, Canada. Review of Palaeobotany and Palynology; volume 25, pages 295-314.

1978B - Les Chitinozoaires de l'Ordovicien supérieur (Formations de Vauréal et d'Ellis Bay) de l'île d'Anticosti, Québec, Canada. Palynologia; no. 1, pages 1-19.

ALPERN, B. - MAUME, F., 1969 - Etude pétrographique de l'oxydation naturelle et artificielle des houilles. Revue de l'Industrie minière; pages 979-997.

BILLINGS, E., 1857 - Report of Progress 1853-56. Commission géologique du Canada; pages 247-345.

1866 - Catalogues of the Silurian of the Island of Anticosti, with description of some new genera and species. Commission géologique du Canada.

BOLTON, T.E., 1972 - Geological map and notes on the Ordovician and Silurian lithostratigraphy and biostratigraphy, Anticosti Island, Quebec. Commission géologique du Canada; Paper 71-19, 44 pages.

BOSTICK, N.H. - FOSTER, J.M., 1975 - Comparison of vitrinite reflectance in coal seams and in kerogen of sandstones, shale and limestones in the same part of a sedimentary section. Colloque international de la pétrographie de la matière organique des sédiments; Centre national de la Recherche scientifique (CNRS), Paris, 15-17 septembre 1973; pages 14-25.

CHAROLLAIS, J. - DAVAUD, E., 1976 - Microfaciès et Ordinateur. Editions Technip, Paris; 224 pages.

COPELAND, M.J., 1970 - Ostracoda from the Vauréal Formation (Upper Ordovician) of Anticosti Island, Québec. Commission géologique du Canada; bulletin 187, pages 15-29.

_____ 1973 - Ostracoda from the Ellis Bay Formation (Ordovician), Anticosti Island, Québec. Commission géologique du Canada; Paper 72-43, 49 pages.

_____ 1974 - Silurian Ostracoda from Anticosti Island, Québec. Commission géologique du Canada; bulletin 241, 133 pages.

CORREIA, M., 1967 - Relations possibles entre l'état de conservation des éléments figurés de la matière organique (microfossiles palynoplanctonologiques) et l'existence de gisements d'hydrocarbures. Revue de l'Institut français du Pétrole; volume 22, pages 1285-1306.

DUNHAM, R.G., 1962 - Classification of carbonate rocks according to depositional texture IN Classification of carbonate rocks (a symposium; Ham, W.E., éditeur). American Association of Petroleum Geologists; Memoir 1, pages 108-121.

FOLK, R.L., 1959 - Practical petrographic classification of limestones. Bulletin of the American Association of Petroleum Geologists; volume 43, pages 1-38.

GILBERT, C.M., 1954 - Sedimentary rocks (pages 251-384) IN Petrography (Williams, H.; Turner, F.J.; Gilbert, C.M.). W.H. Freeman and Co., San Francisco; 406 pages.

HUNT, J.M., 1978 - Characterization of bitumens and coals. American Association of Petroleum Geologists; volume 62, no. 2, pages 301-302.

NOWLAND, G.S. - McCracken, A.D. - Barnes, C.R., 1979 - Conodont biostratigraphy of the Vauréal and Ellis Bay Formations, Anticosti Island, Québec, and its relation to the Ordovician - Silurian boundary. Réunion conjointe de l'Association géologique du Canada. Programme et résumés; volume 4, page 69.

PETRYK, A.A., 1976 - Geology and oil and gas exploration of Anticosti Island, Gulf of St. Lawrence, Québec; Preliminary reconnaissance. Ministère des Richesses naturelles du Québec; DP-505, 26 pages.

_____ 1979A - Geology and hydrocarbon exploration of Upper Ordovician - Middle Silurian carbonate and clastic shelf facies, Anticosti Island, Québec. Réunion annuelle de l'Association géologique du Canada; programme et résumés; volume 4, page 72.

_____ 1979B - Stratigraphie révisée de l'île d'Anticosti. Ministère de l'Energie et des Ressources, Québec; DPV-711, 24 pages.

_____ 1980 - Revised stratigraphy of Anticosti Island, Gulf of St. Lawrence, Québec. Réunion conjointe de l'Association géologique du Canada et de l'Association minéralogique du Canada; programme et résumés; volume 5, page 75.

_____ 1981 - Géologie de la partie ouest de l'île d'Anticosti. Ministère de l'Energie et des Ressources, Québec; DPV-815.

PETRYK, A.A. - BERTRAND, R., 1981 - Fiches descriptives et clichés des microfossiles de l'île d'Anticosti, Québec. Ministère de l'Energie et des Ressources, Québec; DP-818.

RICHARDSON, J., 1857 - Rapport pour l'année 1856. Commission géologique du Canada; rapport de progrès 1853-56; pages 31-36.

RIVA, J., 1969 - Middle and Upper Ordovician graptolitic Faunas of the St. Lawrence Lowlands of Quebec and of Anticosti Island. American Association of Petroleum Geologists; Memoir 12, pages 513-556.

RIVA, J. - PETRYK, A.A., 1979 - Uppermost Ordovician Graptolites of Anticosti Island and Maine. Réunion conjointe de l'Association géologique du Canada et de l'Association minéralogique du Canada; programme et résumés; volume 4, page 74.

SCHUCHERT, C. - TWENHOFEL, W.H., 1910 - **Ordovician-Silurian section of the Mingan and Anticosti Islands, Gulf of St. Lawrence.** Bulletin of the Geological Society of America; volume 21, pages 677-716.

SOQUIP (Société québécoise d'initiatives rétrolières), 1974 - **Rapport de fin de forage, Soquip - Scurry - Rainbow Sandtop #1;** Ministère de l'Énergie et des Ressources, Québec; document public GM-31759.

SOURISSE, C. - GAUTHIER, J., 1969 - **Contribution à la géochimie du carbone organique des roches sédimentaires.** Rapport inédit de la Société nationale des Pétroles Aquitaine.

STAPLIN, F.L., 1969 - **Sedimentary organic matter, organic metamorphism, and oil and gas occurrence.** Bulletin du Canadian Petroleum Geologists; volume 17, numéro 1, pages 47-66.

TWENHOFEL, W.H., 1914 - **The Anticosti Island Faunas.** Commission géologique du Canada; Bulletin du Musée; 39 pages.

_____ 1921 - **Faunal and sediment variation in the Anticosti sequence.** Commission géologique du Canada; Bulletin du Musée; numéro 33, Série géologique 40, pages 1-4.

_____ 1928 - **Geology of Anticosti Island.** Commission géologique du Canada; Mémoire 154; 481 pages.

VAN KREVELLEN, D.W., 1961 - **Coal: typology, chemistry, physics.** Elsevier Publishing Company; 514 pages.

LISTE DES ÉCHANTILLONS SOUMIS POUR ANALYSE

Cette annexe fournit la liste des échantillons présentés à l'INRS-Pétrole pour les analyses dont les résultats apparaissent aux annexes 2 à 7. La liste, compilée par A. Petryk, présente les renseignements suivants:

- . La numérotation des échantillons selon l'INRS
- . La numérotation correspondante du MER (selon la nomenclature utilisée par Petryk)
- . La coupe d'où provient l'échantillon
- . Le niveau de l'échantillon dans la coupe
- . Les coordonnées géographiques.

A noter que:

- Les numéros MER identifient les sites d'échantillonnage sur les cheminements effectués en 1975, 1976 et 1977. La carte du DPV-505 (Petryk, 1976) montre la localisation des sites de 1975 et de 1976. Les sites de 1977 sont indiqués sur des index conservés au ministère.

- Les divisions stratigraphiques sont symbolisées comme suit:

V - Formation de Vauréal	C - Formation de Chicotte
EB - Formation d'Ellis Bay	i - Partie inférieure de la formation
B - Formation de Becscie	m - Partie moyenne de la formation
GR - Formation de Gun River	s - Partie supérieure de la formation
J - Formation de Jupiter	m1, m2, etc - Membre 1, membre 2, etc.

En ce qui concerne le puits SANDTOP et le problème de l'identification des divisions stratigraphiques, le lecteur se reportera à la section du rapport intitulée ZONATION PAR CHITINOZOAIRES (pages 13 et 14).

- Les coupes sont localisées sur la figure 1 du rapport. On notera que la grande coupe dans la partie occidentale de l'île est composée d'un segment couvrant les Formations de Vauréal et d'Ellis Bay et d'un segment couvrant la Formation de Becscie. La première est désignée Ouest, la seconde Ouest (Becscie).

No INRS	No MER	Division stratig.	Coupe	Niveau	Longitude	Latitude
11379	76LC2-1-1	V-m1	Ouest	5.0	64°11'40"	49°56'59"
11380	76LC2-1-2	"	"	5.7	64°11'40"	49°56'58"
11381	76LC2-1-3	"	"	8.2	64°11'40"	49°56'65"
11382	76LC2-3-1	"	"	17.0	64°10'20"	49°56'45"
11383	76LC2-3-2	"	"	20.3	64°10'22"	49°56'44"
11384	76LC2-3-2	"	"	20.3	64°10'22"	49°56'44"
11385	76LC2-3-3	"	"	20.3	64°10'22"	49°56'44"
11386	76LC2-4-1	"	"	26.3	64°10'10"	49°56'48"
11387	75JL6-2-1	"	"	37.9	64°14'54"	49°50'50"
11388	75JL6-2-3	"	"	40.0	64°56'50"	49°14'54"
11389	75JL6-5-1	V-m2	"	49.6	64°15'15"	49°56'42"
11390	75JL6-5-2	"	"	53.2	64°15'19"	49°56'36"
11391	75JL6-5-4	"	"	62.0	64°15'27"	49°56'25"
11392	75JL5-6-3	"	"	63.5	64°20'22"	49°56'05"
11293	75JL5-6-4	"	"	109.4	64°20'28"	49°55'52"
11394	75JL5-6-6	"	"	121.4	64°20'32"	49°55'45"
11395	76LC1-3	"	"	126.9	64°20'30"	49°55'42"
11396	76LC1-2	"	"	133.8	49°55'39"	49°55'39"
11397	76LC1-2	"	"	133.8	64°20'48"	49°55'39"
11398	76AP6-3-1	"	"	134.2	64°21'38"	49°55'25"
11399	76AP6-3-2	"	"	134.2	64°21'38"	49°55'25"
11400	76LC1-1	"	"	141.9	64°20'54"	49°55'33"
11401	76AP6-2-1	"	"	146.5	64°21'38"	49°55'31"
11402	76AP6-2-2	"	"	146.5	64°21'38"	49°55'31"
11403	76AP6-1	"	"	154.4	64°21'38"	49°55'37"
11404	76APP6-2	"	"	156.4	64°21'38"	49°55'21"
11405	76RT1-1	"	"	221.3	64°24'33"	49°55'06"
11406	76RT1-1	"	"	221.3	64°24'33"	49°55'06"
11407	76RT1-1-2	"	"	224.4	64°24'40"	49°55'05"
11408	76RT1-1-3	"	"	227.6	64°25'04"	49°55'06"
11409	76RT1-1-4	"	"	232.5	64°27'04"	49°54'55"
11410	75MP1-2	"	"	244.6	64°28'06"	49°54'27"
11411	76AP5-14	"	"	248.8	64°28'32"	49°54'44"
11412	76AP5-13A (3)	"	"	252.0	64°28'48"	49°54'37"
11413	76AP5-13-1	"	"	257.1	64°28'58"	49°54'35"
11414	76AP5-13-2	"	"	257.1	64°28'58"	49°54'35"
11415	76AP5-11	"	"	278.8	64°29'20"	49°54'18"
11416	76AP5-10-A	"	"	283.0	64°29'18"	49°54'14"
11417	76AP5-10	"	"	286.3	64°29'32"	49°54'12"
11418	76AP4-8C3	"	"	292.8	64°29'42"	49°54'07"
11419	76AP4-8B	"	"	293.6	64°29'45"	49°54'06"
11420	76AP4-7-2	"	"	303.3	64°29'37"	49°53'55"
11421	76AP3-5	"	"	308.1	64°29'45"	49°53'50"

No INRS	No MER	Division stratig.	Coupe	Niveau	Longitude	Latitude
11422	76AP3-4	V-m3	Ouest	311.1	64°29'47"	49°53'47"
11423	76AP3-3-4	"	"	311.1	64°29'47"	49°53'47"
11424	76AP3-3-2	"	"	320.4	64°29'57"	49°53'35"
11425	76AP3-1-1	"	"	325.2	64°29'54"	49°53'31"
11426	76AP3-3-1-2	"	"	325.2	64°29'54"	49°53'31"
11427	76AP1-4-1	"	"	338.9	64°30'22"	49°53'21"
11428	76AP1-4-2	"	"	338.9	64°30'22"	49°53'21"
11429	76AP1-4-3	"	"	338.9	64°30'22"	49°53'21"
11430	75LC2-4-1	"	"	379.9	64°31'16"	49°52'41"
11431	75LC2-2-1	"	"	395.9	64°31'16"	49°52'08"
11432	75LC2-2-3	"	"	399.9	64°31'16"	49°52'08"
11433	75LC2-1-2-1	"	"	400.9	64°31'28"	49°51'54"
11434	75LC2-1-2-2	"	"	400.9	64°31'28"	49°51'54"
11435	75LC2-1-1	"	"	402.9	64°31'28"	49°51'54"
11436	76AP7-1	"	"	405.7	64°31'14"	49°51'35"
11437	76AP7-1	"	"	405.7	64°31'14"	49°51'35"
11438	75AP7-2-1	"	"	410.2	64°31'03"	49°51'23"
11439	76AP7-2-2	"	"	410.2	64°31'03"	49°51'23"
11440	76AP-7-3-1	"	"	411.2	64°30'42"	49°51'20"
11441	76AP7-3-2	"	"	411.2	64°30'42"	49°51'20"
11442	76AP7-4	V-m4	"	416.2	64°30'05"	49°51'03"
11443	76AP7-4	"	"	416.2	64°30'05"	49°51'03"
11444	76AP7-6	"	"	412.0	64°30'12"	49°50'51"
11445	76AP7-7	"	"	423.6	64°28'29"	49°50'39"
11446	76AP7-8	"	"	426.6	64°28'33"	49°50'30"
11447	76AP7-9	"	"	428.1	64°28'34"	49°50'26"
11448	76AP33-1	V-m5	"	434.5	64°27'08"	49°50'07"
11449	76AP33-2	"	"	434.8	64°27'08"	49°50'07"
11450	76AP8-1	"	"	436.2	64°27'18"	49°50'06"
11451	76AP8-4-1	"	"	453.7	64°26'56"	49°49'50"
11452	76AP8-4-2	"	"	453.7	64°26'56"	49°49'50"
11453	75JL4-8	"	"	454.1	64°26'57"	49°49'49"
11454	76RT2-5	"	"	455.3	64°26'52"	49°50'16"
11455	76RT2-5A	"	"	459.3	64°26'49"	49°50'16"
11456	76RT2-6A	"	"	460.3	64°26'49"	49°50'20"
11457	76RT2-6B	EB-m1	"	463.3	64°26'49"	49°50'24"
11458	76RT2-6C	"	"	464.6	64°26'49"	49°50'28"
11459	76RT2-6C	"	"	464.6	64°26'49"	49°50'28"
11460	76AP34-1	"	"	465.7	64°26'34"	49°50'28"
11461	76AP32-2-1	"	"	467.9	64°29'24"	49°54'10"
11462	76AP34-2	"	"	468.2	64°26'34"	49°50'30"
11463	76AP32-2-2	"	"	468.5	64°29'24"	49°54'10"
11464	76RT2-7	"	"	472.1	64°26'40"	49°50'35"

No INRS	No MER	Division stratig.	Coupe	Niveau	Longitude	Latitude
11465	76RT2-7-2	EB-m1	Ouest	472.1	64°26'40"	49°50'35"
11466	76RT2-8	EB-m2	"	472.3	64°26'36"	49°50'37"
11467	76RT2-9	"	"	474.0	64°26'40"	49°50'40"
11468	76LC3-11	"	"	485.3	64°26'34"	49°49'10"
11469	76LC3-13	"	"	495.7	64°26'08"	49°48'55"
11470	76LC3-13	"	"	495.7	64°26'08"	49°48'55"
11471	76AP14-1-1	EB-m3	"	508.2	64°48'38"	49°48'38"
11472	76AP14-1-2	"	"	509.2	64°23'24"	49°48'38"
11473	76AP14-2	"	"	510.7	64°23'24"	49°48'38"
11474	76AP14-1-4	EB-m4	"	511.7	64°23'24"	49°48'38"
11475	76LC7-1-1	"	"	519.5	64°25'34"	49°48'23"
11476	76LC8-2-1	"	"	519.8	64°23'14"	49°48'28"
11477	76LC3-15	"	"	521.5	64°25'32"	49°48'23"
11478	76AP20-5-1	EB-m5	"	521.5	64°20'28"	49°48'15"
11479	76AP20-5-2	"	"	521.5	64°20'28"	49°48'15"
11480	76AP9-16A	"	"	523.9	64°25'18"	49°48'19"
11481	76AP9-16B	"	"	528.6	64°25'20"	49°48'15"
11482	76AP20-6	"	"	528.6	64°20'05"	49°47'52"
11483	76LC4-3-2	EB-m6	"	533.2	64°25'18"	49°48'16"
11484	76LC4-4-1	"	"	534.0	64°25'18"	49°48'12"
11485	76AP9-18A	EB-m7	"	536.6	64°25'20"	49°48'08"
11486	76RT-3-1-2	"	"	536.8	64°25'13"	49°48'08"
11487	76RT4-2	"	"	536.8	64°23'04"	49°48'10"
11488	76RT3-1-3	"	"	537.0	64°25'13"	49°48'08"
11489	76AP9-18B	"	"	537.2	64°25'20"	49°48'08"
11490	76RT4-1	"	"	537.3	64°23'08"	49°48'10"
11491	76RT5-2-1	"	"	537.9	64°22'51"	49°48'00"
11492	76RT3-3	"	"	538.6	64°25'14"	49°48'07"
11493	76RT5-2-3	B-m1	"	539.2	64°22'51"	49°48'00"
11494	76RT5-2-4	"	"	539.5	64°22'51"	49°48'00"
11495	76RT5-2-6	"	"	540.2	64°22'51"	49°48'00"
11496	76RT6-1A	"	"	549.2	64°22'48"	49°47'48"
11497	76RT6-1T	"	"	550.9	64°22'48"	49°47'48"
11498	76AP10-22	"	"	554.0	64°24'36"	49°47'49"
11499	76AP10-23	"	"	559.0	64°24'36"	49°47'45"
11500	76AP10-24	"	"	569.6	64°24'44"	49°47'38"
11501	76AP10-25A	"	"	573.6	64°24'47"	49°47'32"
11502	76LC3-12	EB-m2	"	491.7	64°26'27"	49°49'00"
11503	76LC2-1-1	B-m1	Ouest (Becscie)	538.4	64°19'48"	49°47'32"
11504	76AP20-11	"	"	539.0	64°18'48"	49°47'33"
11505	76AP20-12	"	"	539.2	64°19'48"	49°47'34"
11506	75LT1-7-1	"	"	549.9	64°19'32"	49°47'13"
11507	76ML1-1	"	"	556.4	64°19'20"	49°46'52"

No INRS	No MER	Division stratig.	Coupe	Niveau	Longitude	Latitude
11508	76LT1-8-1	B-m1	Ouest (Becscie)	557.6	64°19'18"	49°46'57"
11509	76ML1-2	"	"	559.7	64°19'18"	49°46'55"
11510	76ML1-3	"	"	564.3	64°19'18"	49°46'48"
11511	75LT1-9-2	"	"	567.1	64°18'38"	49°46'38"
11512	76ML1-4	"	"	569.9	64°19'24"	49°46'40"
11513	76ML1-5	"	"	571.3	64°19'24"	49°46'38"
11514	76ML1-6	"	"	575.7	64°19'28"	49°46'33"
11515	75LT1-9A-1	"	"	579.7	64°17'52"	49°46'18"
11516	76AP17-1	"	"	585.0	64°17'22"	49°46'10"
11517	76AP17-2	"	"	586.2	64°17'22"	49°46'10"
11518	76AP17-3	"	"	586.3	64°17'22"	49°46'10"
11519	76AP17-4	"	"	586.4	64°17'22"	49°46'10"
11520	76AP17-5	B-m2	"	586.5	64°17'22"	49°46'10"
11521	76AP17-6	"	"	586.6	64°17'22"	49°46'10"
11522	76AP17-7	"	"	586.6	64°17'22"	49°46'10"
11523	75AP18-5-1	"	"	595.6	64°16'46"	49°45'47"
11524	75AP18-5-2	"	"	595.6	64°16'46"	49°45'47"
11525	76AP17-10	"	"	596.0	64°17'26"	49°46'00"
11526	76AP17-9-1	"	"	598.6	64°17'26"	49°45'57"
11527	76AP17-9-2	"	"	598.6	64°17'26"	49°45'57"
11528	76AP18-6A	"	"	599.6	64°16'41"	49°45'47"
11529	76AP18-6B	"	"	600.6	64°16'41"	49°45'47"
11530	75AP18-6C	"	"	601.0	64°16'47"	49°45'47"
11531	76AP17-7T	"	"	601.8	64°17'22"	49°45'52"
11532	76AP17-7	"	"	602.8	64°17'22"	49°45'51"
11533	76AP18-1	"	"	602.8	64°15'52"	49°45'25"
11534	76AP18-2	"	"	603.8	64°15'56"	49°45'25"
11535	76AP18-3	"	"	604.7	64°15'58"	49°45'25"
11536	76AP18-4	"	"	605.9	64°16'34"	49°45'35"
11537	75CR2-3-1	"	"	611.1	64°11'54"	49°44'16"
11538	75JL2-8	"	"	613.1	64°09'24"	49°43'51"
11539	75JL2-11	"	"	616.3	64°08'36"	49°43'43"
11540	76AP21-1	"	"	626.5	64°04'32"	49°42'47"
11541	76LC9-2	"	"	630.9	64°06'38"	49°43'03"
11542	76LC9-1-1	"	"	635.7	64°01'38"	49°43'00"
11543	76LC9-1-2	"	"	635.7	64°06'38"	49°43'00"
11544	75LC2-4-1A	B-m3	"	649.9	64°52'04"	49°38'57"
11545	75LC2-4-1A	"	"	649.9	64°52'04"	49°38'57"
11546	75LC2-4-2A	"	"	650.9	64°52'03"	49°38'56"
11547	75CL2-4-3A	"	"	651.9	64°52'02"	49°38'55"
11548	75CL2-4-6A	"	"	654.9	64°51'52"	49°38'48"
11549	75LC2-4-8A	"	"	666.9	64°51'45"	49°38'46"
11550	75LC2-4-9A	"	"	667.9	64°51'30"	49°38'44"

No INRS	No MER	Division stratig.	Coupe	Niveau	Longitude	Latitude
11551	75LC2-4-9A	B-m3	Ouest (Becscie)	667.9	64°51'30"	49°38'44"
11552	75LC2-4-11A	"	"	669.9	64°51'42"	49°38'41"
11553	76AP17-4-1	B-m1	"	586.4	64°71'22"	49°46'10"
11554	76AP17-4-2	"	"	586.4	64°17'22"	49°46'10"
11555	75JM9-3-1	"	"	581.2	64°23'05"	49°47'35"
11556	76LC11-4	V-i(?)	R. Huile	9.0	63°33'14"	49°50'28"
11557	76LC12-2	"	"	24.0	63°33'42"	49°49'58"
11558	76LC12-3-1	"	"	30.0	63°33'48"	49°49'56"
11559	76LC12-3-2	"	"	30.0	63°33'48"	49°49'56"
11560	76LC12-4	"	"	34.0	63°33'48"	49°49'50"
11561	76LC12-5	"	"	37.0	63°33'48"	49°49'43"
11562	76LC12-6	"	"	68.0	63°33'57"	49°49'22"
11563	76LC12-7	"	"	85.4	63°33'54"	49°49'07"
11564	76LC12-8	"	"	98.8	63°33'57"	49°49'00"
11565	76LC12-9	"	"	100.7	63°33'57"	49°48'57"
11566	76LC12-10	"	"	119.8	63°34'18"	49°48'41"
11567	76RT12-6	"	"	143.0	63°34'14"	49°48'03"
11568	76RT12-6LA	"	"	144.5	63°34'14"	49°48'03"
11569	76RT12-6LA	"	"	144.0	63°34'14"	49°48'03"
11570	76RT12-5	"	"	165.0	63°34'10"	49°47'28"
11571	76RT12-4-1	V-s	"	185.3	63°34'10"	49°47'08"
11572	76RT12-4-2	"	"	185.3	63°34'10"	49°47'08"
11573	76RT12-3-4	"	"	199.0	63°34'06"	49°46'56"
11574	75JM12-6-1A	"	"	206.5	63°34'06"	49°46'45"
11575	75JM12-6-1	"	"	206.5	63°34'06"	49°46'45"
11576	76RT12-2-1	"	"	224.5	63°34'10"	49°46'30"
11577	76RT12-1-1	"	"	228.0	63°34'10"	49°46'33"
11578	76RT11-10-1	"	"	236.0	63°34'07"	49°46'23"
11579	76RT11-10-2	"	"	235.5	63°34'07"	49°46'23"
11580	76RT11-09-1	"	"	243.0	63°34'07"	49°46'23"
11581	76RT11-08-3	"	"	249.5	63°34'12"	49°46'11"
11582	76RT11-08-1	"	"	252.0	63°34'12"	49°46'11"
11583	76RT-AP6-6-1-L	"	"	257.5	63°34'12"	49°46'03"
11584	76RT11-6L	"	"	257.8	63°34'12"	49°46'03"
11585	76RT11-5-3	"	"	262.8	63°34'18"	49°45'57"
11586	76RT11-5-2	"	"	263.8	63°34'18"	49°45'57"
11587	76RT11-5-1	"	"	265.8	63°34'18"	49°45'57"
11588	76RT11-4L	"	"	267.8	63°34'26"	49°45'54"
11589	76RT11-3-3	"	"	271.8	63°34'18"	49°45'45"
11590	76RT11-3-2	"	"	273.8	63°34'18"	49°45'45"
11591	76RT11-3-1	"	"	273.2	63°34'18"	49°45'45"
11592	76RT11-2-3	"	"	275.7	63°34'21"	49°45'42"
11593	76RT11-2-1	"	"	277.7	63°34'21"	49°45'42"

No INRS	No MER	Division stratig.	Coupe	Niveau	Longitude	Latitude
11594	76RT11-1-1	V-s	R. Huile	281.7	63°34'18"	49°45'35"
11595	76RT10-7T	"	"	287.7	63°34'16"	49°45'32"
11596	76RT10-6-2	"	"	292.4	63°34'26"	49°45'25"
11597	76RT10-1A	"	"	294.2	63°34'10"	49°45'52"
11598	76RT10-1-2-1	"	"	299.4	63°34'10"	49°45'52"
11599	76RT10-4-1	"	"	301.9	63°34'31"	49°45'10"
11600	76RT10-3A	"	"	305.1	63°34'12"	49°45'04"
11601	76RT10-3-A-2-1	"	"	306.7	63°34'12"	49°45'04"
11602	76RT10-2-2T	"	"	306.9	63°34'15"	49°44'55"
11603	76RT10-1-AF	EB-m1	"	307.4	63°34'15"	49°44'55"
11604	76RT10-1-2-2	"	"	308.4	63°34'15"	49°44'55"
11605	76RT10-1-2T	EB-m2	"	309.2	63°34'15"	49°44'55"
11606	76RT24-3-1	"	"	313.2	63°34'07"	49°44'41"
11607	76RT24-3-2	"	"	314.7	63°34'07"	49°44'41"
11608	76RT24-4-1	"	"	317.1	63°34'13"	49°44'35"
11609	76RT24-0-5	"	"	321.3	63°34'16"	49°44'25"
11610	76RT24-5F	EB-m3	"	324.1	63°34'16"	49°44'25"
11611	76RT24-6	"	"	325.3	63°34'18"	49°44'20"
11612	76RT24-7	EB-m4	"	366.3	63°34'22"	49°44'13"
11613	76RT24-8	"	"	344.3	63°34'22"	49°44'09"
11614	76RT24-9A-2	"	"	353.0	63°34'27"	49°43'57"
11615	76RT24-9A-1	"	"	360.0	63°34'27"	49°43'57"
11616	76RT24-9B	"	"	362.0	63°34'27"	49°43'52"
11617	76RT24-10	EB-m5	"	364.0	63°34'27"	49°43'48"
11618	76RT24-10-2	"	"	368.5	63°34'27"	49°43'48"
11619	76RT23-3-1	B-m1	"	370.6	63°34'41"	49°43'33"
11620	76RT23-3-2	"	"	370.6	63°34'41"	49°43'33"
11621	76RT23-3-3	"	"	370.6	63°34'41"	49°43'33"
11622	76RT23-2-1	"	"	383.6	63°34'37"	49°43'24"
11623	76RT23-2-2	"	"	383.6	63°34'37"	49°43'24"
11624	76RT23-1-1	"	"	395.9	63°34'35"	49°43'09"
11625	76RT23-1-2	"	"	395.9	63°34'35"	49°43'09"
11643	77AP23-2-1LF-2	J-s(?)	R. Chicotte	0	63°02'21"	49°13'56"
11644	77AP23-2-1LF-1	"	"	"	63°02'21"	49°13'56"
11645	77AP23-3-1LF	"	"	0.0-1	63°02'26"	49°13'40"
11646	77AP23-2LF	"	"	2 -3.9	63°02'26"	49°13'40"
11647	77AP23-3LF-1	C-m1	"	3.9-4.9	63°02'26"	49°13'40"
11648	77AP23-3LF-2	"	"	3.9-4.9	63°02'26"	49°13'40"
11649	77AP23-3'-4LF	C-m2	"	4.9-5.9	63°02'26"	49°13'40"
11650	77AP28-4-1LF	"	"	5.7-6.7	63°02'22"	49°13'38"
11651	77AP28-5-1L	"	"	6.4	63°02'26"	49°13'36"
11652	77AP28-5-3L	"	"	6.7	63°02'26"	49°13'36"
11653	77AP28-5-5L	C-m3	"	7.4	63°02'26"	49°13'36"

No INRS	No MER	Division stratig.	Coupe	Niveau	Longitude	Latitude
11654	77AP28-5-6L	Cm-3	R. Chicotte	8.5	63°02'26"	49°13'36"
11655	77AP28-5-7L	"	"	9.5	63°02'26"	49°13'36"
11656	77AP28-5-8L	"	"	10.0	63°02'26"	49°13'36"
11657	77AP28-5-10L	"	"	11.5	63°02'26"	49°13'36"
11658	77AP45-6-1L-2	GR-s	Côte Sud-Cent.	13.0	63°38'56"	49°31'18"
11659	77AP45-6-1L-1	"	"	13.0	63°38'56"	49°31'18"
11660	75JM41-4-1	"	"	26.0	63°38'24"	49°30'57"
11661	77AP45-5-1L	J-m1	"	41.5-43.5	63°38'02"	49°30'34"
11662	77AP45k-5-1LF	"	"	41.5-43.5	63°38'02"	49°30'34"
11663	77AP45-5-2-1	J-m2	"	43.6-46.2	63°38'02"	49°30'34"
11664	77AP45-5-1	J-m1	"	43.6	63°38'02"	49°30'34"
11665	77AP45-5-2-2	J-m2	"	43.6-46.2	63°38'02"	49°30'34"
11666	77AP45-5-3	"	"	46.2-47.2	63°38'02"	49°30'34"
11667	77AP44-4-1LF	"	"	48.0	63°37'56"	49°30'19"
11668	77AP44-3-1LF	J-m3	"	63.8-68.8	63°37'11"	49°29'35"
11669	77AP44-3-1LF	"	"	68.8	63°37'11"	49°29'35"
11670	77AP44-2-1L	"	"	68.8	63°37'11"	49°29'32"
11671	77AP44-1-1LF	"	"	82.8	63°36'48"	49°28'43"
11672	77AP44-1-2L	J-m4	"	95.0-95.4	63°36'48"	49°28'43"
11673	75JL27-1-1	"	"	99.8-101.7	63°36'55"	49°28'10"
11674	75JL27-1-1	"	"	99.8-101.7	63°36'55"	49°28'10"
11675	77AP3-5-1	J-m5	"	108.3	63°37'00"	49°27'11"
11676	77AP3-3-8-1L	"	"	114.1	63°36'10"	49°26'05"
11677	77AP4-9-2LFA	"	"	114.6	63°36'55"	49°26'58"
11678	77AP4-9-1	J-m6	"	115.8	63°36'55"	49°26'58"
11679	77AP4-9-3LFA	"	"	116.2	63°36'55"	49°26'58"
11680	77AP4-10-1	"	"	117.9-121.0	63°36'50"	49°26'50"
11681	77AP4-11-1LF	"	"	121.4	63°36'32"	49°26'37"
11682	77AP4-11-1A	"	"	121.4	63°36'32"	49°26'37"
11683	77AP6-12-LF	"	"	123.4-124.4	63°36'30"	49°26'32"
11684	77AP4-13-1LA	"	"	127.6-128.8	63°36'23"	49°26'24"
11685	77AP6-14-LAF	"	"	130.8	63°36'18"	49°26'19"
11686	77AP7-15-1LAF	"	"	134.3	63°36'18"	49°26'12"
11687	77AP7-16-1LAF	"	"	138.7	63°36'08"	49°26'10"
11688	77AP7-18-1LAF-1	"	"	141.5	63°36'00"	49°26'03"
11689	77AP7-18-1LAF-2	"	"	142.5	63°36'00"	49°26'03"
11690	77AP7-19-2AF	"	"	144.7	63°36'00"	49°26'02"
11691	77AP7-19-3LF	"	"	144.8-145.5	63°36'00"	49°26'02"
11692	77AP8-20-3	"	"	146.9	63°35'58"	49°25'57"
11693	77AP8-20-2	"	"	147.9	63°35'58"	49°25'57"
11694	77AP8-20-1	"	"	148.9	63°35'58"	49°25'57"
11695	77AP8-21-1A	"	"	150.2	63°35'58"	49°25'57"
11696	77AP8-22-1L	"	"	153.1	63°35'58"	49°25'52"

No INRS	No MER	Division stratig.	Coupe	Niveau	Longitude	Latitude
11697	77AP8-23-1LAF	J-m6	Côte Sud-Cent.	156.0	63°55'46"	49°25'45"
11698	77AP9-25-1LF	"	"	163.5	63°35'25"	49°25'28"
11699	77AP10-26-1LF	"	"	164.6-165.6	63°35'25"	49°25'28"
11700	77AP9-23-3LF	"	"	165.0	63°35'46"	49°25'45"
11701	77AP10-26-2LF	"	"	165.6	63°35'25"	49°25'28"
11702	77AP10-27-1L	"	"	166.6-167.0	63°35'23"	49°25'26"
11703	77AP10-27-2LFA	"	"	166.6-168.4	63°35'23"	49°25'26"
11704	77AP10-28-1LF	"	"	170.5	63°35'23"	49°25'26"
11705	77AP10-29-1LF	"	"	173.5	63°35'14"	49°25'21"
11706	77AP10-30-1LF	"	"	179.2-181.2	63°35'04"	49°25'10"
11707	77AP11-32-1LF	"	"	183.3	63°34'58"	49°25'10"
11708	77AP42-1-1LF	"	"	187.6	63°34'34"	49°24'47"
11709	77AP42-2-1LF	J-s	"	199.9-200.3	63°34'30"	49°24'42"
11710	77AP42-2-1LF1	"	"	199.9-200.3	63°34'30"	49°24'42"
11711	77AP42-2-1LFA	"	"	199.9-200.3	63°34'30"	49°24'42"
11712	77AP43-1-1LF	"	"	207.6-209.6	63°31'55"	49°22'50"
11713	77AP43-1-1LF2	"	"	207.6-209.6	63°31'55"	49°22'50"
11714	77AP43-1-1FMA	"	"	210.54-212.55	63°31'55"	49°22'50"
11715	77AP43-1-2LF	C-m1	"	210.0-210.20	63°31'55"	49°22'50"
11716	77AP43-1-3A	"	"	210.23	63°31'55"	49°22'50"
11717	77AP43-1-4L	"	"	210.34	63°31'55"	49°22'40"
11718	77AP43-1-5LF	"	"	210.50	63°31'55"	49°22'50"
11719	77AP43-1-6LF	C-m2	"	210.54-212.55	63°31'55"	49°22'50"
11720	77AP41-30-3B	GR-s	R. Jupiter	216.7	63°31'38"	49°30'33"
11721	77AP43-3L	C-m2	Côte Sud-Cent.	221.3	63°33'09"	49°23'04"
11722	77LG5-7-1LF	B-m3(?)	R. Jupiter	0	63°25'34"	49°37'19"
11723	77LG5-7-1LF	"	"	0	63°25'34"	49°37'19"
11724	77LG5-7-2LF	"	"	3.2	63°24'51"	49°38'24"
11725	77LG5-7-3LF	"	"	4.4	63°24'51"	49°38'24"
11726	77LG5-4-1LF	"	"	20.7	63°25'14"	49°37'50"
11727	77LG-5-4-2L	"	"	20.7	63°25'14"	49°37'50"
11728	75LC11-6-3	"	"	30.2	63°25'21"	49°37'36"
11729	75LC11-6-4L	"	"	30.2	63°25'21"	49°37'36"
11730	75LC11-7-4L	"	"	41.3	63°25'34"	49°37'19"
11731	75LC11-7-6L	"	"	47.9	63°25'34"	49°37'19"
11732	75LC11-9-4L	"	"	58.0	63°26'29"	49°37'04"
11733	75LC11-10-2L	"	"	62.3	63°26'29"	49°36'50"
11734	76LC11-10-4L	"	"	63.6	63°26'29"	49°36'50"
11735	77AP19-3-1LF	B-m4(?)	"	66.1	63°26'31"	49°36'50"
11736	77AP19-3-1LF	"	"	66.1	63°26'31"	49°36'50"
11737	77AP19-3-2LFA	"	"	67.5	63°26'31"	49°36'50"
11738	75LC11-10-5cp	"	"	67.6	63°26'29"	49°36'50"
11739	77AP21-4-2LF	"	"	75.5	63°26'46"	49°36'40"

No INRS	No MER	Division stratig.	Coupe	Niveau	Longitude	Latitude
11740	77AP21-4-13.5	B-m4(?)	R. Jupiter	76.3	63°25'46"	49°36'40"
11741	77AP21-4-1LF-1	"	"	77.7	63°26'46"	49°36'40"
11742	77AP21-4-1LF-2	"	"	77.7	63°26'46"	49°36'40"
11743	77AP32-1	"	"	78.3	63°26'46"	49°36'40"
11744	77AP21-5-1	"	"	80.1	63°27'20"	49°36'37"
11745	77AP21-5-2	"	"	80.5	63°27'20"	49°36'37"
11746	76LC25-2T	B-m5	"	84.0	63°27'44"	49°36'13"
11747	76LC25-2	"	"	84.0	63°27'44"	49°36'13"
11748	76AP22-6-1F	"	"	84.0	63°27'48"	49°36'10"
11749	77AP22-7-1LF	"	"	84.7	63°28'08"	49°36'02"
11750	77AP22-7-1LFA	"	"	85.1	63°28'08"	49°36'02"
11751	77AP22-7-2LF	"	"	85.1	63°28'08"	49°36'02"
11752	77AP34-14-1L	GR-m1	"	85.55	63°33'04"	49°36'52"
11753	77AP22-14-1L	"	"	85.6	63°33'04"	49°36'52"
11754	77AP22-7-3LF-1	"	"	85.6	63°33'04"	49°36'52"
11755	77AP22-7-3LF-2	"	"	85.6	63°33'04"	49°36'52"
11756	77AP34-16-1LF	"	"	85.65	63°32'50"	49°35'25"
11757	77AP22-8-1L	"	"	98.5	63°28'48"	49°35'56"
11758	77AP22-8-2	"	"	98.7	63°28'48"	49°35'56"
11759	77AP37-511F	"	"	103.5	63°27'20"	49°36'37"
11760	77AP22-9-1L	"	"	105.7	63°30'08"	49°36'06"
11761	77AP35-11-1LF	"	"	112.5-114.5	63°30'40"	49°35'52"
11762	77AP35-10-1L	"	"	117.0	63°30'40"	49°35'52"
11763	77AP35-10-2L	"	"	118.5	63°30'40"	49°35'52"
11764	77AP35-11-1LL	"	"	119.5	63°31'06"	49°36'02"
11765	77AP35-11-1LL	"	"	119.5	63°31'06"	49°36'02"
11766	77AP37-13-OL	"	"	120.0	63°32'00"	49°35'37"
11767	77AP37-13-1L	"	"	122.0	63°32'00"	49°35'37"
11768	77AP37-13-3	"	"	124.5	63°32'00"	49°35'37"
11769	77AP36-12-2LF	"	"	126.5	63°31'22"	49°35'27"
11770	77AP37-13-6LF	"	"	127.25	63°32'00"	49°35'37"
11771	77AP38-15-1LF	"	"	147.7-149.0	63°32'48"	49°34'03"
11772	75JL24-2-1	"	"	155.8	63°32'21"	49°33'40"
11773	75JL24-2-2	"	"	156.8	63°32'21"	49°33'40"
11774	75JL24-3	"	"	159.8	63°32'26"	49°33'29"
11775	75JL24-3	"	"	159.8	63°32'26"	49°33'29"
11776	77AP38-17-1LF	"	"	159.8	63°32'32"	49°33'38"
11777	77AP38-18-1LF	"	"	166.6-167.6	63°32'42"	49°33'16"
11778	77AP38-18-2LF	"	"	166.6-167.6	63°32'42"	49°33'16"
11779	77AP38-18-4LF	"	"	170.6-172.6	63°32'42"	49°33'16"
11780	77AP38-19-1LF	"	"	177.1-178.6	63°32'26"	49°32'56"
11781	77AP38-19-2-1	"	"	182.6	63°32'26"	49°32'56"
11782	77AP38-19-2-2	"	"	182.6	63°32'26"	49°32'56"

No INRS	No MER	Division stratig.	Coupe	Niveau	Longitude	Latitude
11783	77AP39-21-1	GR-m	R. Jupiter	190.0	63°32'42"	49°32'23"
11784	77AP39-21-2	"	"	190.3-190.7	63°32'42"	49°32'23"
11785	77AP39-21-3-1	"	"	193.0-194.0	63°32'42"	49°32'23"
11786	77AP39-21-3-2	"	"	193.0-194.0	63°32'42"	49°32'23"
11787	77AP39-24-1	"	"	199.1-201.1	63°32'38"	49°31'52"
11788	75JL25-4-1	"	"	205.6	63°32'04"	49°31'28"
11789	77AP40-28-1-1	"	"	211.6	63°32'23"	49°31'15"
11790	77AP40-28-1-2	"	"	211.6	63°32'23"	49°31'15"
11791	77AP40-28-5A	GR-s	"	215.6	63°32'23"	49°31'15"
11792	77AP40-28-5	"	"	215.6	63°32'23"	49°31'15"
11793	77AP40-28-2	"	"	213.5	63°32'23"	49°31'15"
11794	77AP40-30-2A	"	"	215.4	63°32'23"	49°31'15"
11795	77AP40-28-4LF	"	"	215.5	63°32'23"	49°31'15"
11796	77AP40-6-1LF	"	"	217.5	63°32'23"	49°31'15"
11797	77AP40-6-1LF2	"	"	217.5	63°32'23"	49°31'15"
11798	77AP41-5-1LF	"	"	219.0	63°31'38"	49°30'33"
11799	76RT24-4-2	EB-m2	R. Huile	318.1	63°34'13"	49°44'35"
11800	MRN-10-1	?	Sandtop	4300	61°44'43"	49°11'56"
11801	MRN-10-2	"	"	4200	61°44'43"	49°11'56"
11802	MRN-10-3	"	"	4100	61°44'43"	49°11'56"
11803	NRN-10-4	"	"	4000	61°44'43"	49°11'56"
11804	MRN-10-5	"	"	3900	61°44'43"	49°11'56"
11805	MRN-10-6	"	"	3800	61°44'43"	49°11'56"
11806	MRN-10-7	"	"	3700	61°44'43"	49°11'56"
11807	MRN-10-8	"	"	3630	61°44'43"	49°11'56"
11808	MRN-10-9	"	"	3480	61°44'43"	49°11'56"
11809	MRN-10-10	"	"	3400	61°44'43"	49°11'56"
11810	MRN-10-11	"	"	3300	61°44'43"	49°11'56"
11811	MRN-10-12	"	"	3200	61°44'43"	49°11'56"
11812	MRN-10-13	"	"	3125	61°44'43"	49°11'56"
11813	MRN-10-14	"	"	3000	61°44'43"	49°11'56"
11814	MRN-10-15	"	"	2925	61°44'43"	49°11'56"
11815	MRN-10-16	"	"	2800	61°44'43"	49°11'56"
11816	MRN-10-17	"	"	2700	61°44'43"	49°11'56"
11817	MRN-10-18	"	"	2600	61°44'43"	49°11'56"
11818	MRN-10-19	"	"	2550	61°44'43"	49°11'56"
11819	MRN-10-20	"	"	2500	61°44'43"	49°11'56"
11820	MRN-10-21	"	"	2400	61°44'43"	49°11'56"
11821	MRN-10-22	"	"	2275	61°44'43"	49°11'56"
11822	MRN-10-23	"	"	2250	61°44'43"	49°11'56"
11823	MRN-10-24	"	"	2200	61°44'43"	49°11'56"
11824	MRN-10-25	"	"	2100	61°44'43"	49°11'56"
11825	MRN-10-26	"	"	2000	61°44'43"	49°11'56"

No INRS	No MER	Division stratig.	Coupe	Niveau	Longitude	Latitude
11826	MRN-10-27	?	Sandtop	2010-1900	61°44'43"	49°11'56"
11827	MRN-10-28	"	"	1835	61°44'43"	49°11'56"
11828	MRN-10-29	"	"	1785	61°44'43"	49°11'56"
11829	MRN-10-30	"	"	1775	61°44'43"	49°11'56"
11830	MRN-10-31	"	"	1760	61°44'43"	49°11'56"
11831	MRN-10-32	"	"	1720	61°44'43"	49°11'56"
11832	MRN-10-33	"	"	1700	61°44'43"	49°11'56"
11833	MRN-10-34	"	"	1600	61°44'43"	49°11'56"
11834	MRN-10-35	"	"	1510	61°44'43"	49°11'56"
11835	MRN-10-36	"	"	1375	61°44'43"	49°11'56"
11836	MRN-10-37	"	"	1360	61°44'43"	49°11'56"
11837	MRN-10-38	"	"	1275	61°44'43"	49°11'56"
11838	MRN-10-39	"	"	1200	61°44'43"	49°11'56"
11839	MRN-10-40	"	"	1075	61°44'43"	49°11'56"
11840	MRN-10-41	"	"	1065	61°44'43"	49°11'56"
11841	MRN-10-42	"	"	1055	61°44'43"	49°11'56"
11842	MRN-10-43	"	"	1000	61°44'43"	49°11'56"
11843	MRN-10-44	"	"	930	61°44'43"	49°11'56"
11844	MRN-10-45	"	"	850	61°44'43"	49°11'56"
11845	MRN-10-46	"	"	750	61°44'43"	49°11'56"
11846	MRN-10-47	"	"	660	61°44'43"	49°11'56"
11847	MRN-10-48	"	"	590	61°44'43"	49°11'56"
11848	MRN-10-49	"	"	565	61°44'43"	49°11'56"
11849	MRN-10-50	"	"	450	61°44'43"	49°11'56"
11850	MRN-10-51	"	"	385	61°44'43"	49°11'56"
11851	MRN-10-52	"	"	365	61°44'43"	49°11'56"
11852	MRN-10-53	"	"	310	61°44'43"	49°11'56"
11853	MRN-10-54	"	"	275	61°44'43"	49°11'56"
11854	MRN-10-55	"	"	250	61°44'43"	49°11'56"
11855	MRN-10-56	"	"	230	61°44'43"	49°11'56"
11856	MRN-10-57	"	"	165	61°44'43"	49°11'56"
11857	MRN-10-58	"	"	65	61°44'43"	49°11'56"

No INRS	No MER	Division stratig.	Coupe	Niveau	Longitude	Latitude
11921	76AP23-1-2	V-s	R. Saumons		62°14'20"	49°25'06"
11922	75MP13-1-1L	"	"	0	62°14'56"	49°25'10"
11923	75MP13-L1-2	"	"	0	62°14'56"	49°25'10"
11924	75MP13-1L-1A	"	"	3.0	62°14'56"	49°25'10"
11925	75APR-3-2	"	"	8.0	62°22'52"	49°24'08"
11926	76AP-22-5-1L	"	"	24.0	62°15'06"	49°24'55"
11927	76AP22-5-2L	"	"	24.5	62°15'06"	49°24'55"
11928	76AP22-5-4L	"	"	25.8	62°15'06"	49°24'55"
11929	77AP22-7-1L	J-s	R. Jupiter	84.2	63°28'08"	49°36'02"
11930	76AP22-12-1L	V-s	R. Saumons	33.5	62°16'43"	49°24'54"
11931	76AP22-12-2L	"	"	34.8	62°16'43"	49°24'54"
11932	76AP22-12-3A	"	"	35.8	62°16'43"	49°24'54"
11933	76AP22-12-3L	"	"	35.8	62°16'43"	49°24'54"
11934	75AP22-13-1A	"	"	35.8	52°17'34"	49°24'41"
11935	76AP22-13-1L	"	"	52.0	62°17'34"	49°24'41"
11936	76AP22-13-2L	EB-m1	"	53.0	62°17'34"	49°24'41"
11937	76AP22-13-2A	"	"	53.0	62°17'34"	49°24'41"
11938	76AP22-L9-T1	"	"	54.8	62°17'03"	49°24'36"
11939	76AP22-8-2 (7 m)	"	"	59.6	62°15'54"	49°24'39"
11940	76AP22-11-1L	"	"	70.6	62°17'18"	49°24'30"
11941	76AP22-14-1A	"	"	71.0	62°17'40"	49°24'25"
11942	76AP22-14-2L1	"	"	73.0	62°17'40"	49°24'25"
11943	76AP22-14-2L2	"	"	73.0	62°17'40"	49°24'25"
11944	76AP22-15-1L	"	"	81.0	62°18'08"	49°24'23"
11945	76AP22-22-1L1	"	"	94.5	62°20'40"	49°24'30"
11946	76AP22-22-1L2	"	"	94.5	62°20'40"	49°24'30"
11947	76AP22-22-2-1L	EB-m2	"	94.7	62°20'40"	49°24'30"
11948	76AP22-16-1A	"	"	97	62°18'22"	49°24'65"
11949	76AP22-16-2L	"	"	98.0-99.0	62°18'22"	49°24'16"
11950	76AP22-23-1L1	"	"	106.2	62°21'06"	49°24'23"
11951	76AP22-23-2L1	"	"	105.6	62°21'06"	49°24'23"
11952	76AP22-23-3L1	"	"	106.0	62°21'06"	49°24'23"
11953	76AP22-23-5L	"	"	106.25	62°21'06"	49°24'23"
11954	76AP22-23-6A	EB-m3	"	107.4	62°21'06"	49°24'23"
11955	76AP22-23-8L	"	"	108.8	62°21'06"	49°24'23"
11956	76AP22-23-11B	"	"	110.0	62°21'06"	49°24'23"
11957	76LC18-22-12L	EB-m4	"	110.4	62°21'06"	49°24'23"
11958	76LC18-22-16L	"	"	112.9	62°21'06"	49°24'23"
11959	76AP22-23-17L	"	"	113.9	62°21'22"	49°24'20"
11960	76AP22-22-19L	"	"	114.8	62°21'22"	49°24'20"
11961	76AP22-22-20L	"	"	116.1	62°21'22"	49°24'20"
11962	76AP22-23-21A (LC18)	"	"	116.5	62°21'22"	49°24'20"
11963	76AP22-23-22	EB-m5	"	117.3	62°21'06"	49°24'23"

No INRS	No MER	Divtsion stratig.	Coupe	Niveau	Longitude	Latitude
11964	76AP22-23-25-2L	EB-m6	R. Saumons	120.8-121.8	62°21'06"	49°24'23"
11965	76AP22-23-25-5L	"	"	122.8	62°21'06"	49°24'23"
11966	76AP22-24-8L	"	"	120.8	62°21'40"	49°24'08"
11967	76AP22-24-0	"	"	128.75	62°21'40"	49°24'08"
11968	76AP22-25-5	EB-m7	"	128.8	62°22'02"	49°24'02"
11971	76AP22-23-P26	"	"	130.4	62°21'22"	49°24'20"
11972	76AP22-23-P27	"	"	130.4-130.95	62°21'22"	49°24'30"
11973	76AP22-28-30	"	"	138.5	62°22'52"	49°24'08"
11974	76AP22-28-105	"	"	158.0	62°22'52"	49°24'08"
11975	75APR4-2-1L	V-s	Cap aux Meules	0	62°06'11"	49°22'55"
11976	75APR4-2-1A	"	"	1.6-2.6	62°06'11"	49°22'55"
11977	75APR4-2-2L2	"	"	4.0-5.6	62°06'11"	49°22'55"
11978	75APR4-2-2L1	"	"	4.0-5.6	62°06'11"	49°22'55"
11979	75APR4-2-2L3	"	"	4.0-5.6	62°06'11"	49°22'55"
11980	75APR4-2-2L4	"	"	4.0-5.6	62°04'11"	49°22'55"
11981	75APR4-2-3L1	EB-m1(?)	"	5.6-6.6	62°06'30"	49°22'55"
11982	75APR19-1L	GR-s	F. Goélands		61°40'54"	49°08'51"
11983	77AP30-5-1	EB-m5	R. Prinsta		61°59'26"	49°20'45"

ANALYSES MINÉRALOGIQUES DES ROCHES CARBONATÉES
PAR DIFFRACTION X

Les analyses ont porté sur les pourcentages de quartz, de feldspath, de calcite et de dolomite dans les échantillons. Les résultats sont présentés, pour chaque coupe, sous forme de tableaux et de diagrammes produits par ordinateur.

Les tableaux comportent les colonnes numérotées suivantes:

- | | |
|----------------------------|-------------------------|
| 1 - numéro INRS | 5 - % feldspath sodique |
| 2 - cote de l'échantillon | 6 - % calcite |
| 3 - % quartz | 7 - % dolomite |
| 4 - % feldspath potassique | 8 - % cumulatif |

Les diagrammes répètent la cote des échantillons (colonnes de gauche) et les pourcentages de quartz, de feldspath, de calcite ou de dolomite (colonnes de droite). A noter que les diagrammes pour un minéral à valeur 0.0 pour l'entier d'une coupe ne sont pas reproduits dans la présente annexe.

Les tableaux et diagrammes se suivent dans l'ordre suivant:

	Pages
Coupe OUEST	
Tableau des pourcentages	38 à 41
Diagrammes	42 et 43
Coupe OUEST (BECSCIE)	
Tableau des pourcentages	44
Diagrammes	45
Coupe de la RIVIÈRE A L'HUILE	
Tableau des pourcentages	46
Diagrammes	46 à 48
Coupes COTE SUD-CENTRALE ET RIVIÈRE CHICOTTE	
Tableau des pourcentages	49
Diagrammes	49 et 50

Coupe Ouest

Tableau des valeurs

	1	2	3	4	5	6	7	8
1	11502,0000	491.7	2,9276	0,0000	0,0000	91,5628	0,0000	94,4905
2	11501,0000	573,6000	2,5581	0,0000	0,0000	97,4419	0,0000	100,0000
3	11500,0000	569,6000	2,0413	0,0000	0,0000	92,4680	2,9231	97,4324
4	11499,0000	559,0000	4,4972	0,0000	0,0000	74,4697	10,4052	90,2720
5	11498,0000	554,0000	1,4266	0,0000	0,0000	97,1221	0,0000	98,5487
6	11497,0000	550,9000	1,9071	0,0000	0,0000	93,5842	3,6093	99,1006
7	11496,0000	549,2000	3,7076	0,0000	0,0000	80,9386	2,0012	94,6474
8	11495,0000	540,2000	0,0000	0,0000	0,0000	98,5102	1,4898	100,0000
9	11494,0000	539,5000	2,2425	0,0000	0,0000	97,5425	0,0000	99,7850
10	11493,0000	539,2000	3,0114	0,0000	0,0000	96,9886	0,0000	100,0000
11	11492,0000	538,6000	10,1146	0,0000	3,0867	75,8710	10,9277	100,0000
12	11491,0000	537,9000	1,9395	0,0000	0,0000	92,4374	3,3503	97,7272
13	11490,0000	537,3000	22,0886	1,3692	5,6550	20,0944	49,6451	99,6523
14	11489,0000	537,2000	2,7672	0,0000	0,0000	94,4572	2,7756	100,0000
15	11488,0000	537,0000	9,8645	0,0000	0,0000	88,1456	1,9900	100,0000
16	11487,0000	536,8000	11,3286	0,0000	4,3615	64,4829	16,0945	96,2676
17	11486,0000	536,8000	14,8862	0,0000	3,8850	47,8032	28,3856	100,0000
18	11485,0000	536,6000	22,2890	.9741	4,4969	18,1913	54,0487	100,0000
19	11484,0000	534,0000	14,1623	0,0000	1,7122	54,3895	10,1554	80,4194
20	11483,0000	533,2000	10,2111	0,0000	0,0000	69,3653	8,5221	88,0985
21	11482,0000	528,6000	3,6126	0,0000	0,0000	95,0053	1,3821	100,0000
22	11480,0000	521,5000	3,8969	0,0000	0,0000	83,9455	0,0000	87,8424
23	11479,0000	521,5000	3,1210	0,0000	0,0000	94,3776	1,3053	98,8018
24	11478,0000	521,5000	1,7944	0,0000	0,0000	84,5977	1,2277	87,6198
25	11477,0000	521,5000	3,4837	0,0000	0,0000	88,9657	0,0000	92,4494
26	11476,0000	519,8000	13,7701	0,0000	3,9738	43,2929	4,7500	65,7868
27	11475,0000	519,5000	4,5455	0,0000	0,0000	76,1340	1,2902	81,9697
28	11474,0000	511,7000	3,4387	0,0000	0,0000	81,1460	0,0000	84,5847
29	11473,0000	510,7000	5,1202	.8586	1,8543	81,3999	1,6736	90,9065
30	11472,0000	509,2000	4,1749	0,0000	0,0000	90,6633	0,0000	94,8382
31	11471,0000	508,3000	7,6955	0,0000	0,0000	59,8594	5,1696	72,7245

Coupe Ouest (suite)

Tableau des valeurs (suite)

	1	2	3	4	5	6	7	8
32	11470.0000	495.7000	3.4162	0.0000	0.0000	84.5570	4.2975	92.2730
33	11469.0000	495.7000	3.9740	0.0000	0.0000	82.7841	5.8076	90.4857
34	11468.0000	485.3000	2.5020	0.0000	.9366	95.3802	1.1812	100.0000
35	11467.0000	474.0000	2.3034	0.0000	0.0000	92.3460	3.0665	97.7159
36	11466.0000	472.3000	3.0628	0.0000	0.0000	84.3556	0.0000	92.4185
37	11465.0000	472.1000	.8551	0.0000	0.0000	94.1449	0.0000	100.0000
38	11464.0000	472.1000	9.6441	0.0000	1.9261	64.2046	2.2369	78.0168
39	11463.0000	472.1000	10.0206	0.0000	2.2339	45.5443	2.5436	60.3474
40	11462.0000	468.2000	1.9449	0.0000	0.0000	95.6479	0.0000	97.5979
41	11461.0000	467.9000	5.7239	0.0000	0.0000	77.9703	0.0000	85.6942
42	11460.0000	465.7000	9.6515	0.0000	2.4715	79.8659	0.0000	91.9889
43	11459.0000	464.6000	14.2903	0.0000	4.3472	54.1080	6.0799	78.8254
44	11457.0000	463.3000	3.8577	0.0000	0.0000	87.4103	1.3112	92.5792
45	11456.0000	460.0000	3.7207	0.0000	0.0000	83.2803	2.2247	89.2307
46	11458.0000	464.6000	4.9269	0.0000	3.2659	84.9145	1.4806	99.5879
47	11455.0000	459.3000	2.7386	0.0000	1.5731	95.6883	0.0000	100.0000
48	11450.0000	436.2000	15.4443	0.0000	8.1086	48.7290	27.7181	100.0000
49	11449.0000	434.5000	7.2278	0.0000	4.0173	80.0290	1.6483	92.9225
50	11448.0000	434.5000	6.4415	0.0000	0.0000	5.9390	4.7312	17.1116
51	11447.0000	428.1000	1.9996	0.0000	4.0001	94.0003	0.0000	100.0000
52	11446.0000	426.6000	2.4304	0.0000	1.8086	91.0159	0.0000	95.2549
53	11445.0000	423.6000	2.0117	0.0000	0.0000	95.8366	0.0000	97.8483
54	11444.0000	412.0000	2.6221	0.0000	1.0472	94.7383	0.0000	98.4076
55	11443.0000	416.2000	1.1183	0.0000	0.0000	93.9884	0.0000	95.1066
56	11442.0000	416.2000	3.3218	0.0000	0.0000	91.3375	2.5986	97.2579
57	11441.0000	411.2000	2.2563	0.0000	.7446	87.8429	1.9235	92.7674
58	11440.0000	411.2000	.3467	0.0000	0.0000	94.6533	0.0000	100.0000
59	11439.0000	410.2000	4.5043	0.0000	2.1702	91.8288	0.0000	98.5083
60	11438.0000	410.2000	6.7522	0.0000	2.1319	81.3188	9.4867	99.6846
61	11437.0000	405.7000	.7527	0.0000	0.0000	99.2473	0.0000	100.0000
62	11436.0000	405.7000	2.1466	0.0000	0.0000	93.6408	4.2126	100.0000
63	11435.0000	402.9000	.9774	0.0000	0.0000	97.1015	1.4261	94.5050
64	11434.0000	400.9000	0.0000	0.0000	0.0000	100.0000	0.0000	100.0000

Coupe Ouest (suite)

Tableau des valeurs (suite)

	1	2	3	4	5	6	7	8
65	11433,0000	400,9000	0,0000	0,0000	0,0000	98,3700	1,0220	100,0000
66	11452,0000	399,9000	4,8691	0,0000	1,5900	85,5016	7,1005	99,1415
67	11431,0000	395,9000	2,0538	0,0000	0,0000	89,1588	8,7873	100,0000
68	11431,0000	395,9000	3,2309	0,0000	1,7318	85,8590	9,1784	100,0000
69	11430,0000	379,9000	1,3984	0,0000	0,0000	90,7870	0,0000	90,1854
70	11429,0000	338,9000	,8121	0,0000	0,0000	99,1879	0,0000	100,0000
71	11427,0000	338,9000	1,1030	0,0000	0,0000	90,8370	2,0600	100,0000
72	11426,0000	325,2000	3,9515	0,0000	2,3126	91,1284	2,6075	100,0000
73	11425,0000	325,2000	,9692	0,0000	0,0000	94,0671	0,0000	95,0363
74	11424,0000	320,4000	5,3852	0,0000	0,0000	85,7547	4,0312	95,1710
75	11423,0000	311,1000	2,4854	0,0000	0,0000	89,9418	1,8683	94,2955
76	11422,0000	311,1000	3,5686	0,0000	0,0000	82,3814	5,4169	91,3669
77	11421,0000	308,1000	0,0000	0,0000	0,0000	100,0000	0,0000	100,0000
78	11420,0000	303,3000	2,1544	0,0000	0,0000	78,0716	1,6124	81,8384
79	11419,0000	293,6000	9,7383	0,0000	1,9069	81,2454	7,1094	100,0000
80	11418,0000	292,8000	1,2481	0,0000	0,0000	98,7519	0,0000	100,0000
81	11418,0000	292,8000	1,2004	0,0000	0,0000	98,7996	0,0000	100,0000
82	11417,0000	286,3000	4,9330	0,0000	0,0000	84,7058	3,2887	92,9275
83	11416,0000	283,0000	2,0751	0,0000	0,0000	97,9249	0,0000	100,0000
84	11415,0000	278,8000	9,1834	0,0000	0,0000	83,4680	0,0000	92,6514
85	11414,0000	257,1000	10,6329	0,0000	2,6105	69,0795	17,6770	100,0000
86	11414,0000	257,1000	10,9805	0,0000	2,3144	67,6151	17,6224	98,5324
87	11413,0000	257,1000	1,3674	0,0000	0,0000	79,5872	19,0454	100,0000
88	11412,0000	252,0000	3,1397	0,0000	0,0000	94,8834	1,9769	100,0000
89	11411,0000	248,8000	3,1868	0,0000	0,0000	96,8132	0,0000	100,0000
90	11410,0000	244,6000	4,6124	0,0000	1,8022	91,4720	2,1134	100,0000
91	11409,0000	232,5000	8,0212	0,0000	0,0000	80,2347	3,4017	91,6575
92	11408,0000	227,6000	3,1844	0,0000	0,0000	94,3659	0,0000	97,5503
93	11407,0000	224,4000	2,0222	0,0000	0,0000	95,5602	0,0000	97,5824
94	11406,0000	221,3000	4,7378	0,0000	0,0000	87,6059	2,4399	94,7836
95	11405,0000	221,3000	5,0867	0,0000	0,0000	80,0679	2,8268	87,9814
96	11403,0000	154,4000	0,0000	0,0000	0,0000	98,7366	0,0000	98,7366
97	11403,0000	154,4000	0,0000	0,0000	0,0000	98,4432	1,5568	100,0000

Coupe Ouest (fin)

Tableau des valeurs (fin)

	1	2	3	4	5	6	7	8
98	11404'.0000	146.5000	21.8631	0.0000	6.2804	62.4699	8.1757	98.7891
99	11402'.0000	146.5000	2.2278	0.0000	2.8363	90.0066	0.0000	95.0707
100	11402'.0000	146.5000	3.6789	0.0000	0.0000	82.4866	0.0000	86.1655
101	11402'.0000	146.5000	2.9108	0.0000	0.0000	80.1122	0.0000	83.0230
102	11401'.0000	146.5000	4.6474	0.0000	0.0000	92.6770	2.6756	100.0000
103	11400'.0000	141.9000	3.7462	0.0000	0.0000	85.7504	2.5469	92.0435
104	11399'.0000	134.2000	3.5730	0.0000	0.0000	88.6127	2.2355	94.4211
105	11398'.0000	134.2000	1.5970	0.0000	0.0000	98.4030	0.0000	100.0000
106	11397'.0000	133.8000	1.3816	0.0000	0.0000	93.7291	0.0000	95.1107
107	11396'.0000	133.8000	3.9105	0.0000	1.5006	86.9123	0.0000	92.3234
108	11395'.0000	126.9000	.7531	0.0000	0.0000	90.8097	0.0000	91.5628
109	11394'.0000	121.4000	4.4492	0.0000	1.8171	87.2718	2.3683	95.9064
110	11393'.0000	109.4000	6.9378	0.0000	0.0000	88.7155	4.3467	100.0000
111	11392'.0000	63.5000	8.6825	0.0000	1.9606	69.1212	8.4250	88.1892
112	11391'.0000	62.0000	2.0378	0.0000	0.0000	95.5011	1.7899	99.3289
113	11390'.0000	53.2000	3.6860	0.0000	.5452	92.9227	.8564	98.0106
114	11389'.0000	49.6000	1.6544	0.0000	0.0000	89.6711	8.6746	100.0000
115	11388'.0000	40.0000	7.5362	0.0000	1.0710	66.9676	3.5524	79.1272
116	11387'.0000	37.9000	1.6839	0.0000	0.0000	93.8155	0.0000	95.4994
117	11386'.0000	26.3000	2.6171	0.0000	0.0000	84.1567	4.1902	90.9641
118	11385'.0000	20.3000	3.5244	0.0000	0.0000	90.3025	1.4794	95.3063
119	11384'.0000	20.3000	5.5564	0.0000	0.0000	89.4469	0.0000	95.0033
120	11383'.0000	20.3000	8.4268	0.0000	0.0000	54.6792	2.3747	65.4807
121	11382'.0000	17.0000	1.8283	0.0000	0.0000	87.8766	0.0000	89.7049
122	11381'.0000	8.2000	5.1593	0.0000	0.0000	88.4361	2.9565	96.5520
123	11380'.0000	5.7000	2.1185	0.0000	.8142	85.7869	0.0000	88.7197
124	11379'.0000	5.0000	3.2549	0.0000	0.0000	93.2035	1.0311	97.5295

Diagrammes des valeurs

Coupe Ouest (suite)

0,0000			11,1045	22,2090	0,0000			4,0503	8,1006
[.....]					[.....]				
491.7	2.9276	T.....			491.7	0.0000	T		
473.0	2.4541	T.....			473.0	0.0000	T		
460.0	2.0013	T.....			460.0	0.0000	T		
449.0	1.6972	T.....			449.0	0.0000	T		
436.0	1.4266	T.....			436.0	0.0000	T		
420.0	1.1971	T.....			420.0	0.0000	T		
400.2	1.0076	T.....			400.2	0.0000	T		
380.2	0.8000	T			380.2	0.0000	T		
370.3	2.7025	T.....			370.3	0.0000	T		
350.2	3.0110	T.....			350.2	0.0000	T		
330.0	10.1140	T.....			330.0	3.0807	T.....		
317.0	1.3350	T.....			317.0	0.0000	T		
317.3	22.0000	T.....			317.3	5.0550	T.....		
317.2	2.7072	T.....			317.2	0.0000	T		
317.0	4.0000	T.....			317.0	0.0000	T		
310.0	11.3200	T.....			310.0	0.0000	T		
310.0	19.0000	T.....			310.0	4.3015	T.....		
310.0	22.2090	T.....			310.0	3.2850	T.....		
310.0	10.1025	T.....			310.0	0.0000	T		
313.2	10.7111	T.....			313.2	1.7172	T.....		
320.0	3.6120	T.....			320.0	0.0000	T		
321.3	3.0000	T.....			320.0	0.0000	T		
321.3	3.1210	T.....			321.3	0.0000	T		
321.5	1.7000	T.....			321.5	0.0000	T		
321.5	3.0037	T.....			321.5	0.0000	T		
310.0	13.7701	T.....			310.0	3.0738	T.....		
310.5	4.5055	T.....			310.5	0.0000	T		
310.7	3.0000	T.....			310.7	0.0000	T		
310.7	5.1202	T.....			310.7	1.0503	T.....		
300.2	4.1700	T.....			300.2	0.0000	T		
300.3	7.6055	T.....			300.3	0.0000	T		
295.7	3.4152	T.....			295.7	0.0000	T		
295.7	3.0000	T.....			295.7	0.0000	T		
295.3	2.5020	T.....			295.3	0.0000	T		
270.0	2.3034	T.....			270.0	0.0000	T		
272.3	3.0020	T.....			272.3	0.0000	T		
272.1	4.5551	T			272.1	0.0000	T		
272.1	4.0000	T.....			272.1	1.0000	T.....		
260.0	10.0000	T.....			272.1	2.2339	T.....		
267.0	1.0000	T.....			260.2	0.0000	T		
267.0	5.7230	T.....			267.0	0.0000	T		
265.7	4.6515	T.....			265.7	2.0715	T.....		
260.0	10.2003	T.....			260.0	4.3072	T.....		
263.3	3.0577	T.....			263.3	0.0000	T		
260.0	3.7000	T.....			260.0	0.0000	T		
260.0	6.0000	T.....			260.0	3.2050	T.....		
250.3	2.7300	T.....			250.3	1.5731	T.....		
250.2	15.0003	T.....			250.2	0.1000	T.....		
250.5	7.2070	T.....			250.5	0.0173	T.....		
250.5	0.0015	T.....			250.5	0.0000	T		
250.1	1.0000	T.....			250.1	0.0000	T		
250.0	2.0000	T.....			250.0	0.0000	T		
223.0	2.0117	T.....			223.0	1.0000	T.....		
212.0	2.0221	T.....			212.0	1.0072	T.....		
210.2	1.1103	T			210.2	0.0000	T		
210.2	3.3210	T.....			210.2	0.0000	T		
211.2	2.2503	T.....			211.2	0.0000	T		
211.2	1.5007	T			211.2	0.0000	T		
210.2	4.5003	T.....			210.2	2.1702	T.....		
210.2	6.7522	T.....			210.2	2.1319	T.....		
205.7	7.7527	T			205.7	0.0000	T		
205.7	2.1000	T.....			205.7	0.0000	T		
202.0	1.0000	T			202.0	0.0000	T		
200.0	0.0000	T			200.0	0.0000	T		
200.0	0.0000	T			200.0	0.0000	T		
200.0	0.0000	T			200.0	1.5000	T.....		
200.0	0.0000	T			200.0	0.0000	T		
200.0	2.0538	T.....			200.0	1.7310	T.....		
200.0	3.2000	T.....			200.0	0.0000	T		
200.0	1.3000	T.....			200.0	0.0000	T		
200.0	4.1210	T			200.0	0.0000	T		
200.0	1.1030	T.....			200.0	0.0000	T		
225.2	3.0515	T.....			225.2	2.3120	T.....		
225.2	0.0002	T			225.2	0.0000	T		
220.0	5.3052	T.....			220.0	0.0000	T		
311.1	2.0050	T.....			311.1	0.0000	T		
311.1	3.5000	T.....			311.1	0.0000	T		
300.1	0.0000	T			300.1	0.0000	T		
303.3	2.1500	T.....			303.3	0.0000	T		
295.0	9.7003	T.....			295.0	0.0000	T		
292.0	1.0000	T.....			292.0	0.0000	T		
292.0	1.0000	T.....			292.0	0.0000	T		
290.3	4.0330	T.....			290.3	0.0000	T		
283.0	2.0751	T.....			283.0	0.0000	T		
270.0	4.1030	T.....			270.0	0.0000	T		
257.1	10.0000	T.....			257.1	2.0105	T.....		
257.1	10.0000	T.....			257.1	2.3100	T.....		
257.1	1.3070	T.....			257.1	0.0000	T		
252.0	3.1307	T.....			252.0	0.0000	T		
240.0	3.1000	T.....			240.0	0.0000	T		
240.0	0.0120	T.....			240.0	1.0022	T.....		
232.5	0.0212	T.....			232.5	0.0000	T		
227.0	1.1000	T.....			227.0	0.0000	T		
220.0	2.0222	T.....			220.0	0.0000	T		
221.3	4.7370	T.....			221.3	0.0000	T		
221.3	5.0007	T.....			221.3	0.0000	T		
150.0	0.0000	T			150.0	0.0000	T		
150.0	5.0000	T			150.0	0.0000	T		
140.5	21.0031	T.....			140.5	0.2000	T.....		
140.5	2.2270	T.....			140.5	2.3303	T.....		
140.5	3.0700	T.....			140.5	0.0000	T		
140.5	2.0100	T.....			140.5	0.0000	T		
140.5	0.0070	T.....			140.5	0.0000	T		
141.0	1.7002	T.....			141.0	0.0000	T		
130.2	3.5730	T.....			130.2	0.0070	T.....		
130.2	1.0070	T.....			130.2	0.0000	T		
133.0	1.3010	T.....			133.0	0.0000	T		
133.0	3.4105	T.....			133.0	1.5000	T.....		
120.0	0.7531	T			120.0	0.0000	T		
121.0	0.0002	T.....			121.0	0.0000	T		
100.0	0.0570	T.....			100.0	1.0171	T.....		
03.5	0.0025	T.....			03.5	0.0000	T		
02.3	2.0370	T.....			02.3	0.0000	T		
00.0	3.0000	T.....			00.0	0.0000	T		
00.0	1.0500	T.....			00.0	0.0000	T		
00.0	7.5302	T.....			00.0	1.0710	T.....		
37.0	1.0030	T.....			37.0	0.0000	T		
20.3	2.0171	T.....			20.3	0.0000	T		
20.3	3.5200	T.....			20.3	0.0000	T		
20.3	5.5500	T.....			20.3	0.0000	T		
20.3	0.0000	T.....			20.3	0.0000	T		
17.0	1.0203	T.....			17.0	0.0000	T		
02.2	5.1503	T.....			02.2	0.0000	T		
5.7	2.1105	T.....			5.7	0.0000	T		
5.0	3.7500	T.....			5.0	0.0000	T		

QUARTZ

FELDSPATH
SODIQUE

Coupe Ouest (Becscie)

Tableau des valeurs

	1	2	3	4	5	6	7	8
1	11559,0000	506.4 (1)	1.4484	0,0000	0,0000	91,7341	1,3030	94,4859
2	11554,0000	506.4	4.9937	0,0000	0,0000	92,3441	2,4102	100,0000
3	11553,0000	581.2	13.4193	0,0000	2,0807	91,1551	3,3430	100,0000
4	11552,0000	679,9000	1,7700	0,0000	0,0000	95,5501	2,0733	100,0000
5	11551,0000	667,9000	1,5371	0,0000	0,0000	97,4430	6791	100,0000
6	11550,0000	667,9000	1,7700	0,0000	0,0000	88,7210	9,4197	100,0000
7	11549,0000	666,9000	4,6255	0,0000	0,0000	92,4003	11,2557	98,5476
8	11548,0000	658,9000	2,0978	0,0000	0,0000	97,0623	8842	100,0000
9	11547,0000	651,9000	1,7502	0,0000	0,0000	96,9163	1,1410	99,4479
10	11546,0000	690,9000	2,1329	0,0000	0,0000	96,3503	1,8160	100,0000
11	11545,0000	649,9000	4,2717	0,0000	0,0000	97,4272	9,7310	97,4308
12	11544,0000	649,9000	6,0317	0,0000	2,0719	93,5530	8,3435	100,0000
13	11543,0000	615,7000	2,3021	0,0000	0,0000	95,2921	9,0000	97,5902
14	11542,0000	615,7000	3,0000	0,0000	0,0000	98,7004	1,2538	100,0000
15	11541,0000	630,9000	1,1911	0,0000	0,0000	97,7369	1,0720	100,0000
16	11540,0000	626,5000	1,0098	0,0000	0,0000	93,3098	4,2998	93,4090
17	11539,0000	616,3000	0,3000	0,0000	0,0000	97,3000	2,0332	100,0000
18	11537,0000	611,1000	1,1040	0,0000	0,0000	94,9000	0,3000	100,0000
19	11536,0000	605,9000	3,0000	0,0000	0,0000	94,2015	5,7505	100,0000
20	11535,0000	604,7000	4,429	0,0000	0,0000	96,1516	3,3055	100,0000
21	11534,0000	603,7000	7,7471	0,0000	0,0000	99,2329	0,3000	100,0000
22	11533,0000	602,6000	0,3000	0,0000	0,0000	100,3000	0,3000	100,0000
23	11532,0000	602,3000	1,8255	0,0000	0,0000	90,7090	7,4050	100,0000
24	11531,0000	601,3000	1,9003	0,0000	0,0000	90,3300	7,0951	100,0000
25	11530,0000	601,3000	0,3000	0,0000	0,0000	98,4351	1,5000	100,0000
26	11529,0000	600,0000	2,5802	0,0000	2,7553	82,3901	11,7000	100,0000
27	11528,0000	599,0000	4,2991	0,0000	1,5077	94,5500	9,0000	100,0000
28	11527,0000	598,0000	6,0000	0,0000	0,0000	96,3139	9,2170	100,0000
29	11526,0000	598,0000	7,0317	0,0000	0,0000	90,3523	2,5000	100,0000
30	11525,0000	598,0000	5,3005	0,0000	0,0000	91,5311	0,0000	96,7076
31	11524,0000	595,0000	2,0912	0,0000	0,0000	92,8750	4,2300	99,2110
32	11523,0000	595,0000	3,0000	0,0000	0,0000	97,3300	2,0010	100,0000
33	11522,0000	596,0000	1,5000	0,0000	0,0000	92,6532	7,1030	91,5200
34	11521,0000	596,0000	5,2228	0,0000	0,0000	98,2007	15,9705	99,0000
35	11520,0000	596,5000	2,5749	0,0000	0,0000	96,7110	2,7137	100,0000
36	11519,0000	596,0000	7,1111	0,0000	0,0000	90,1009	2,7297	100,0000
37	11518,0000	596,5000	2,0736	0,0000	0,0000	95,2007	2,0370	100,0000
38	11517,0000	596,2000	4,4721	0,0000	0,0000	92,9000	2,5293	100,0000
39	11516,0000	595,3000	1,9789	0,0000	0,0000	91,4700	0,0000	93,0000
40	11515,0000	579,7000	1,8000	0,0000	0,0000	95,4700	2,9797	100,0000
41	11514,0000	575,7000	3,4305	0,0000	0,0000	96,5215	1,2710	99,0230
42	11513,0000	571,3000	1,1997	0,0000	0,9202	96,7093	1,8000	100,0000
43	11512,0000	569,9000	3,7000	0,0000	1,1193	99,1000	0,5000	93,0000
44	11511,0000	567,1000	4,1021	0,0000	0,0000	95,6179	0,3000	100,0000
45	11510,0000	566,3000	2,2735	0,0000	0,0000	97,7205	0,3000	100,0000
46	11509,0000	559,7000	3,3097	0,0000	3,3165	97,7000	9,0073	100,0000
47	11508,0000	597,0000	2,2259	0,0000	0,0000	96,5200	0,3000	98,7500
48	11507,0000	596,0000	6,0300	0,0000	1,7054	80,2170	4,3090	99,1072
49	11506,0000	594,9000	14,7750	0,0000	3,2000	70,4520	3,1719	99,2000
50	11505,0000	539,2000	5,3003	0,0000	1,5319	91,0000	0,3000	97,9790
51	11504,0000	539,3000	7,0000	0,0000	0,0000	96,3023	0,3000	96,1121
52	11503,0000	538,0000	10,1736	0,0000	5,2253	92,7020	12,3005	100,0000

1) Formations de Vauréal et d'Ellis Bay.

Diagrammes des valeurs Coupe Ouest (Beccsie)

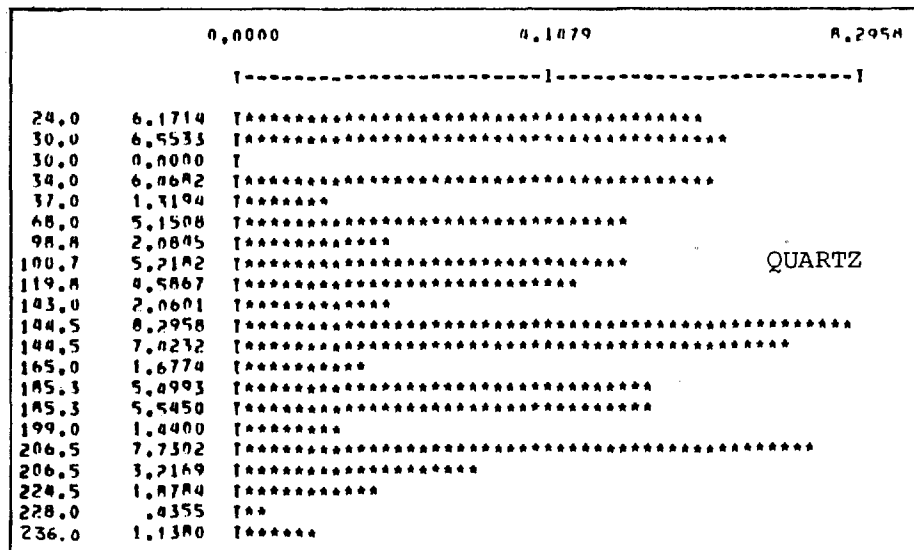
0,0000		9,5660	19,1336	0,0000		2,6127	5,2253
[-----]				[-----]			
386.4	1,4484	I***		0,0000	I		
386.4	4,4937	I*****		0,0000	I		
381.2	13,4153	I*****		2,0867	I*****		
669.9	1,7760	I***		0,0000	I		
667.9	1,5371	I***		0,0000	I		
667.9	1,7760	I***		0,0000	I		
666.9	4,0855	I*****		0,0000	I		
654.9	2,0970	I*****		0,0000	I		
651.9	1,7502	I***		0,0000	I		
650.9	2,3125	I*****		0,0000	I		
649.9	4,2717	I*****		0,0000	I		
649.9	6,0317	I*****		2,0719	I*****		
635.7	2,3021	I*****		0,0000	I		
635.7	0,0000	I		0,0000	I		
630.9	1,1911	I***		0,0000	I		
626.5	1,6098	I****		0,0000	I		
616.3	0,0000	I		0,0000	I		
611.1	1,1000	I**		0,0000	I		
605.9	0,0000	I		0,0000	I		
604.7	4,629	I*	QUARTZ	0,0000	I	FELDSPATH SODIQUE	
603.7	7,7071	I**		0,0000	I		
602.8	0,0000	I		0,0000	I		
602.6	1,4255	I****		0,0000	I		
601.8	1,0043	I*****		0,0000	I		
601.0	0,0000	I		0,0000	I		
600.0	2,4082	I*****		0,0000	I		
599.0	4,2001	I*****		2,7553	I*****		
598.0	4,668	I*		1,4077	I*****		
598.0	7,0637	I*****		0,0000	I		
596.0	5,4065	I*****		0,0000	I		
595.0	2,6912	I*****		0,0000	I		
595.0	0,0000	I		0,0000	I		
594.6	1,4686	I****		3,0000	I		
594.6	5,2220	I*****		0,0000	I		
594.5	2,5749	I*****		0,0000	I		
594.4	7,1111	I*****		0,0000	I		
594.3	2,0730	I*****		0,0000	I		
594.2	4,4721	I*****		0,0000	I		
595.0	1,0749	I*****		0,0000	I		
579.7	1,4000	I***		0,0000	I		
575.7	3,4305	I*****		0,0000	I		
571.3	1,1947	I***		0,0000	I		
569.9	3,7469	I*****		1,1193	I*****		
567.1	4,1621	I*****		0,0000	I		
564.3	2,2735	I*****		0,0000	I		
559.7	3,3097	I*****		3,0145	I*****		
557.6	2,2259	I*****		0,0000	I		
556.4	4,4386	I*****		1,7458	I*****		
549.9	10,7750	I*****		3,2406	I*****		
539.2	5,3843	I*****		1,4315	I*****		
539.0	7,8498	I**		0,0000	I		
538.4	19,1736	I*****		5,2253	I*****		

0,0000		50,0000	100,0000	0,0000		22,9882	45,4765
[-----]				[-----]			
384.4	91,7341	I*****		1,3034	I*		
384.4	52,3961	I*****		2,6102	I**		
381.2	81,1551	I*****		3,3430	I**		
669.9	95,5501	I*****		2,6733	I**		
667.9	97,4638	I*****		0,9781	I*		
667.9	88,7818	I*****		9,4397	I*****		
666.9	82,4043	I*****		11,2557	I*****		
654.9	97,4623	I*****		4,402	I		
651.9	96,9163	I*****		1,1814	I*		
650.9	96,0503	I*****		1,1408	I*		
649.9	87,4272	I*****		5,7318	I*****		
649.9	83,5530	I*****		8,3435	I*****		
635.7	95,2971	I*****		0,0000	I		
635.7	88,7494	I*****		1,9536	I*		
633.9	97,7365	I*****		1,7224	I*		
626.5	93,0494	I*****		4,2896	I****		
616.3	97,3066	I*****		2,6332	I**		
611.1	98,4960	I*****		0,0000	I		
605.9	94,2415	I*****		5,7845	I*****		
604.7	96,1510	I*****		3,3645	I***		
603.7	94,3139	I*****		0,0000	I		
602.8	100,0000	I*****		0,0000	I		
602.6	60,7494	I*****		7,0050	I*****		
601.8	60,1360	I*****		7,6991	I*****		
601.0	98,4451	I*****		1,5649	I*		
600.0	82,4001	I*****		11,7064	I*****		
599.0	86,5504	I*****		5,4428	I*****		
598.0	94,3134	I*****		5,2174	I*****		
598.0	90,3523	I*****		2,5641	I**		
596.0	91,4311	I*****		0,0000	I		
595.0	82,7550	I*****		0,2308	I***		
595.0	97,134	I*****		2,6614	I**		
594.6	82,4532	I*****		7,1933	I*****		
594.6	48,2907	I*****	CALCITE	45,9765	I*****	DOLOMITE	
594.5	94,7114	I*****		2,7137	I**		
594.4	90,1605	I*****		2,7243	I**		
594.3	95,2847	I*****		2,6376	I**		
594.2	92,4946	I*****		2,4293	I**		
595.0	91,4780	I*****		0,0000	I		
579.7	95,4782	I*****		2,6757	I**		
575.7	84,5215	I*****		1,0714	I*		
571.3	96,0093	I*****		1,4668	I**		
569.9	84,1405	I*****		0,0000	I		
567.1	95,4179	I*****		0,0000	I		
564.3	97,7265	I*****		0,0000	I		
559.7	87,7645	I*****		5,4073	I*****		
557.6	96,5250	I*****		0,0000	I		
556.4	87,2176	I*****		4,345	I*****		
549.9	78,0524	I*****		1,1710	I**		
539.2	91,4596	I*****		0,0000	I		
539.0	98,3423	I*****		0,0000	I		
538.4	42,7520	I*****		32,4645	I*****		

Tableau des valeurs Coupe de la Rivière à l'Huile

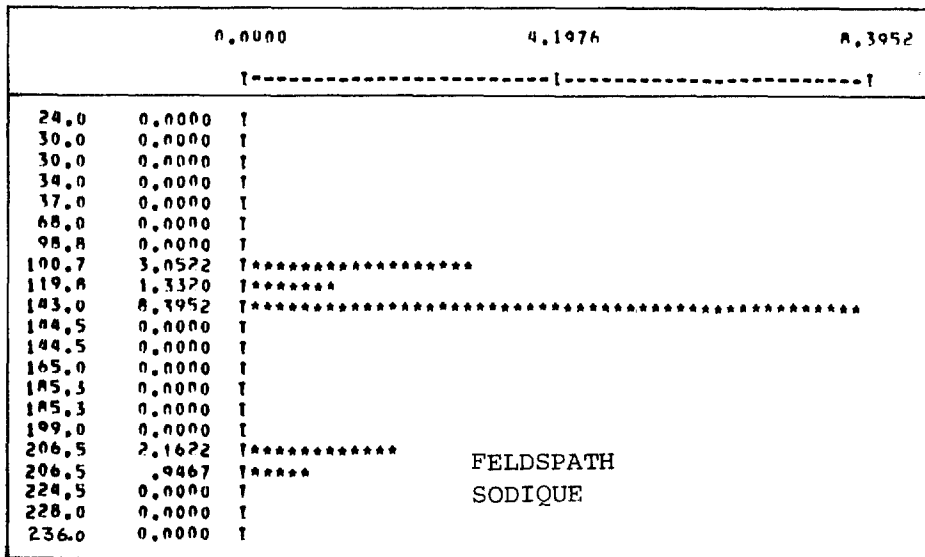
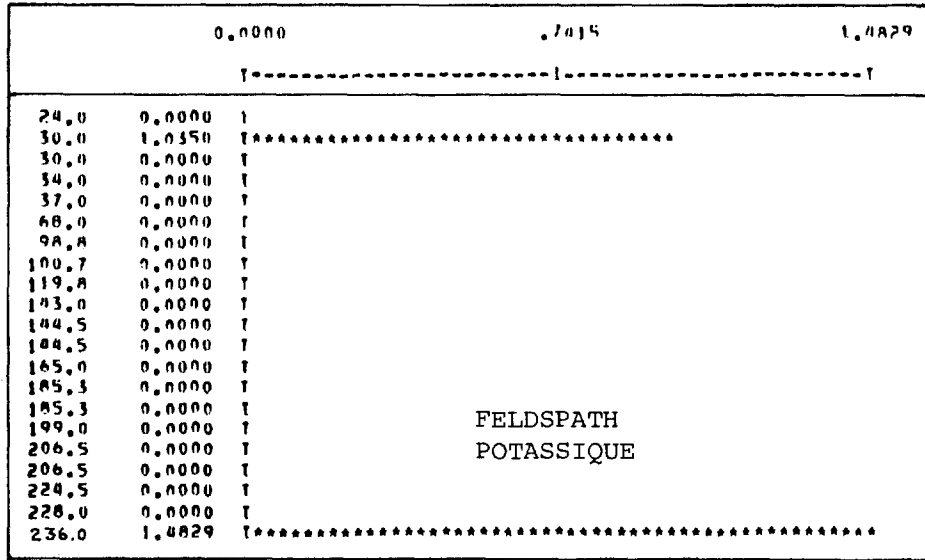
	1	2	3	4	5	6	7	8
1	11557,0000	24,0000	6,1714	0,0000	0,0000	82,8500	1,5043	90,5257
2	11558,0000	30,0000	6,5533	1,0350	0,0000	76,2257	3,5393	87,3533
3	11559,0000	30,0000	0,0000	0,0000	0,0000	94,4549	0,0000	94,4599
4	11560,0000	34,0000	6,4682	0,0000	0,0000	87,9936	5,5382	100,0000
5	11561,0000	37,0000	1,3194	0,0000	0,0000	98,6806	0,0000	100,0000
6	11562,0000	68,0000	5,1508	0,0000	0,0000	87,9040	2,3037	95,3985
7	11564,0000	98,8000	2,0845	0,0000	0,0000	94,7860	0,0000	96,8705
8	11565,0000	100,7000	5,2182	0,0000	3,0522	88,4013	0,0000	96,7118
9	11566,0000	119,8000	4,5867	0,0000	1,3320	89,1490	3,7870	98,8548
10	11567,0000	143,0000	2,0601	0,0000	8,3952	89,5446	0,0000	100,0000
11	11568,0000	144,5000	8,2958	0,0000	0,0000	58,1957	6,3867	72,8782
12	11569,0000	144,5000	7,4232	0,0000	0,0000	51,4735	4,1944	63,0911
13	11570,0000	165,0000	1,6774	0,0000	0,0000	98,3226	0,0000	100,0000
14	11571,0000	185,3000	5,4993	0,0000	0,0000	92,9465	1,5542	100,0000
15	11572,0000	185,3000	5,5450	0,0000	0,0000	87,8334	2,6579	96,0363
16	11573,0000	199,0000	1,4400	0,0000	0,0000	98,5600	0,0000	100,0000
17	11574,0000	206,5000	7,7302	0,0000	2,1622	77,7598	5,2592	92,9114
18	11575,0000	206,5000	3,2169	0,0000	,9467	89,7025	0,0000	93,8662
19	11576,0000	224,5000	1,8784	0,0000	0,0000	96,5897	1,5319	100,0000
20	11577,0000	228,0000	,4355	0,0000	0,0000	83,9173	3,7548	88,1076
21	11578,0000	236,0	1,1380	1,4829	0,0000	90,9393	0,0000	93,5602

Diagrammes des valeurs



Coupe de la Rivière à l'Huile (suite)

Diagrammes des valeurs (suite)



Coupe de la Rivière à l'Huile (fin)

Diagrammes des valeurs (fin)

	0,0000	3,1930	6,3867
	----- -----		
24,0	1,5043	*****	
30,0	3,5393	*****	
30,0	0,0000		
34,0	5,5382	*****	
37,0	0,0000		
68,0	2,3437	*****	
98,8	0,0000		
100,7	0,0000		CALCITE
119,8	3,7870	*****	
143,0	0,0000		
144,5	6,3867	*****	
144,5	4,1944	*****	
165,0	0,0000		
185,3	1,5542	*****	
185,3	2,6579	*****	
199,0	0,0000		
206,5	5,2592	*****	
206,5	0,0000		
224,5	1,5319	*****	
228,0	3,7548	*****	
236,0	0,0000		

	0,0000	49,3403	98,6806
	----- -----		
24,0	82,8500	*****	
30,0	76,2257	*****	
30,0	94,0599	*****	
34,0	87,9916	*****	
37,0	98,6806	*****	
68,0	87,9040	*****	
98,8	94,7860	*****	
100,7	88,0413	*****	
119,8	89,1490	*****	
143,0	89,5406	*****	
144,5	58,1957	*****	
144,5	51,4735	*****	
165,0	98,3226	*****	
185,3	92,9465	*****	
185,3	87,8334	*****	
199,0	98,5600	*****	
206,5	77,7598	*****	
206,5	89,7025	*****	
224,5	96,5897	*****	
228,0	81,9173	*****	
236,0	90,9393	*****	

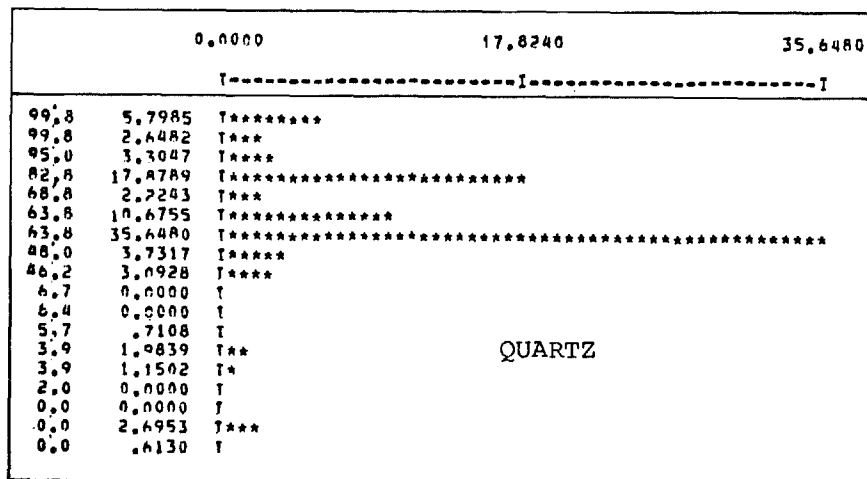
DOLOMITE

Coupe de la Côte Sud-Centrale (échantillons 1 à 9)
 Coupe de la Rivière Chicotte (échantillons 10 à 18)

Tableau des valeurs

	1	2	3	4	5	6	7	8
1	11674.0000	99.8000	5.7985	0.0000	0.0000	70.1568	0.0000	75.9533
2	11673.0000	99.8000	2.6482	0.0000	0.0000	76.7227	0.0000	79.3710
3	11672.0000	95.0000	3.3047	0.0000	0.0000	70.8155	0.0000	74.1202
4	11671.0000	82.8000	17.8789	0.0000	0.0000	10.5965	6.2498	34.7252
5	11670.0000	68.8000	2.2243	0.0000	0.0000	77.6984	3.1923	83.1150
6	11669.0000	63.8000	10.6755	0.0000	0.0000	4.7348	0.0000	15.4103
7	11668.0000	63.8000	35.6480	0.0000	0.0000	15.1604	20.6067	71.4151
8	11667.0000	48.0000	3.7317	0.0000	0.0000	79.9509	2.5323	86.2149
9	11666.0000	46.2000	3.0928	0.0000	0.0000	77.9406	8.8643	89.8977
10	11652.0000	6.7000	0.0000	0.0000	0.0000	97.4971	2.5029	100.0000
11	11651.0000	6.4000	0.0000	0.0000	0.0000	81.4088	12.0259	93.4348
12	11650.0000	5.7000	.7108	0.0000	0.0000	90.8984	6.8417	98.4509
13	11648.0000	3.9000	1.9839	0.0000	11.4717	53.1493	0.0000	66.6049
14	11647.0000	3.9000	1.1502	0.0000	0.0000	56.3914	24.0361	81.5777
15	11646.0000	2.0000	0.0000	0.0000	0.0000	97.8767	2.1233	100.0000
16	11645.0000	0.0000	0.0000	0.0000	0.0000	37.1911	4.6784	41.8695
17	11644.0000	0.0000	2.6953	0.0000	0.0000	73.9519	.8376	77.4847
18	11643.0000	0.0000	.6130	0.0000	0.0000	93.3439	1.4810	95.4300

Diagrammes des valeurs



Coupe de la Côte Sud-Centrale
Coupe de la Rivière Chicotte

Diagrammes des valeurs

		0,0000	5,7359	11,4717
I-----I-----I				
99,8	0,0000	I		
99,8	0,0000	I		
95,0	0,0000	I		
82,8	0,0000	I		
68,8	0,0000	I		
63,8	0,0000	I		
63,8	0,0000	I		FELDSPATH POTASSIQUE
48,0	0,0000	I		
46,2	0,0000	I		
6,7	0,0000	I		
6,4	0,0000	I		
5,7	0,0000	I		
3,9	11,4717	I	*****	
3,9	0,0000	I		
2,0	0,0000	I		
0,0	0,0000	I		
0,0	0,0000	I		

		0,0000	48,9380	97,8767
I-----I-----I				
99,8	70,1508	I	*****	
99,8	76,7227	I	*****	
95,0	70,8155	I	*****	
82,8	10,5965	I	*****	
68,8	77,6984	I	*****	
63,8	4,7348	I	**	CALCITE
63,8	15,1604	I	*****	
48,0	79,9509	I	*****	
46,2	77,9406	I	*****	
6,7	97,8767	I	*****	
6,4	81,1088	I	*****	
5,7	90,8984	I	*****	
3,9	53,1493	I	*****	
3,9	56,3914	I	*****	
2,0	97,8767	I	*****	
0,0	37,1911	I	*****	
0,0	73,9519	I	*****	
0,0	93,3439	I	*****	

		0,0000	12,0180	24,0361
I-----I-----I				
99,8	0,0000	I		
99,8	0,0000	I		
95,0	0,0000	I		DOLOMITE
82,8	6,2498	I	*****	
68,8	3,1923	I	*****	
63,8	0,0000	I		
63,8	20,6067	I	*****	
48,0	2,5323	I	*****	
46,2	8,8643	I	*****	
6,7	2,5029	I	*****	
6,4	12,0255	I	*****	
5,7	6,8417	I	*****	
3,9	0,0000	I		
3,9	24,0361	I	*****	
2,0	2,1233	I	****	
0,0	4,6784	I	*****	
0,0	8,376	I	*	
0,0	1,4810	I	***	

ANALYSES MINÉRALOGIQUES DES ROCHES
NON CARBONATÉES (ARGILES)

Les analyses ont été faites avec un appareil Philips, couplé à un enregistreur XY Hewlett-Packard. Les caractéristiques et réglages des appareils sont les suivants:

Source: Cuivre Rayonnement: Ka

Emission: 1° Pentes: 1°-0.2 + Ni

Discrimination: Atténuation... 1 Tension... 1560V (compteur)
 Seuil..... 1.65 Canal 3V

Constante de temps: 0.4 seconde - Vitesse du goniomètre: 2.4°/minute

Enregistreur: Sensibilité Y...position 2 (2°; 4 carreaux), potentiomètre 4.31
 Sensibilité X...4 x 10³ (PW 4620), 1 mV/cm

Les échantillons ont d'abord été analysés sans traitement additionnel puis, après saturation, au glycol d'éthylène. Les kaolinites ont été différenciées des chlorites par saturation à l'hydrazine ou par dissolution sélective à l'acide chlorhydrique concentrée à chaud.

Chaque coupe comprend un tableau pour la fraction inférieure à 2 microns et un autre pour la fraction 2 à 16 microns. L'explication des colonnes est la suivante:

- 1 - Numéro de l'échantillon (voir annexe 1 pour identification)
- 2 - Profondeur du sommet formationnel (non considérée dans présent document)
- 3 - Cote en mètre (même que sur annexe 1)
- 4 - Pourcentage d'illite
- 5 - " de chlorite
- 6 - " d'hallowite
- 7 - " de kaolinite
- 8 - " de smectite
- 9 - " de vermiculite
- 10 - " d'allervardite
- 11 - " de correncite
- 12 - " d'illite-smectite
- 13 - " de chlorite-smectite
- 14 - " de chlorite-vermiculite
- 15 - " de sépiolite
- 16 - " d'attapulgite
- 17 - Illite - Position du pic de réflexion 001
- 18 - Illite - Diffraction 002 / Diffraction 001
- 19 - Chlorite - " 002 / " 001
- 20 - Chlorite - " 004 / " 003
- 21 - Chlorite - " 003 / " 002
- 22 - Kaolinite (diffraction 002) / Chlorite (diffraction 004)
- 23 - Quartz (4.26) / Quartz (4.26) + feldspaths (3.18 et 3.24)
- 24 - Cristallinité de l'illite naturelle
- 25 - Cristallinité de l'illite en glycole.

Les échantillons proviennent des coupes suivantes: **Ouest-Ouest (Becscie), Rivière à l'Huile, Côte Sud-Centrale, Rivière Jupiter et Rivière aux Saumons.** Quelques-uns proviennent également du **puits Sandtop.**

Les colonnes comportant des valeurs 0.0 sont omises dans les cinq pages qui suivent, sauf dans la colonne 2.

Coupes Ouest et Ouest (Becscie)

Fraction inférieure à 2 microns

	1	2	3	4	5	12	18	19	20	21	22	23	24
11550	0,00	6,68	76,1	1,4	22,5	,24	1,63	1,11	,33	0,00	,36	1,26	
11544	0,00	6,50	85,0	1,6	13,4	,28	1,45	1,02	,32	0,00	,26	1,17	
11521	0,00	5,87	84,2	5,9	10,0	,24	1,69	1,21	,64	0,00	,24	1,05	
11497	0,00	5,51	86,4	0,0	13,6	,25	0,00	0,00	0,00	0,00	,33	,69	
11489	0,00	5,37	78,9	11,0	10,1	,26	1,83	1,71	,54	0,00	,43	,65	
11476	0,00	5,20	68,5	16,8	14,7	,37	2,29	1,75	,73	0,00	,25	,81	
11460	0,00	4,96	73,5	10,0	16,5	,25	1,68	1,47	,68	0,00	,30	,91	
11465	0,00	4,72	79,4	0,0	20,1	,25	0,00	0,00	0,00	0,00	,29	,71	
11464	0,00	4,72	80,5	8,2	11,3	,30	1,74	2,00	,44	0,00	,30	1,04	
11463	0,00	4,68	73,3	12,8	14,0	,29	1,78	1,68	,72	0,00	1,00	,98	
11459	0,00	4,66	84,5	1,6	13,9	,25	1,22	1,10	,31	0,00	,35	,98	
11457	0,00	4,62	80,4	0,0	19,6	,22	0,00	0,00	0,00	0,00	,29	,59	
11449	0,00	4,35	81,7	0,0	18,3	,24	0,00	0,00	0,00	0,00	,26	,91	
11448	0,00	4,34	66,9	13,4	19,6	,29	1,09	1,79	,58	0,00	,40	,84	
11442	0,00	4,16	77,4	,9	21,8	,27	,89	,93	,23	0,00	,14	,83	
11436	0,00	4,06	82,1	0,0	17,9	,23	0,00	0,00	0,00	0,00	,43	,75	
11422	0,00	3,11	87,7	1,8	10,5	,25	1,50	1,13	,22	0,00	,33	,65	
11420	0,00	3,03	79,7	0,0	20,3	,22	0,00	0,00	0,00	0,00	1,00	,56	
11412	0,00	2,52	70,6	0,0	29,4	,25	0,00	0,00	0,00	0,00	,28	,35	
11405	0,00	2,21	74,1	10,0	15,9	,32	1,73	1,30	,57	0,00	,20	,81	
11402	0,00	1,46	76,3	0,0	23,7	,22	0,00	0,00	0,00	0,00	,29	,43	
11396	0,00	1,34	82,2	0,0	17,8	,25	0,00	0,00	0,00	0,00	1,00	,71	
11393	0,00	1,09	79,8	10,4	9,8	,23	,76	1,42	,43	0,00	1,00	,64	
11392	0,00	,62	75,9	15,0	9,1	,36	1,48	1,78	,44	0,00	1,00	,62	
11388	0,00	,40	88,0	0,0	12,0	,33	0,00	0,00	0,00	0,00	0,00	,55	
11383	0,00	,20	81,0	0,0	19,0	,16	0,00	0,00	0,00	0,00	0,00	,59	
11379	0,00	,05	0,0	0,0	0,0	0,00	0,00	0,00	0,00	0,00	0,00	0,00	

Fraction 2 à 16 microns

	1	2	3	4	5	12	18	19	20	21	22	23	24
11550	0,00	0,68	64,6	17,2	18,2	,37	2,13	1,36	,39	0,00	,51	,19	
11544	0,00	0,50	60,4	20,1	13,9	,43	2,40	3,40	,22	0,00	,40	,19	
11521	0,00	5,87	55,2	29,6	15,2	,41	2,92	2,10	,58	0,00	,27	,26	
11497	0,00	5,51	91,5	8,5	0,0	,26	1,56	1,58	,23	0,00	,24	,20	
11489	0,00	5,37	49,8	30,3	19,9	,35	2,56	2,00	,52	0,00	,32	,20	

Coupes Ouest et Ouest (Becscie)

Fraction 2 à 16 microns (fin)

	1	2	3	4	5	12	18	19	20	21	22	23	24
11476	0,00	5,20	49,2	34,2	16,6	,42	2,52	2,14	,85	0,00	,37	,35	
11469	0,00	4,96	40,7	39,3	0,0	,45	2,81	1,85	,59	0,00	,34	,19	
11465	0,00	4,72	40,3	9,7	0,0	,30	2,00	1,29	,22	0,00	,24	,20	
11464	0,00	4,72	56,1	27,6	16,4	,47	2,46	2,38	,62	0,00	,35	,42	
11463	0,00	4,68	44,1	37,6	18,4	,41	2,03	2,08	,67	0,00	,33	,27	
11459	0,00	4,65	61,1	16,8	22,1	,37	4,07	2,00	,59	0,00	,35	,35	
11457	0,00	4,63	100,0	0,0	0,0	,23	0,00	0,00	0,00	0,00	,25	,17	
11449	0,00	4,33	84,6	15,4	0,0	,32	2,50	1,50	,43	0,00	,23	,20	
11448	0,00	4,30	62,8	37,2	0,0	,48	2,25	1,91	,85	0,00	,37	,39	
11442	0,00	4,16	44,1	5,0	0,0	,27	2,31	1,70	,25	0,00	,28	,20	
11436	0,00	4,06	87,1	12,0	0,0	,41	2,00	1,43	,32	0,00	,39	,20	
11422	0,00	3,11	40,2	9,8	0,0	,36	2,78	2,00	,26	0,00	,42	,39	
11420	0,00	3,03	40,3	9,7	0,0	,33	1,80	2,14	,17	0,00	,36	,20	
11412	0,00	2,52	100,0	0,0	0,0	,33	0,00	0,00	0,00	0,00	,18	,20	
11405	0,00	2,21	49,4	50,6	0,0	,38	2,40	2,17	,60	0,00	,35	,16	
11402	0,00	1,46	100,0	0,0	0,0	,41	0,00	0,00	0,00	0,00	,22	,20	
11396	0,00	1,30	86,6	13,0	0,0	,39	1,14	1,50	,22	0,00	,44	,20	
11393	0,00	1,09	45,1	34,9	0,0	,36	2,00	2,75	,40	0,00	,34	,21	
11392	0,00	,63	66,2	33,8	0,0	,40	2,20	2,14	,59	0,00	,42	,30	
11388	0,00	,40	58,8	41,2	0,0	,31	2,21	1,89	,72	0,00	,59	,29	
11383	0,00	,20	100,0	0,0	0,0	,33	0,00	0,00	0,00	0,00	,64	,30	
11379	0,00	,05	0,0	0,0	0,0	0,00	0,00	0,00	0,00	0,00	,59	0,00	

Coupe de la Rivière à l'Huile

Fraction inférieure à 2 microns

	1	2	3	4	5	12	18	19	20	21	22	23	24
11611	0,00	3,25	67,3	14,8	17,9	,33	1,64	1,55	,77	0,00	,22	,78	
11603	0,00	3,07	73,4	15,9	10,7	,36	1,34	1,56	,75	0,00	,35	1,08	
11599	0,00	3,02	73,3	15,8	11,0	,36	1,35	1,46	,85	0,00	1,00	,98	
11597	0,00	2,98	69,7	0,0	30,3	,30	,75	,92	,50	0,00	,39	1,04	
11581	0,00	2,40	77,0	0,0	23,0	,31	,57	1,00	,50	0,00	,42	,75	
11574	0,00	2,06	80,2	3,7	16,1	,29	1,45	1,24	,31	0,00	,24	,81	
11568	0,00	1,44	79,2	11,2	9,6	,45	1,33	1,82	,38	0,00	1,00	,65	
11556	0,00	,00	75,0	15,0	9,6	,36	1,78	1,86	,45	0,00	1,00	,65	

Coupe de la Rivière à l'Huile

Fraction 2 à 16 microns

	1	2	3	4	5	12	18	19	20	21	22	23	24
11611	0,00	3,29	50,6	30,0	11,0	,36	2,44	1,73	,69	0,00	,25	,20	
11603	0,00	3,07	46,4	30,1	19,5	,47	2,38	1,15	,76	0,00	,36	,32	
11599	0,00	3,07	42,9	41,3	15,8	,52	2,03	2,14	,81	0,00	,40	,32	
11597	0,00	2,94	70,1	11,6	18,3	,30	2,50	1,50	,38	0,00	,19	,19	
11581	0,00	2,49	88,6	11,4	0,0	,31	2,50	1,33	,32	0,00	,70	,17	
11574	0,00	2,06	69,2	20,0	6,3	,48	2,42	2,57	,40	0,00	,40	,39	
11568	0,00	1,44	60,2	35,7	4,1	,46	1,92	2,42	,48	0,00	,54	,34	
11556	0,00	,09	59,0	35,9	5,1	,39	2,41	2,20	,71	0,00	,48	,35	

Coupe de la Côte Sud-Centrale

Fraction 2 à 16 microns

	1	2	3	4	5	7	12	18	19	20	21	22	23	24
11716	0,00	2,10	90,1	,5	0,0	9,4	,52	1,67	,68	,16	0,00	1,00	,88	
11711	0,00	2,00	53,8	0,0	5,1	41,1	,30	0,00	0,00	0,00	0,00	1,00	,74	
11710	0,00	2,00	66,3	0,0	16,6	37,1	,34	0,00	0,00	0,00	0,00	,34	,48	
11709	0,00	2,00	27,9	,4	9,1	62,6	,37	1,14	,89	,72	3,00	,30	,48	
11695	0,00	1,50	71,9	0,0	14,3	13,8	,27	0,00	0,00	0,00	0,00	1,00	1,40	
11682	0,00	1,21	86,8	,8	0,6	7,8	,31	2,19	1,58	,26	2,00	1,00	1,23	
11674	0,00	1,00	87,6	,2	4,6	7,7	,24	,41	,89	,36	2,65	1,00	1,08	
11671	0,00	,83	87,6	,0	2,4	9,5	,26	,65	1,25	,27	1,25	1,00	1,04	
11669	0,00	,69	76,8	10,4	0,0	12,8	,36	3,39	1,90	,40	0,00	1,00	1,04	
11662	0,00	,42	84,9	,4	4,0	10,7	,28	2,22	1,53	,21	1,91	1,00	1,04	
11659	0,00	,13	79,6	2,2	0,0	18,2	,20	2,00	1,69	,41	0,00	,30	1,04	
11658	0,00	,13	78,4	,8	0,0	20,7	,25	1,50	1,40	,19	0,00	,40	,84	

Fraction inférieure à 2 microns

	1	2	3	4	5	7	12	18	19	20	21	22	23	24
11716	0,00	2,10	66,7	3,3	0,0	0,0	,36	2,75	1,32	,12	0,00	,34	,39	
11711	0,00	2,00	51,3	7,2	7,9	33,6	,40	2,50	2,75	,17	1,09	,06	,22	
11710	0,00	2,00	82,0	0,0	18,0	0,0	,28	0,00	0,00	0,00	0,00	,49	,20	
11709	0,00	2,00	81,5	2,2	16,3	0,0	,27	1,60	1,60	,31	2,25	,25	,20	

Coupe de la Côte Sud-Centrale

Fraction inférieure à 2 microns (fin)

	1	2	3	4	5	7	12	18	19	20	21	22	23	24
11695	0.00	1.50	63.3	.2	23.7	22.7	.37	1.07	1.90	.23	6.26	.41	.48	
11682	0.00	1.21	68.2	4.2	9.1	18.5	.39	2.73	2.11	.25	1.16	.53	.42	
11674	0.00	1.00	75.1	0.0	24.9	0.0	.34	0.00	0.00	0.00	0.00	.62	.19	
11671	0.00	.83	75.1	2.7	6.5	15.8	.37	1.73	2.64	.23	.92	.57	.59	
11669	0.00	.69	68.9	26.0	0.0	15.0	.41	3.18	2.50	.38	0.00	.92	.43	
11662	0.00	.42	79.6	6.0	14.4	0.0	.41	3.40	2.50	.22	1.00	.61	.35	
11659	0.00	.13	91.6	0.0	0.0	0.0	.28	2.75	1.70	.22	0.00	.35	.20	
11658	0.00	.13	91.3	0.7	0.0	0.0	.28	1.40	1.80	.21	0.00	.75	.17	

Coupe de la Rivière Jupiter

Fraction inférieure à 2 microns

	1	2	3	4	5	12	18	19	20	21	22	23	24
11794	0.00	2.15	65.5	18.2	16.3	.40	2.27	2.00	.03	0.00	.49	.49	
11792	0.00	2.14	60.7	5.5	33.8	.43	2.25	2.17	.18	0.00	.44	.39	
11775	0.00	1.60	76.2	13.9	9.8	.35	3.03	1.97	.39	0.00	.34	.29	
11767	0.00	.12	100.0	0.0	0.0	.19	0.00	0.00	0.00	0.00	.89	.20	
11751	0.00	.85	72.7	7.4	19.9	.29	2.30	2.07	.18	0.00	.42	.20	
11738	0.00	.68	60.6	22.1	27.2	.48	2.49	2.35	.58	0.00	.36	.39	

Fraction 2 à 16 microns

	1	2	3	4	5	12	18	19	20	21	22	23	24
11794	0.00	2.15	82.7	6.4	10.9	.28	1.97	1.35	.43	0.00	.24	1.10	
11792	0.00	2.14	67.6	1.0	41.4	.40	.24	.93	.25	0.00	.21	.91	
11775	0.00	1.60	88.4	1.4	10.2	.31	1.38	.83	.30	0.00	.19	1.08	
11767	0.00	.12	73.2	0.0	26.8	.24	0.00	0.00	0.00	0.00	.80	.87	
11751	0.00	.85	72.2	.7	27.1	.21	.75	1.00	.40	0.00	.37	1.06	
11738	0.00	.68	74.1	8.2	17.7	.27	1.38	1.23	.67	0.00	.32	1.01	

Coupe de la Rivière aux Saumons

Fraction inférieure à 2 microns

	1	2	3	4	5	12	18	19	20	21	22	23	24
11976	0,00	0,00	40,1	59,9	0,0	0,38	1,47	2,00	1,00	0,00	0,34	0,26	
11982	0,00	1,16	12,7	87,3	0,0	2,03	1,12	1,88	1,43	0,00	0,40	0,32	
11948	0,00	0,97	10,9	89,1	0,0	4,29	1,85	2,15	0,82	0,00	0,34	0,35	
11941	0,00	0,71	47,9	52,1	0,0	0,40	1,86	2,07	0,93	0,00	0,51	0,27	
11937	0,00	0,53	51,3	48,7	0,0	0,42	1,89	1,93	0,92	0,00	0,43	0,32	
11934	0,00	0,36	9,7	90,3	0,0	0,35	2,17	2,06	0,89	0,00	0,46	0,26	
11932	0,00	0,36	65,5	34,5	0,0	0,41	1,37	2,04	0,69	0,00	0,32	0,32	
11924	0,00	0,03	52,4	47,6	0,0	0,40	1,97	1,79	1,02	0,00	0,47	0,32	

Fraction 2 à 16 microns

	1	2	3	4	5	12	18	19	20	21	22	23	24
11976	0,00	0,00	45,3	45,6	9,1	0,44	0,78	1,58	1,18	0,00	0,00	0,69	
11962	0,00	1,16	12,2	57,9	29,9	3,98	0,99	1,54	0,80	0,00	1,00	0,65	
11948	0,00	0,97	54,0	30,0	16,0	0,47	1,27	1,70	0,98	0,00	1,00	0,84	
11941	0,00	0,71	53,2	30,3	12,6	0,55	1,31	1,77	1,03	0,00	1,00	0,74	
11937	0,00	0,53	52,1	28,8	19,1	0,46	1,20	1,68	1,12	0,00	1,00	0,86	
11934	0,00	0,36	59,6	20,0	16,4	0,39	1,39	1,72	0,83	0,00	1,00	0,75	
11932	0,00	0,36	68,7	20,8	6,5	0,49	0,83	1,64	0,71	0,00	1,00	0,84	
11924	0,00	0,03	61,7	33,0	5,3	0,37	1,36	1,51	1,13	0,00	0,70	0,69	

Puits Sandtop

Fraction inférieure à 2 microns

	1	2	3	4	5	8	12	18	19	20	21	22	23	24
11800	0,00	4,30	100,0	0,0	0,0	0,0	0,0	0,48	0,00	0,00	0,00	0,00	0,62	0,39
11814	0,00	2,93	64,4	35,6	0,0	0,0	0,0	0,49	1,36	2,11	0,55	0,00	0,42	0,26
11825	0,00	2,00	51,7	48,3	0,0	0,0	0,0	0,46	1,68	1,92	0,63	0,00	0,36	0,23
11828	0,00	1,79	59,6	40,4	0,0	0,0	0,0	0,43	1,92	1,92	0,79	0,00	0,41	0,35
11836	0,00	1,36	55,0	45,0	0,0	0,0	0,0	0,42	1,71	2,07	0,79	0,00	0,43	0,32
11853	0,00	0,27	44,4	33,9	0,0	21,3	0,43	2,78	2,06	0,85	0,00	0,39	0,35	

VOLUMES DU RÉSIDU INSOLUBLE

Les pourcentages de résidu insoluble d'échantillons analysés par plusieurs techniques sont présentés ci-après. Les échantillons proviennent du puits SANDTOP et des coupes suivantes:

- . Rivière à l'Huile
- . Rivière Jupiter
- . Rivière Chicotte et Côte Sud-Centrale
- . Rivière aux Saumons, Cap aux Meules et Rivière Jupiter
- . Rivière Prinsta et Falaise aux Goélands
- . Coupes Ouest et Ouest (Becscie)

Les pourcentages sont présentés sous forme de tableaux et diagrammes produits par ordinateur.

Les tableaux comportent trois colonnes numérotées:

- 1 - Numéro INRS (voir annexe 1 pour précisions)
- 2 - Cote des échantillons en mètre, à l'exception de ceux du puits SANDTOP, qui sont en pieds
- 3 - Pourcentage de résidu insoluble

Les diagrammes comportent deux colonnes de chiffres, qui sont les mêmes que les colonnes 2 et 3 des tableaux.

Coupe de la Rivière à l'Huile

Tableau des valeurs

	1	2	3		1	2	3
1	11625,0000	40,0000	12,7000	35	11591,0000	273,0000	7,7000
2	11624,0000	40,0000	4,7000	36	11590,0000	274,0000	8,4000
3	11623,0000	344,0000	10,1000	37	11589,0000	272,0000	12,1000
4	11622,0000	344,0000	10,5000	38	11588,0000	268,0000	8,3000
5	11621,0000	371,0000	10,3000	39	11587,0000	265,0000	4,6000
6	11620,0000	371,0000	9,2000	40	11586,0000	264,0000	4,9000
7	11619,0000	371,0000	2,6000	41	11585,0000	263,0000	3,6000
8	11618,0000	368,0000	5,7000	42	11584,0000	258,0000	3,6000
9	11617,0000	364,0000	17,7000	43	11583,0000	257,0000	5,0000
10	11616,0000	362,0000	4,6000	44	11582,0000	252,0000	6,0000
11	11615,0000	360,0000	7,4000	45	11581,0000	249,0000	7,0000
12	11614,0000	353,0000	8,3000	46	11580,0000	243,0000	7,1000
13	11613,0000	344,0000	9,1000	47	11579,0000	235,0000	6,9000
14	11612,0000	336,0000	2,1000	48	11578,0000	236,0000	2,5000
15	11611,0000	325,0000	15,0000	49	11577,0000	238,0000	2,0000
16	11610,0000	324,0000	3,8000	50	11576,0000	224,0000	3,4000
17	11609,0000	321,0000	5,4000	51	11574,0000	206,0000	12,6000
18	11608,0000	317,0000	7,1000	52	11573,0000	199,0000	3,4000
19	11607,0000	315,0000	5,2000	53	11572,0000	185,0000	10,0000
20	11606,0000	313,0000	7,8000	54	11571,0000	185,0000	8,2000
21	11605,0000	309,0000	14,7000	55	11570,0000	165,0000	4,4000
22	11604,0000	308,0000	13,9000	56	11569,0000	144,0000	26,2000
23	11603,0000	307,0000	50,7000	57	11568,0000	144,0000	24,5000
24	11602,0000	307,0000	10,8600	58	11567,0000	143,0000	5,4000
25	11601,0000	307,0000	7,3000	59	11566,0000	120,0000	9,3000
26	11600,0000	305,0000	6,4000	60	11565,0000	101,0000	9,5000
27	11599,0000	302,0000	51,7000	61	11564,0000	99,0000	4,2000
28	11598,0000	299,0000	8,5000	62	11563,0000	85,0000	7,9000
29	11597,0000	294,0000	11,5000	64	11561,0000	37,0000	2,6000
30	11596,0000	292,0000	28,2000	65	11560,0000	34,0000	10,2000
31	11595,0000	286,0000	15,0000	66	11559,0000	30,0000	1,5000
32	11594,0000	282,0000	9,7000	67	11558,0000	30,0000	15,4000
33	11593,0000	278,0000	16,9000	68	11557,0000	24,0000	14,3000
34	11592,0000	276,0000	7,6000	69	11556,0000	9,0000	38,3000

Coupe de la Rivière à l'Huile (fin)

Diagramme des valeurs

	0,0000	25,8500	51,7000
395,9	12,7000	*****	
395,9	4,7000	****	
384,0	10,1000	*****	
384,0	10,5000	*****	
371,0	10,3000	*****	
371,0	9,2000	*****	
371,0	2,6000	***	
368,0	5,7000	*****	
354,0	17,7000	*****	
362,0	4,0000	****	
360,0	7,4000	*****	
353,0	6,3000	*****	
344,0	9,1000	*****	
336,0	2,1000	**	
325,0	15,0000	*****	
324,0	3,8000	****	
321,0	5,4000	*****	
317,0	7,1000	*****	
315,0	5,2000	*****	
313,0	7,8000	*****	
309,0	14,7000	*****	
308,0	13,8000	*****	
307,0	50,7000	*****	
307,0	10,8000	*****	
307,0	7,3000	*****	
305,0	6,4000	*****	
302,0	51,7000	*****	
299,0	8,5000	*****	
294,0	11,5000	*****	
292,0	28,2000	*****	
288,0	15,0000	*****	
282,0	9,7000	*****	
278,0	10,8000	*****	
276,0	7,8000	*****	
275,0	7,7000	*****	
274,0	8,4000	*****	
272,0	12,1000	*****	
268,0	8,3000	*****	
265,0	4,8000	*****	
264,0	4,8000	*****	
263,0	3,6000	****	
258,0	3,6000	****	
257,0	5,0000	****	
252,0	,6000	*	
249,0	,7000	*	
243,0	7,1000	*****	
235,0	6,9000	*****	
234,0	2,5000	**	
228,0	2,0000	*	
224,0	3,0000	****	
206,0	12,6000	*****	
188,0	3,0000	****	
186,0	10,0000	*****	
185,0	8,2000	*****	
183,0	4,0000	****	
149,0	26,2000	*****	
146,0	24,5000	*****	
140,0	5,4000	*****	
120,0	9,3000	*****	
101,0	9,5000	*****	
98,0	4,2000	****	
85,0	7,0000	*****	
60,0	11,2000	*****	
37,0	2,8000	**	
34,0	10,2000	*****	
33,0	1,5000	*	
30,0	15,0000	*****	
24,0	14,3000	*****	
9,0	38,3000	*****	

Coupe de la Rivière Jupiter

Tableau des valeurs

	1	2	3		1	2	3
1	11799,0000*	316,0000	3,9000	40	11780,0000	106,0000	3,6000
2	11798,0000	219,0000	4,2000	41	11759,0000	103,0000	5,1000
3	11797,0000	217,0000	3,0000	42	11758,0000	99,0000	,6000
4	11796,0000	217,0000	3,2000	43	11757,0000	98,0000	2,2000
5	11795,0000	216,0000	27,0000	44	11756,0000	86,0000	3,8000
6	11794,0000	216,0000	19,3000	45	11755,0000	86,0000	7,2000
7	11793,0000	215,0000	3,2000	46	11754,0000	86,0000	2,9000
8	11792,0000	215,0000	36,1000	47	11753,0000	86,0000	3,0000
9	11791,0000	213,0000	7,3000	48	11752,0000	85,0000	6,5000
10	11790,0000	212,0000	3,1000	49	11751,0000	85,0000	6,0000
11	11789,0000	212,0000	13,0000	50	11750,0000	85,0000	8,6000
12	11788,0000	206,0000	10,4000	51	11749,0000	85,0000	3,5000
13	11787,0000	199,0000	,2000	52	11748,0000	84,0000	4,0000
14	11786,0000	193,0000	3,4000	53	11747,0000	84,0000	21,1000
15	11785,0000	193,0000	3,9000	54	11746,0000	84,0000	4,6000
16	11784,0000	190,0000	,5000	55	11745,0000	80,0000	10,3000
17	11783,0000	190,0000	2,2000	56	11744,0000	80,0000	8,0000
18	11782,0000	183,0000	,7000	57	11743,0000	78,0000	4,4000
19	11781,0000	183,0000	2,4000	58	11742,0000	76,0000	6,1000
20	11780,0000	177,0000	5,2000	59	11741,0000	76,0000	10,5000
21	11779,0000	171,0000	,6000	60	11740,0000	76,0000	1,7000
22	11778,0000	167,0000	,6000	61	11739,0000	75,0000	4,2000
23	11777,0000	167,0000	8,1000	62	11738,0000	68,0000	24,8000
24	11776,0000	160,0000	1,1000	63	11737,0000	67,0000	20,0000
25	11775,0000	166,0000	73,3000	64	11736,0000	66,0000	3,7000
26	11774,0000	160,0000	4,6000	65	11735,0000	66,0000	2,1000
27	11773,0000	157,0000	1,6000	66	11734,0000	64,0000	2,3000
28	11772,0000	156,0000	,4000	67	11733,0000	62,0000	1,6000
29	11771,0000	148,0000	,9000	68	11732,0000	56,0000	1,6000
30	11770,0000	127,0000	2,7000	69	11731,0000	55,0000	5,4000
31	11769,0000	126,0000	7,2000	70	11730,0000	41,0000	3,6000
32	11768,0000	124,0000	1,9000	71	11729,0000	30,0000	2,4000
33	11767,0000	122,0000	1,8000	72	11728,0000	30,0000	5,4000
34	11766,0000	120,0000	1,9000	73	11727,0000	21,0000	15,1000
35	11765,0000	120,0000	1,8000	74	11726,0000	21,0000	4,2000
36	11764,0000	119,0000	1,7000	75	11725,0000	4,0000	5,2000
37	11763,0000	118,0000	2,2000	76	11724,0000	3,0000	1,5000
38	11762,0000	117,0000	1,8000	77	11723,0000	0,0000	2,4000
39	11761,0000	117,0000	1,7000	78	11722,0000	0,0000	3,2000

*Rivière à l'Huile

Coupe de la Rivière Jupiter (fin)

Diagramme des valeurs

	0.0000	36,6500	73,3000
318.0	3.9000	***	
219.0	4.2000	***	
217.0	3.0000	***	
217.0	3.2000	***	
216.0	27.0000	*****	
216.0	19.3000	*****	
215.0	3.2000	***	
215.0	36.1000	*****	
213.0	7.3000	****	
212.0	3.1000	***	
212.0	13.0000	*****	
206.0	10.4000	*****	
199.0	.6000	*	
193.0	1.4000	**	
193.0	1.9000	**	
190.0	.5000	*	
190.0	2.2000	**	
183.0	.7000	*	
183.0	2.4000	**	
177.0	5.7000	***	
171.0	.6000	*	
167.0	.6000	*	
167.0	8.1000	****	
160.0	1.1000	*	
160.0	73.3000	*****	
160.0	4.6000	***	
157.0	1.4000	*	
156.0	.4000	*	
148.0	.9800	*	
127.0	2.7000	**	
126.0	7.2000	***	
124.0	1.9000	**	
122.0	1.8000	**	
120.0	1.9000	**	
120.0	1.8000	**	
119.0	1.7000	**	
118.0	2.2000	**	
117.0	1.8000	**	
112.0	1.3000	**	
106.0	3.6000	***	
103.0	5.1000	***	
99.0	.6000	*	
98.0	2.2000	**	
86.0	3.8000	***	
86.0	7.2000	***	
86.0	2.9000	**	
86.0	3.0000	**	
85.0	6.5000	****	
85.0	6.0000	****	
85.0	8.6000	****	
85.0	3.5000	**	
84.0	4.0000	**	
84.0	21.1000	*****	
84.0	4.6000	**	
80.0	10.3000	****	
80.0	8.0000	****	
78.0	4.4000	****	
78.0	6.1000	****	
78.0	10.9000	*****	
76.0	1.7000	**	
75.0	4.2000	**	
68.0	24.8000	*****	
67.0	20.0000	*****	
66.0	3.7000	**	
66.0	2.1000	**	
64.0	2.0000	**	
62.0	1.6000	**	
56.0	1.8000	**	
44.0	5.4000	****	
41.0	3.6000	***	
36.0	2.9000	**	
36.0	5.4000	***	
21.0	15.1000	*****	
21.0	4.2000	**	
4.0	5.2000	***	
3.0	1.5000	**	
0.0	2.4000	**	
0.0	1.2000	**	

Coupe de la Côte Sud-Centrale (échantillons 1 à 64)
 Coupe de la Rivière Chicotte (échantillons 65 à 79)

Tableau des valeurs

1			2			3		
1	11771,0000	221,0000	,3000	41	11681,0000	171,0000	13,5000	
2	11720,0000*	217,0000	3,3000	42	11680,0000	110,0000	5,0000	
3	11719,0000	210,0000	14,1000	43	11679,0000	110,0000	10,6000	
4	11718,0000	210,0000	1,1000	44	11678,0000	110,0000	0,5000	
5	11717,0000	210,0000	6,5000	45	11677,0000	114,0000	0,6000	
6	11716,0000	210,0000	69,5000	46	11676,0000	114,0000	5,0000	
7	11715,0000	210,0000	0,7000	47	11675,0000	108,0000	9,3000	
8	11714,0000	210,0000	2,4000	48	11674,0000	100,0000	20,7000	
9	11713,0000	206,0000	13,3000	49	11673,0000	100,0000	0,1000	
10	11712,0000	200,0000	10,3000	50	11672,0000	95,0000	9,0000	
11	11711,0000	200,0000	0,0000	51	11671,0000	83,0000	66,0000	
12	11710,0000	200,0000	4,1000	52	11670,0000	69,0000	6,0000	
13	11709,0000	200,0000	3,3000	53	11669,0000	64,0000	08,9000	
14	11708,0000	180,0000	3,4000	54	11668,0000	64,0000	53,2000	
15	11707,0000	183,0000	3,4000	55	11667,0000	08,0000	14,0000	
16	11706,0000	179,0000	0,1000	56	11666,0000	06,0000	0,0000	
17	11705,0000	173,0000	5,0000	57	11665,0000	04,0000	6,0000	
18	11704,0000	170,0000	5,0000	58	11664,0000	04,0000	12,0000	
19	11703,0000	167,0000	0,0000	59	11663,0000	04,0000	15,0000	
20	11702,0000	167,0000	5,1000	60	11662,0000	01,0000	19,2000	
21	11701,0000	160,0000	5,9000	61	11661,0000	01,0000	12,3000	
22	11700,0000	165,0000	4,2000	62	11660,0000	70,0000	2,4000	
23	11699,0000	165,0000	5,4000	63	11659,0000	13,0000	3,3000	
24	11698,0000	163,0000	3,8000	64	11658,0000	13,0000	3,2000	
25	11697,0000	150,0000	0,0000	65	11657,0000	11,0000	,4000	
26	11696,0000	153,0000	4,7000	66	11656,0000	10,0000	,7000	
27	11695,0000	150,0000	51,7000	67	11655,0000	9,0000	,7000	
28	11694,0000	149,0000	4,0000	68	11654,0000	0,0000	,7000	
29	11693,0000	140,0000	0,0000	69	11653,0000	7,0000	1,4000	
30	11692,0000	147,0000	2,2000	70	11652,0000	7,0000	,0000	
31	11691,0000	145,0000	2,7000	71	11651,0000	0,0000	1,1000	
32	11690,0000	145,0000	3,7000	72	11650,0000	0,0000	6,9000	
33	11689,0000	142,0000	2,9000	73	11649,0000	5,0000	,7000	
34	11688,0000	141,0000	5,3000	74	11648,0000	0,0000	11,7000	
35	11687,0000	139,0000	4,0000	75	11647,0000	0,0000	6,5000	
36	11686,0000	130,0000	7,1000	76	11646,0000	2,0000	2,1000	
37	11685,0000	131,0000	0,0000	77	11645,0000	0,0000	1,9000	
38	11684,0000	120,0000	11,1000	78	11644,0000	0,0000	12,5000	
39	11683,0000	123,0000	5,9000	79	11643,0000	0,0000	2,3000	
40	11682,0000	121,0000	30,7000					

*Riviere Jupiter

Coupe de la Côte Sud-Centrale
 Coupe de la Rivière Chicotte (fin)

Diagramme des valeurs

	0.0000	34.7500	69.5000
221.0	3.3000		
217.0	3.3000		
210.0	14.1000		
210.0	1.1000		
210.0	6.5000		
210.0	69.5000		
210.0	8.7000		
210.0	2.4000		
206.0	13.3000		
206.0	18.3000		
200.0	8.6000		
200.0	4.1000		
200.0	3.3000		
188.0	3.4000		
183.0	3.4000		
179.0	4.1000		
173.0	5.6000		
170.0	5.8000		
167.0	6.8000		
167.0	5.1000		
166.0	5.9000		
165.0	4.2000		
165.0	5.4000		
163.0	3.8000		
156.0	6.6000		
153.0	4.7000		
150.0	51.7000		
149.0	4.6000		
148.0	4.6000		
147.0	2.2000		
145.0	2.7000		
145.0	3.7000		
142.0	2.9000		
141.0	5.3000		
139.0	4.0000		
134.0	7.1000		
131.0	8.6000		
128.0	11.1000		
123.0	3.9000		
121.0	30.7000		
121.0	13.5000		
118.0	5.0000		
116.0	10.6000		
116.0	6.5000		
114.0	6.6000		
114.0	5.8000		
108.0	9.3000		
100.0	20.7000		
100.0	8.1000		
95.0	9.0000		
83.0	68.0000		
69.0	6.0000		
64.0	68.9000		
64.0	53.2000		
48.0	14.0000		
46.0	8.0000		
44.0	6.0000		
44.0	12.0000		
44.0	15.0000		
41.0	19.2000		
41.0	12.3000		
26.0	2.4000		
13.0	3.3000		
13.0	3.2000		
11.0	6.0000		
10.0	7.0000		
9.0	7.0000		
8.0	7.0000		
7.0	1.4000		
7.0	8.0000		
6.0	1.1000		
6.0	6.9000		
5.0	7.0000		
4.0	11.7000		
4.0	6.5000		
2.0	2.1000		
0.0	1.9000		
0.0	12.5000		
0.0	2.3000		

Coupes de: Cap aux Meules (échantillons 1 à 7)
 Rivière aux Saumons (échantillons 8 à 50, 52 à 59)
 Rivière Jupiter (échantillons 51)

Tableau des valeurs

	1	2	3		1	2	3
1	11981'.0000	6'.0000	78,7000	30	11950'.0000	106'.0000	11,0000
2	11980'.0000	6'.0000	46,8000	31	11949'.0000	98'.0000	35,4000
3	11979'.0000	4'.0000	24,3000	32	11948'.0000	97'.0000	65,5000
4	11978'.0000	4'.0000	14,0000	33	11947'.0000	95'.0000	11,6000
5	11977'.0000	4'.0000	42,3000	34	11946'.0000	94'.0000	45,3000
6	11976'.0000	2'.0000	81,4000	35	11945'.0000	94'.0000	7,4000
7	11975'.0000	0'.0000	6,2000	36	11944'.0000	81'.0000	4,2000
8	11974'.0000	158'.0000	8,3000	37	11943'.0000	73'.0000	38,6000
9	11973'.0000	138'.0000	12,3000	38	11942'.0000	73'.0000	14,0000
10	11972'.0000	130'.0000	29,0000	39	11941'.0000	71'.0000	63,6000
11	11971'.0000	130'.0000	19,3000	40	11940'.0000	71'.0000	10,9000
12	11968'.0000	129'.0000	4,8000	41	11939'.0000	60'.0000	7,1000
13	11967'.0000	129'.0000	4,1000	42	11938'.0000	55'.0000	49,8000
14	11965'.0000	123'.0000	17,5000	43	11937'.0000	53'.0000	65,4000
15	11966'.0000	121'.0000	8,7000	44	11936'.0000	53'.0000	61,5000
16	11964'.0000	121'.0000	11,3000	45	11935'.0000	52'.0000	27,5000
17	11963'.0000	117'.0000	44,1000	46	11934'.0000	36'.0000	66,4000
18	11962'.0000	116'.0000	66,4000	47	11933'.0000	36'.0000	53,5000
19	11961'.0000	116'.0000	18,1000	48	11932'.0000	36'.0000	80,4000
20	11960'.0000	115'.0000	54,9000	49	11931'.0000	35'.0000	4,1000
21	11959'.0000	114'.0000	11,0000	50	11930'.0000	33'.0000	11,3000
22	11958'.0000	113'.0000	20,9000	51	11929'.0000	84,7000	17,7000
23	11957'.0000	110'.0000	22,2000	52	11928'.0000	26'.0000	12,7000
24	11956'.0000	110'.0000	27,7000	53	11927'.0000	24'.0000	5,1000
25	11955'.0000	109'.0000	20,5000	54	11926'.0000	24'.0000	39,3000
26	11954'.0000	107'.0000	51,2000	55	11925'.0000	8'.0000	6,2000
27	11953'.0000	106'.0000	15,3000	56	11924'.0000	3'.0000	43,0000
28	11952'.0000	106'.0000	13,8000	57	11923'.0000	0'.0000	2,5000
29	11951'.0000	106'.0000	26,2000	58	11922'.0000	0'.0000	8,7000
				59	11921'.0000	0'.0000	12,6000

Coupes de: Cap aux Meules
Rivière aux Saumons
Rivière Jupiter (fin)

Diagramme des valeurs

	0,0000	40,7000	81,4000
			-----1
6.0	78,7000	IAA	
6.0	46,8000	IAAAAAAAAAAAAAAAAAAAAAAAAAAAAAAAAAAAAAAA	
4.0	24,3000	IAAAAAAAAAAAAA	
4.0	14,0000	IAAAAAAA	
4.0	42,3000	IAAAAAAAAAAAAAAAAAAAAAAAAAAAAA	
2.0	81,4000	IAA	
0.0	6,2000	IAAA	
158.0	6,3000	IAAAAA	
138.0	12,3000	IAAAAAAA	
130.0	29,0000	IAAAAAAAAAAAAAAA	
130.0	19,3000	IAAAAAAAAAAAAA	
129.0	4,8000	IAA	
129.0	4,1000	IAA	
123.0	17,5000	IAAAAAAAAAAA	
121.0	8,7000	IAAAAA	
121.0	11,3000	IAAAAAA	
117.0	44,1000	IAAAAAAAAAAAAAAAAAAAAAAAAAAAAAAAAAAAAA	
116.0	66,4000	IAAAAAAAAAAAAAAAAAAAAAAAAAAAAAAAAAAAAA	
116.0	18,1000	IAAAAAAA	
115.0	54,9000	IAAAAAAAAAAAAAAAAAAAAAAAAAAAAAAAAAAAAA	
114.0	11,0000	IAAAAA	
113.0	20,9000	IAAAAAAAAAAA	
110.0	22,2000	IAAAAAAA	
110.0	27,7000	IAAAAAAAAAAAAAAA	
109.0	20,5000	IAAAAAAA	
107.0	51,2000	IAAAAAAAAAAAAAAAAAAAAAAAAAAAAAAAAAAAAA	
106.0	15,3000	IAAAAAAA	
106.0	13,8000	IAAAAAAA	
106.0	26,2000	IAAAAAAAAAAAAAAA	
106.0	11,0000	IAAAAA	
98.0	35,4000	IAAAAAAAAAAAAAAAAAAAAAAA	
97.0	65,5000	IAAAAAAAAAAAAAAAAAAAAAAAAAAAAAAAAAAAAA	
95.0	11,6000	IAAAAA	
94.0	45,3000	IAAAAAAAAAAAAAAAAAAAAAAAAAAAAA	
94.0	7,4000	IAAAA	
81.0	4,2000	IAA	
73.0	38,6000	IAAAAAAAAAAAAAAAAAAAAAAA	
73.0	14,0000	IAAAAAAA	
71.0	63,6000	IAAAAAAAAAAAAAAAAAAAAAAAAAAAAAAAAAAAAA	
71.0	10,9000	IAAAAA	
60.0	7,1000	IAAAA	
55.0	49,8000	IAAAAAAAAAAAAAAAAAAAAAAAAAAAAA	
53.0	65,4000	IAAAAAAAAAAAAAAAAAAAAAAAAAAAAAAAAAAAAA	
53.0	61,5000	IAAAAAAAAAAAAAAAAAAAAAAAAAAAAAAAAAAAAA	
52.0	27,5000	IAAAAAAA	
36.0	66,4000	IAAAAAAAAAAAAAAAAAAAAAAAAAAAAAAAAAAAAA	
36.0	53,5000	IAAAAAAAAAAAAAAAAAAAAAAAAAAAAA	
36.0	80,4000	IAAAAAAAAAAAAAAAAAAAAAAAAAAAAAAAAAAAAA	
35.0	6,1000	IAAA	
33.0	11,3000	IAAAAA	
84.7	17,7000	IAAAAAAA	
26.0	12,7000	IAAAAA	
24.0	5,1000	IAAA	
24.0	39,3000	IAAAAAAAAAAAAAAAAAAAAA	
8.0	6,2000	IAAA	
3.0	43,0000	IAAAAAAAAAAAAAAAAAAAAA	
0.0	2,5000	IA	
0.0	8,7000	IAAAA	
0.0	12,6000	IAAAAA	

Puits Sandtop

Tableau des valeurs

	1	2	3		1	2	3
1	11857'.0000	65'.0000	17.6000	30	11828'.0000	1785'.0000	47.4000
2	11856'.0000	165'.0000	31.7000	31	11827'.0000	1835'.0000	51.1000
3	11855'.0000	230'.0000	10.1000	32	11826'.0000	1900'.0000	59.4000
4	11854'.0000	250'.0000	22.1000	33	11825'.0000	2000'.0000	59.4000
5	11853'.0000	275'.0000	35.3000	34	11824'.0000	2100'.0000	65.1000
6	11852'.0000	310'.0000	44.2000	35	11823'.0000	2200'.0000	60.8000
7	11851'.0000	365'.0000	24.3000	36	11822'.0000	2250'.0000	70.8000
8	11850'.0000	385'.0000	24.8000	37	11821'.0000	2275'.0000	71.9000
9	11849'.0000	450'.0000	10.6000	38	11820'.0000	2400'.0000	77.1000
10	11848'.0000	565'.0000	22.5000	39	11819'.0000	2500'.0000	74.9000
11	11847'.0000	590'.0000	35.5000	40	11818'.0000	2550'.0000	77.1000
12	11846'.0000	660'.0000	58.6000	41	11817'.0000	2600'.0000	62.9000
13	11845'.0000	750'.0000	60.5000	42	11816'.0000	2700'.0000	77.7000
14	11844'.0000	850'.0000	65.6000	43	11814'.0000	2925'.0000	80.5000
15	11843'.0000	930'.0000	61.3000	44	11813'.0000	3000'.0000	60.9000
16	11842'.0000	1000'.0000	66.8000	45	11812'.0000	3125'.0000	65.2000
17	11841'.0000	1055'.0000	65.2000	46	11811'.0000	3200'.0000	20.5000
18	11840'.0000	1065'.0000	57.8000	47	11810'.0000	3300'.0000	21.9000
19	11839'.0000	1075'.0000	58.2000	48	11809'.0000	3400'.0000	43.1000
20	11838'.0000	1200'.0000	72.7000	49	11808'.0000	3480'.0000	44.1000
21	11837'.0000	1275'.0000	54.7000	50	11807'.0000	3630'.0000	47.1000
22	11836'.0000	1360'.0000	51.1000	51	11806'.0000	3700'.0000	7.6000
23	11835'.0000	1375'.0000	55.6000	52	11805'.0000	3800'.0000	5.9000
24	11834'.0000	1510'.0000	45.4000	53	11804'.0000	3900'.0000	4.4000
25	11833'.0000	1600'.0000	37.1000	54	11803'.0000	4000'.0000	12.9000
26	11832'.0000	1700'.0000	39.4000	55	11802'.0000	4100'.0000	8.7000
27	11831'.0000	1720'.0000	43.1000	56	11801'.0000	4200'.0000	11.5000
28	11830'.0000	1740'.0000	45.3000	57	11800'.0000	4300'.0000	23.9000
29	11829'.0000	1775'.0000	48.7000				

MICROFACIÈS - SÉLECTION DE CLICHÉS

Tel que mentionné dans le rapport, l'ensemble des fiches descriptives et des clichés photographiques résultant de l'analyse des microfaciès constitue un document séparé (Petryk & Bertarnd, 1981B). La présente annexe ne présente qu'une sélection de ces clichés, avec notes appropriées.

Les descriptions, pour les roches carbonatées, font appel aux classifications de Folk (1959) et de Dunham (1962) telles que présentées par les spécialistes d'Elf-Aquitaine (1975, pages 70 à 80). Pour les roches siliciclastiques, elles s'appuient sur Gilbert (1954, pages 289-294).

Pour chacun des clichés, les notes se suivent dans l'ordre ci-dessous:

- 1) Nom de la roche
- 2) Autres caractères descriptifs
- 3) Faciès paléogéographique
- 4) Cycle de sédimentation: régressif ou transgressif
- 5) Localisation géographique
- 6) Localisation stratigraphique
- 7) Numéro INRS de l'échantillon (voir annexe 1 pour coordonnées)
- 8) Numéro du cliché (sur annexe 1)
- 9) Taux d'agrandissement

PLANCHE 1

- FIGURE 1 - Biomicrosparite ou calcisiltite pelleteïde à bioclastes. Faciès occidental des carbonates de plate-forme. Cap de Rabast. Coupe Ouest. Groupe de Jolliet, Formation de Vauréal inférieure. INRS 11380; photo 1, 22X.
- FIGURE 2 - Biopelmicrite bioturbée ou calcaire mudstone à bioclastes et pellets, bioturbé. Faciès occidental des carbonates de plate-forme. Cap de Rabast. Coupe Ouest. Groupe de Jolliet, Formation de Vauréal inférieure. INRS 11381; photo 14; 17X.
- FIGURE 3 - Biomicrorudite ou calcaire packstone bioclastique, à Mollusques. Faciès occidental des carbonates de plate-forme. A l'ouest du cap de Rabast. Coupe Ouest. Groupe de Jolliet, Formation de Vauréal inférieure. INRS 11385; photo 7; 22X.
- FIGURE 4 - Biomicrosparite ou calcisiltite pelleteïde à bioclastes orientés. Faciès occidental des carbonates de plate-forme. Baie du Grand Makasti. Coupe Ouest. Groupe de Jolliet, Formation de Vauréal inférieure. INRS 11390; photo 15; 22X.

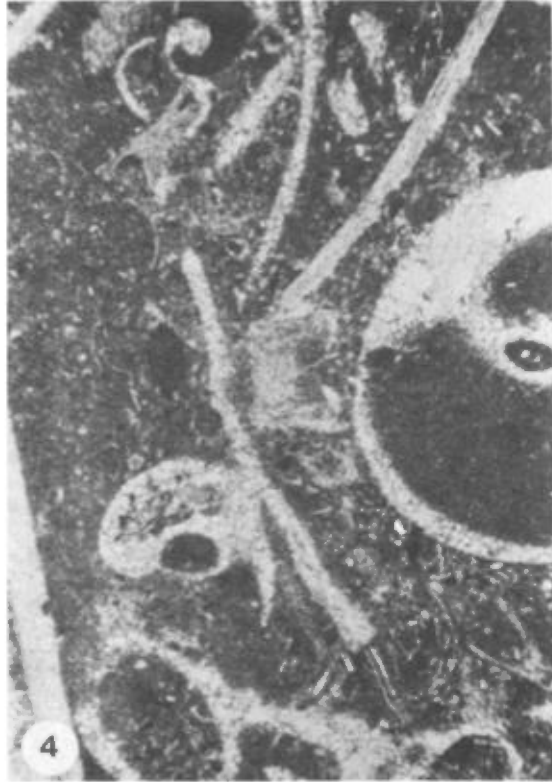
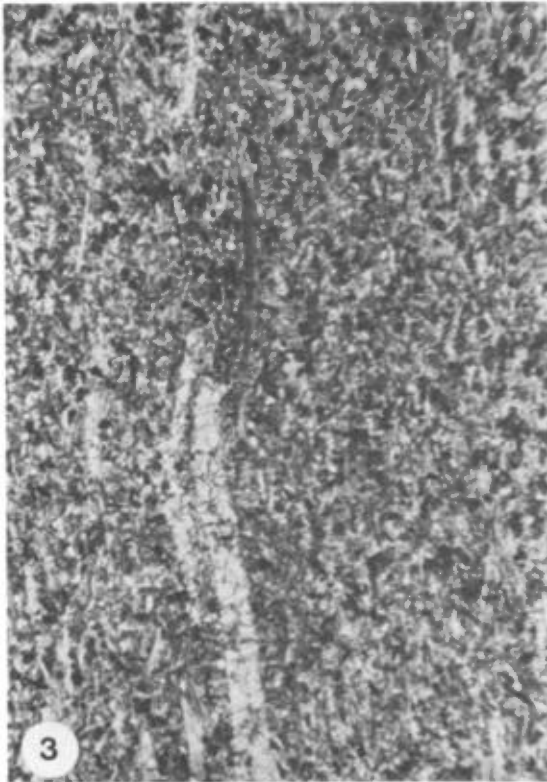
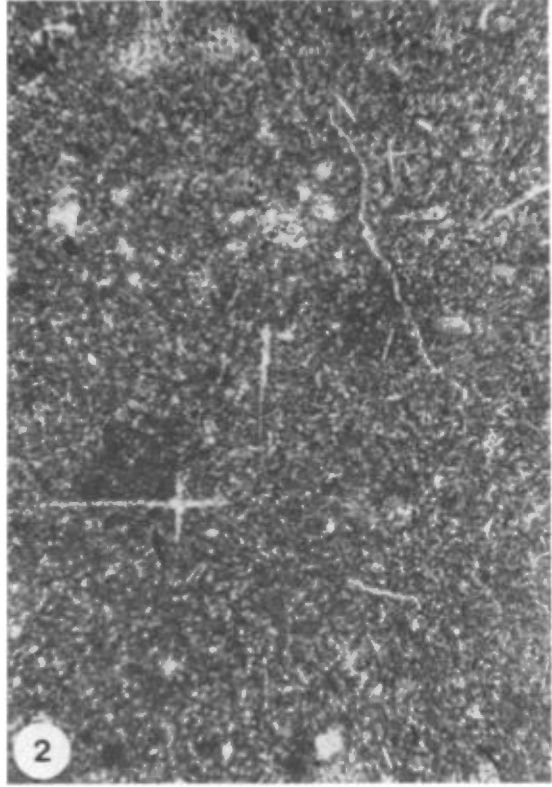
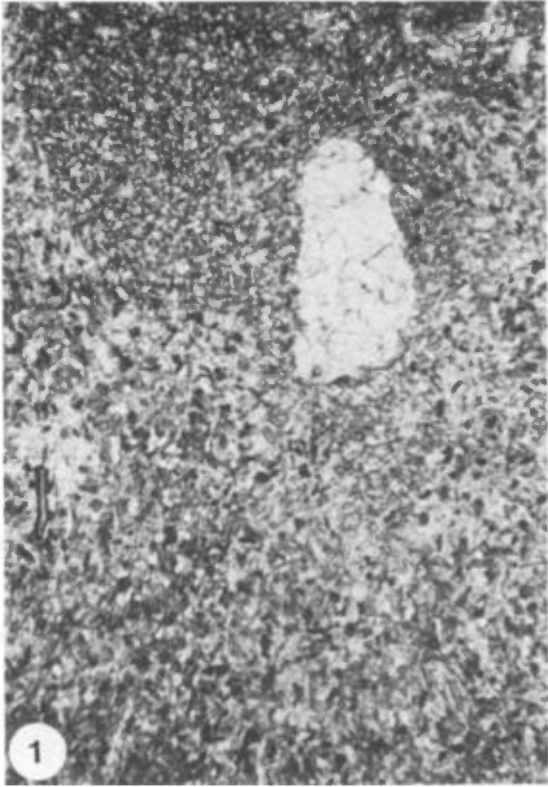


PLANCHE 2

- FIGURE 1 - Biomicrosparite ou calcaire packstone bioclastiques, à Brachiopodes. Faciès occidental des carbonates de plate-forme. Baie du Petit Makasti. Coupe Ouest. Groupe de Jolliet, Formation de Vauréal inférieure. INRS 11397; photo 21, 22X.
- FIGURE 2 - Intrasparudite ou calcaire grainstone bioclastique, à Echinodermes abondants. Faciès occidental des carbonates de plate-forme. Grand Ruisseau. Coupe Ouest. Groupe de Jolliet, Formation de Vauréal moyenne. INRS 11408; photo 31; 22X.
- FIGURE 3 - Biosparite ou calcaire grainstone bioclastique à algues (Codiaceae, Dasycladaceae, débris indéterminés et encroûtement par de la micrite algale). Faciès occidental des carbonates de plate-forme. Pointe à la Goélette. Coupe Ouest. Groupe de Jolliet, Formation de Vauréal supérieure, INRS 11433; photo 27; 22X.
- FIGURE 4 - Biomicrosparudite ou calcaire packstone bioclastique, à Echinodermes, Bryozoaires, Brachiopodes et Gastéropodes. Anse aux Fraises. Faciès occidental des carbonates de plate-forme. Coupe Ouest. Groupe de Jolliet, Formation de Vauréal supérieure. INRS 11451; photo 9; 17X.

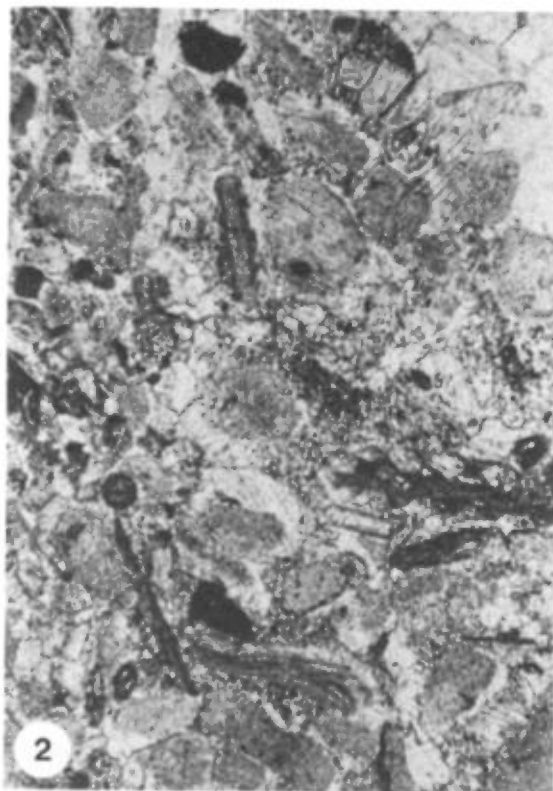


PLANCHE 3

FIGURE 1 - Biomicrudite ou calcaire wackestone à Brachiopodes, Echinodermes et Bryozoaires; siliciclastiques, argiles et idiomorphes de dolomie en quantité mineure. Faciès occidental des carbonates de plate-forme; cycle régressif. Cap de la Vache-qui-Pisse (Junction Cliff). Coupe Ouest. Coupe-type de la Formation d'Ellis Bay, Groupe de Jolliet, membre 1. INRS 11460; photo 17; 17X.

FIGURE 2 - Micrite à biomicrite ou calcaire mudstone à calcaire mudstone bioclastique. Faciès occidental des carbonates de plate-forme; cycle régressif. Cap de la Vache-qui-Pisse (Junction Cliff). Coupe Ouest. Coupe-type de la Formation d'Ellis Bay, Groupe de Jolliet, membre 2. INRS 11466; photo 25; 22X.

FIGURE 3 - Biomicrudite ou calcaire wackestone à Echinodermes. Faciès occidental des carbonates de plate-forme, cycle régressif. Falaise Ouest. Coupe Ouest. Coupe de référence de la Formation d'Ellis Bay, Groupe de Jolliet, membre 3 supérieur. INRS 11471; photo 29; 17X.

FIGURE 4 - Biomicrite ou calcaire wackestone à Echinodermes, Brachiopodes, Gastéropodes, Coraux, Trilobites et Algues (mineures). Faciès occidental des carbonates de plate-forme; cycle régressif. Falaise Ouest (West Cliff). Coupe Ouest. Coupe de référence de la Formation d'Ellis Bay, Groupe de Jolliet, membre 5 inférieure. INRS 11478; photo 34; 17X.

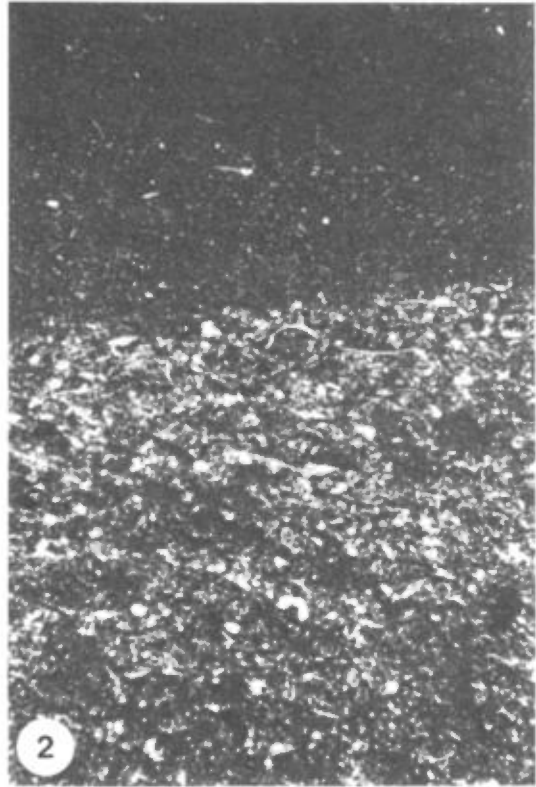
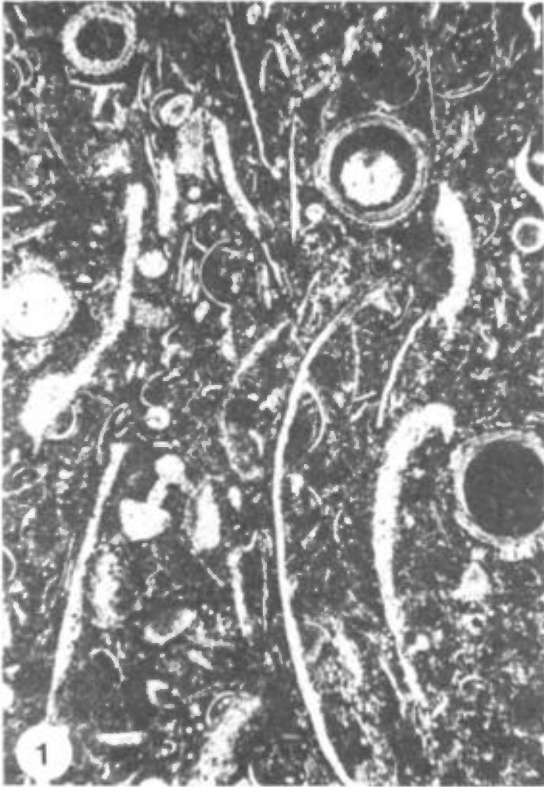


PLANCHE 4

- FIGURE 1 - Wacke quartzeux ou grès siliciclastique, calcareux, argileux, immature. Faciès oriental de transition carbonate-siliciclastique; cycle régressif. Coupe de la rivière aux Saumons. Groupe de Jolliet, Formation de Vauréal supérieure. INRS 11933; photo 15; 55X.
- FIGURE 2 - Biomicrudite ou calcaire wackestone, à Bryozoaires et Echinodermes; aussi Brachiopodes et spicules d'éponges. Faciès oriental de transition carbonate-siliciclastique; cycle régressif. Coupe de la rivière aux Saumons. Groupe de Jolliet, Formation de Vauréal supérieure. INRS 11922; photo 2; 17X.
- FIGURE 3 - Biomicrite quartzeuse ou calcaire wackestone quartzeux; liant de calcite micrite à sparite xénomorphe; à Echinodermes et traces d'Algues, etc. Faciès oriental de transition carbonate-siliciclastique; cycle transgressif. Coupe de la rivière aux Saumons. Groupe de Jolliet, Formation d'Ellis Bay, membre 2. INRS 11951; photo 16; 17X.
- FIGURE 4 - Biomicrite ou calcaire packestone bioclastique, à Echinodermes. Faciès oriental de transition carbonate-siliciclastique; cycle transgressif. Coupe de la rivière aux Saumons. Groupe de Jolliet, Formation d'Ellis Bay, membre 6. INRS 11967; photo 34; 22X.

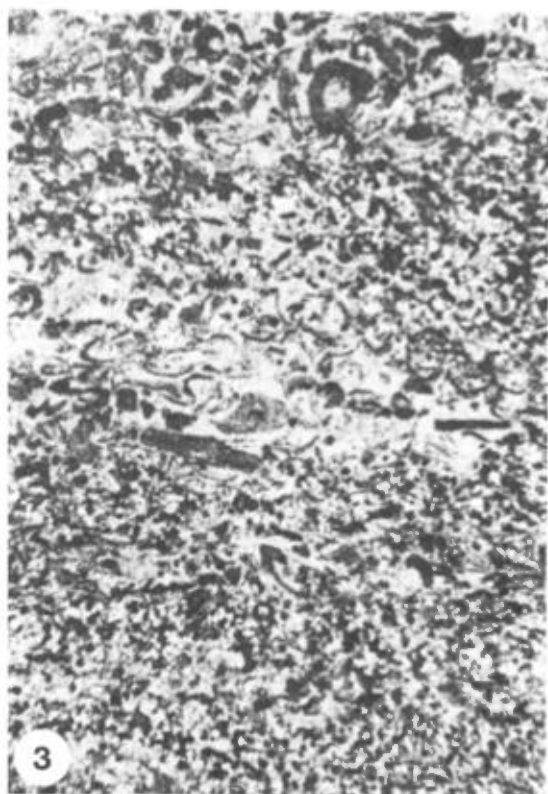
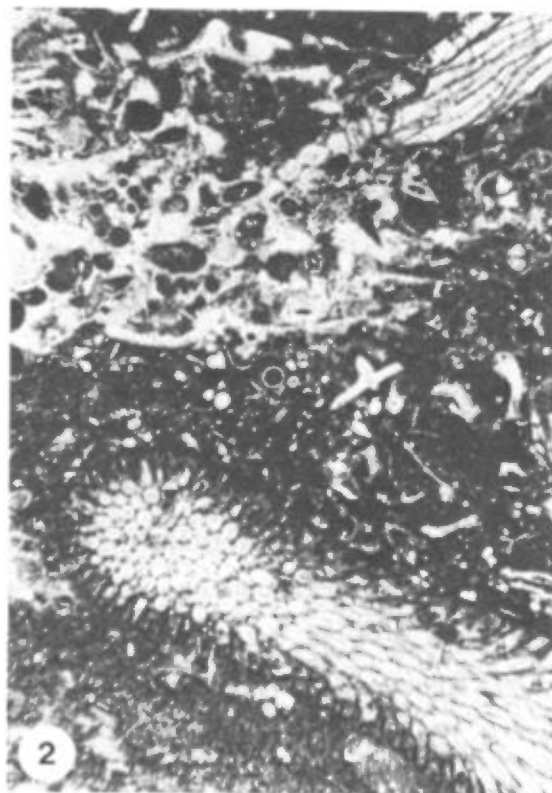
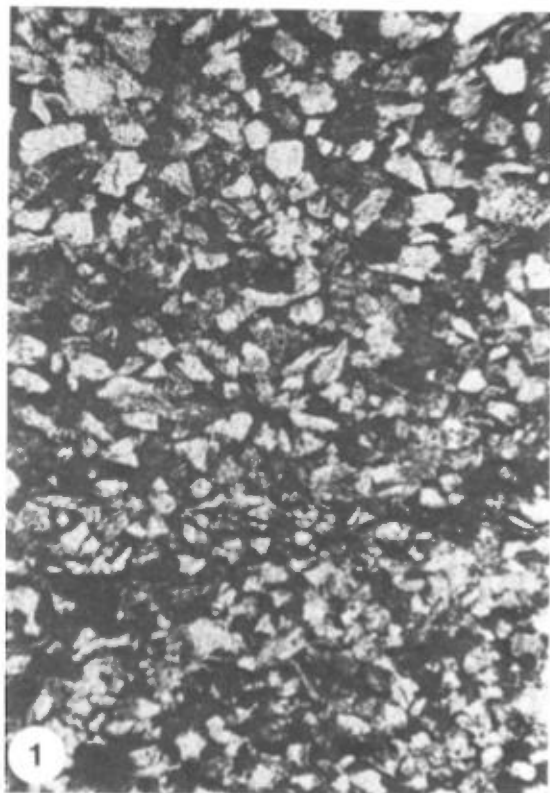


PLANCHE 5

- FIGURE 1 - Biolithite calcareuse, à Coraux ou calcaire boundstone, à Coraux. Faciès occidental des carbonates de plate-forme. Cycle transgressif. Coupe Ouest. Coupe-type de la Formation d'Ellis Bay. Région de pointe Laframboise. Groupe de Jolliet, Formation d'Ellis Bay, membre 5. INRS 11480; photo 36; 17X.
- FIGURE 2 - Biomicrudite, dolomarnoquartzreuse ou calcaire wackestone, dolomitique, marneux et quartzeux; dolomie de microsparite idiomorphe. Faciès occidental des carbonates de plate-forme; cycle transgressif. Coupe Ouest. Coupe-type de la Formation d'Ellis Bay. Région de la pointe Laframboise. Groupe de Jolliet, Formation d'Ellis Bay, membre 5. INRS 11483; photo 1; 17X.
- FIGURE 3 - Biosparite calcareuse, algair ("bio-oncosparite") ou calcaire grainstone, à Algues (Oncolithes de Girvanelles et autres Algues) et Echinodermes. Faciès occidental de carbonates de plate-forme; cycle régressif. Coupe Ouest. Coupe-type de la Formation d'Ellis Bay. Pointe Laframboise. Groupe de Jolliet, Formation d'Ellis Bay, partie basale du membre 7. Lit de plate-forme de la zone de bioherme. INRS 11488; photo 8; 17X.
- FIGURE 4 - Biotithite calcareuse, à Coraux et Algues ou calcaire boundstone, à Coraux et Algues (*Wetheredella* sp.). Faciès occidental des carbonates de plate-forme; cycle régressif. Groupe de Jolliet, Formation d'Ellis Bay, membre 7, zone à biohermes (récifs). INRS 11491; photo 12; 22X.

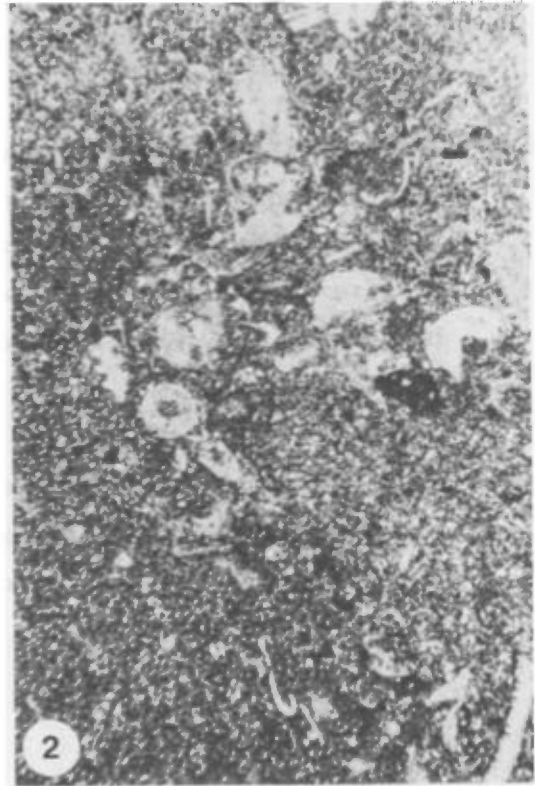


PLANCHE 6

- FIGURE 1 - Intrasparite quartzeuse ou calcaire packstone bioclastique, quartzeux, à Algues (Codiaceae et Dasycladaceae) et oolithes (rares). Faciès oriental de transition carbonate-siliciclastique; cycle régressif. Coupe de la rivière aux Saumons. Groupe de Jolliet, Formation d'Ellis Bay, membre 7, bioherme. INRS 11971; photo 8; 22X.
- FIGURE 2 - Biomicrosparudite quartzeuse ou calcaire grainstone quartzeux, à bioclastes; remplacement partiel par la barytine. Faciès oriental de transition carbonate-siliciclastique; cycle régressif. Coupe de la rivière Prinsta. Groupe de Jolliet, Formation d'Ellis Bay, membre 5. INRS 11983; photo 14; 17X.
- FIGURE 3 - Intrasparudite ou calcaire grainstone à bioclastes, intraclasts et Algues (Dasycladaceae et débris indéterminés; encroûtement algaire). Faciès oriental de transition carbonate-siliciclastique; cycle régressif. Falaise aux Goélands. Groupe d'Anticosti, Formation de Gun River supérieure; zone de bioherme. INRS 11982; photo 12; 17X.
- FIGURE 4 - Intrasparite à biolithite quartzeuse ou calcaire packstone quartzeux à calcaire boundstone, à Algues (Codiaceae et Dasycladaceae). Faciès oriental de transition carbonate-siliciclastique; cycle régressif. Coupe de la rivière aux Saumons. Groupe de Jolliet, Formation d'Ellis Bay, membre 7, bioherme. INRS 11971; photo 9; 17X.

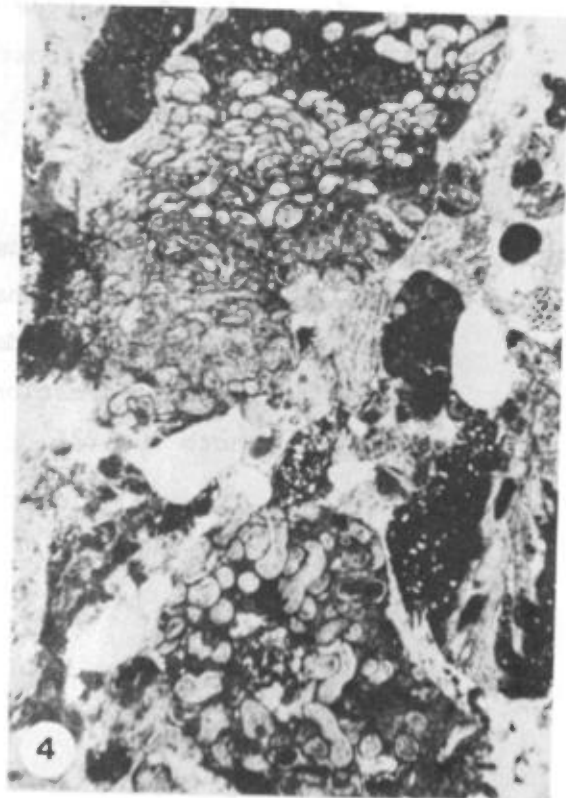
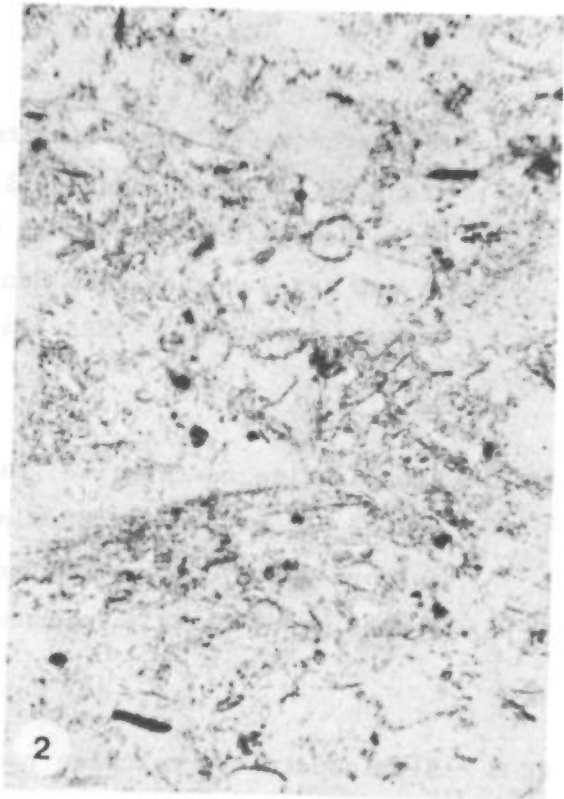
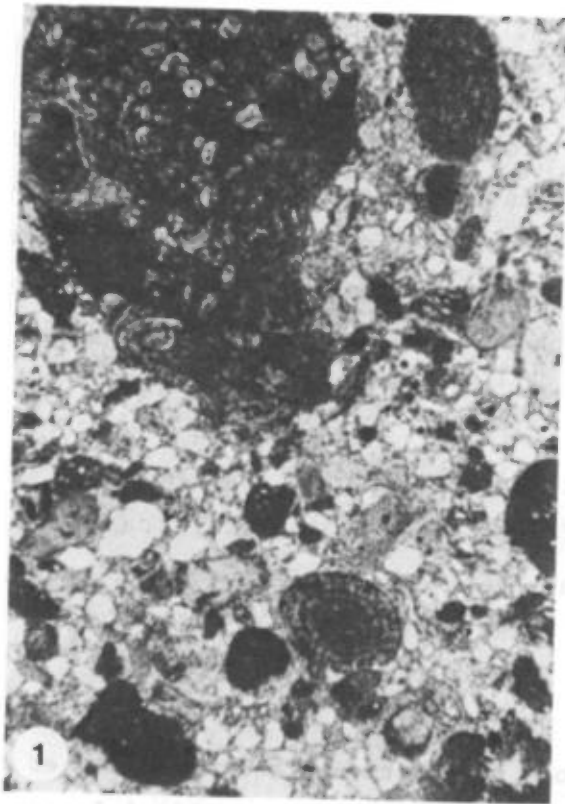


PLANCHE 7

FIGURE 1 - Biosparudite et biopelmicrite (à droite) ou calcaire grainstone bioclastique et calcaire mudstone à pellets. Faciès occidental des carbonates de plate-forme; cycle transgressif. Coupe Ouest; au nord-ouest du cap aux Ivrognes (cap Henri). Groupe d'Anticosti, Formation de Becscie, membre 1. INRS 11493; photo 14; 17X.

FIGURE 2 - Biosparudite ou calcaire grainstone bioclastique. Faciès occidental des carbonates de plate-forme; cycle transgressif. Coupe Ouest; au nord-ouest du cap aux Ivrognes (cap Henri). Groupe d'Anticosti, Formation de Becscie, membre 1. INRS 11495; photo 15; 17X.

FIGURE 3 - Biomicrudite ou calcaire packstone bioclastique, à Bryozoaires et trace d'Algues. Faciès occidental de transition carbonate-siliciclastique; cycle régressif. Coupe-type de la Formation de Becscie; au sud du cap à l'Aigle. Groupe d'Anticosti; Formation de Becscie, membre 1. INRS 11505; photo 2; 17X.

FIGURE 4 - Biosparite ou calcaire grainstone bioclastique, à dolomie xénomorphe. Faciès occidental des carbonates de plate-forme; cycle transgressif. Coupe-type de la Formation de Becscie. Région de la rivière aux Graines. Groupe d'Anticosti, Formation de Becscie, membre 2, bioherme. INRS 11542; photo 30; 22X.

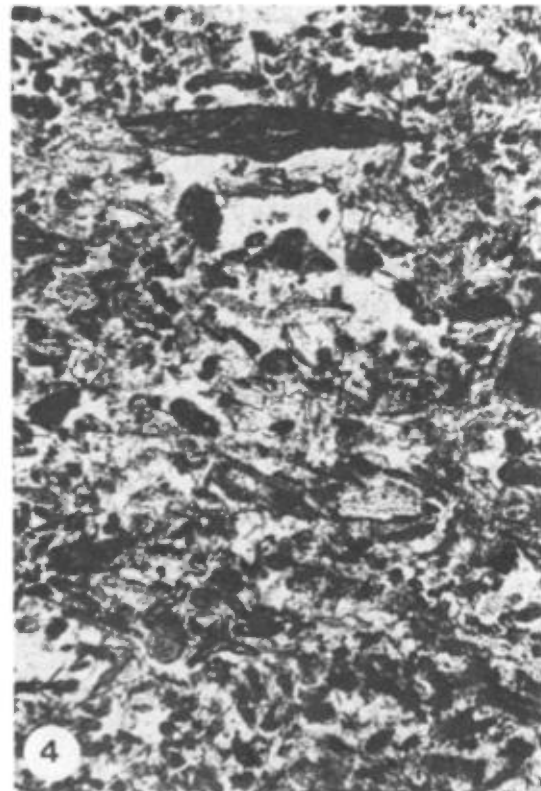
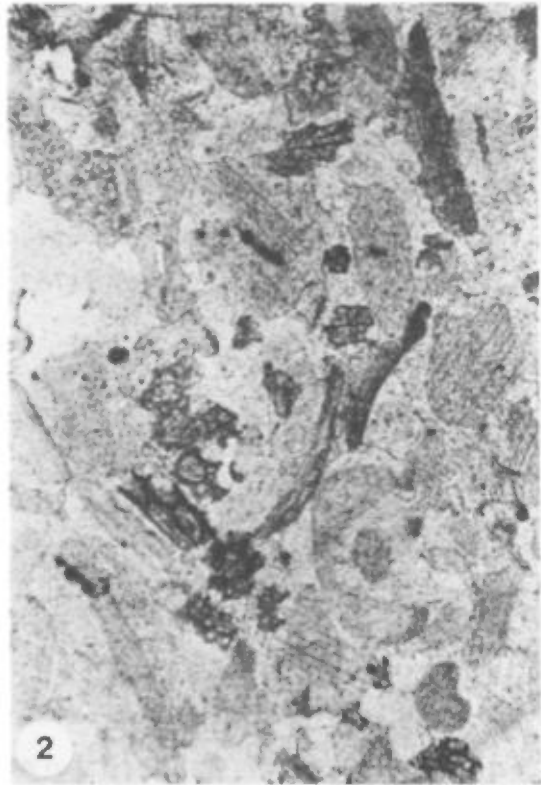


PLANCHE 8

FIGURE 1 - Biomicrudite ou calcaire wackestone, à Coraux. Faciès occidental des carbonates de plate-forme. Coupe de la Rivière Jupiter; confluence du ruisseau au Cheval. Groupe d'Anticosti, partie supérieure de la Formation de Becscie. INRS 11752; photo 11; 17X.

FIGURE 2 - Biomicrudite ou calcaire packstone bioclastique, à Gastéropodes. Faciès occidental des carbonates de plate-forme; cycle transgressif. Coupe de la Rivière Jupiter. Groupe d'Anticosti, partie supérieure de la Formation de Gun River. INRS 11769; photo 28; 17X.

FIGURE 3 - Biopelsparite ou calcaire bioclastique, à pelleteïdes. Faciès occidental des carbonates de plate-forme. Coupe de la Rivière Jupiter. Groupe d'Anticosti, partie centrale de la Formation de Gun River. INRS 11776; photo 34; 22X.

FIGURE 4 - Biomicrosparite ou calcaire packstone bioclastique, à pelleteïdes. Faciès occidental des carbonates de plate-forme; cycle transgressif. Coupe de la Rivière à l'Huile. Groupe de Jolliet, Formation d'Ellis Bay, membre 2. INRS 11799; photo 20; 17X.

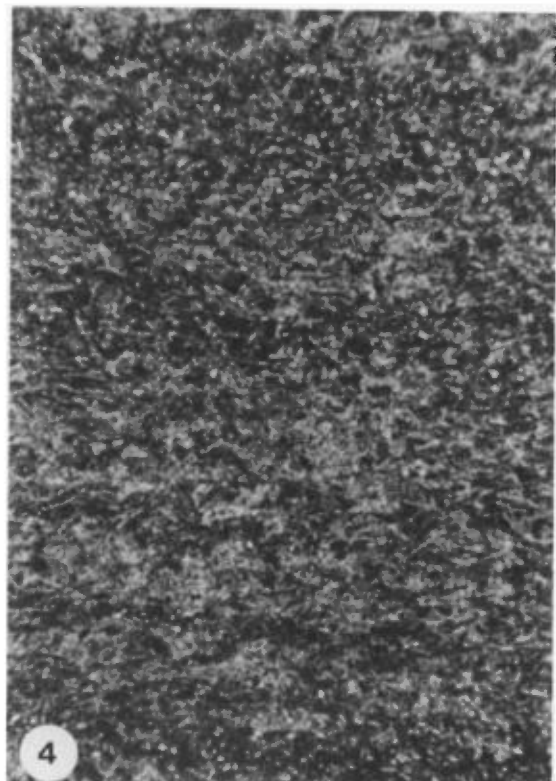
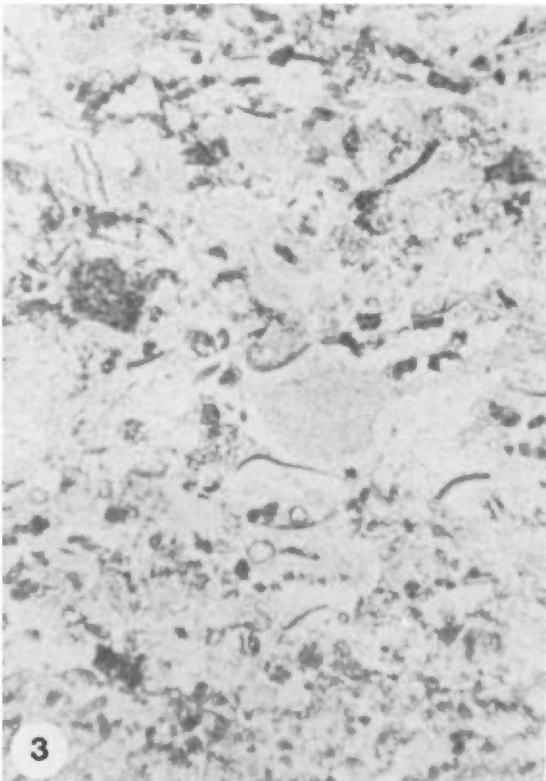
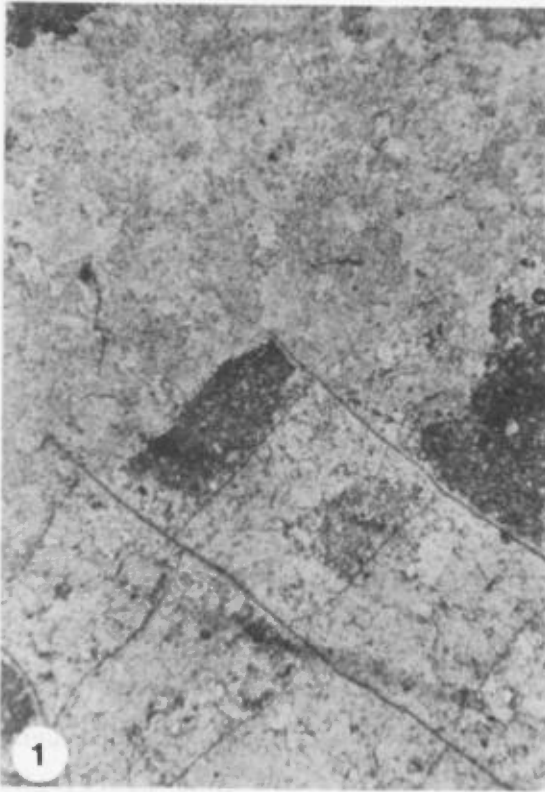


PLANCHE 9

FIGURE 1 - Biomicrite quartzeuse ou calcaire mudstone quartzeux. Faciès occidental des carbonates de plate-forme; Coupe de la Côte Sud-Centrale. Groupe d'Anticosti, Formation de Jupiter, membre 2. INRS 11663; photo 29; 22X.

FIGURE 2 - Biomicrite quartzeuse ou calcaire wackestone quartzeux; pyritisation locale. Faciès occidental des carbonates de plate-forme. Coupe de la Côte Sud-Centrale. Groupe d'Anticosti, Formation de Jupiter, membre 2. INRS 11667; photo 34; 22X.

FIGURE 3 - Biopelmicrite ou calcaire wackestone, à bioclastes et pellets. Faciès occidental des carbonates de plate-forme. Coupe de la Côte Sud-Centrale. Groupe d'Anticosti, Formation de Jupiter, membre 3. INRS 11670; photo 10; 22X.

FIGURE 4 - Biomicrosparudite ou calcaire packstone bioclastique. Faciès occidental des carbonates de plate-forme; coupe de la Côte Sud-Centrale. Groupe d'Anticosti, Formation de Jupiter, supérieure. INRS 11714; photo 4; 22X.

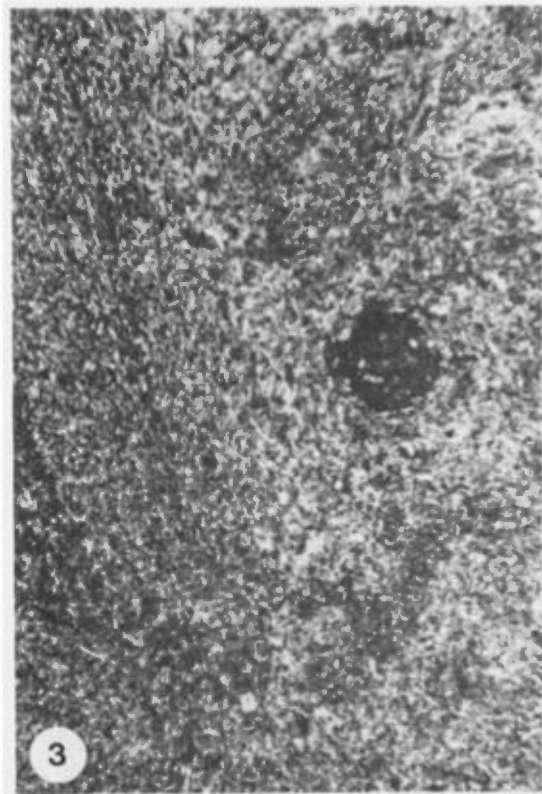
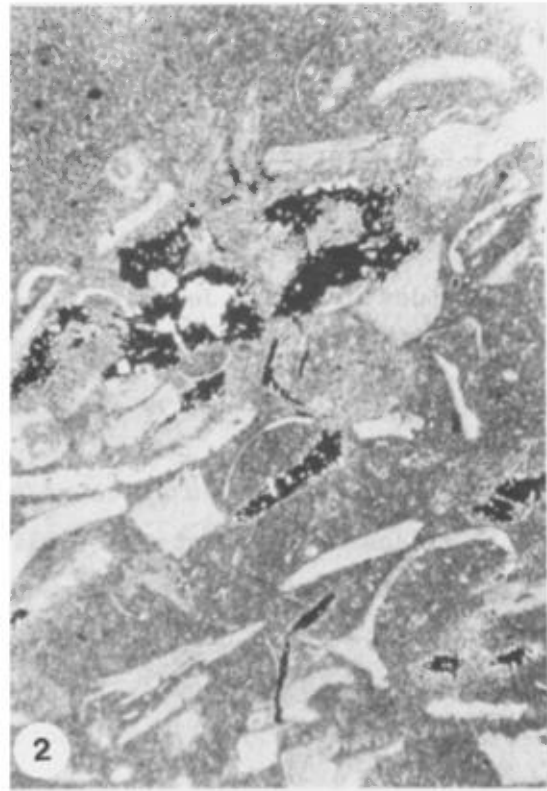
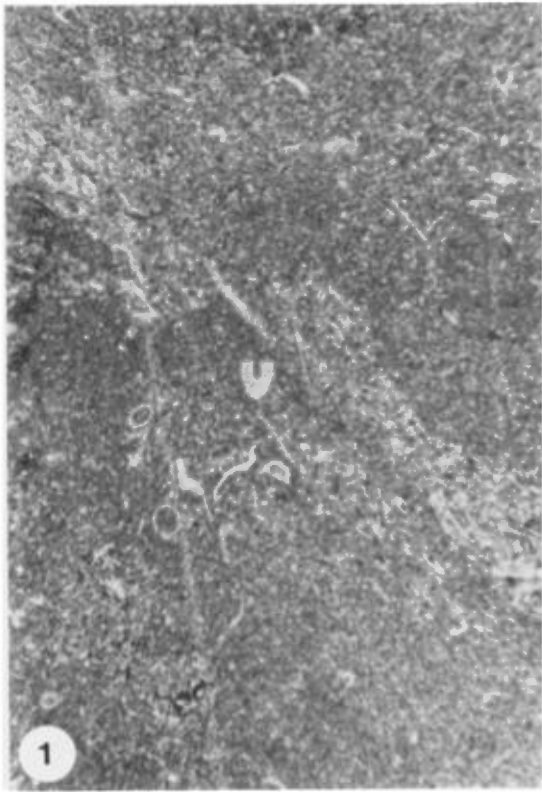


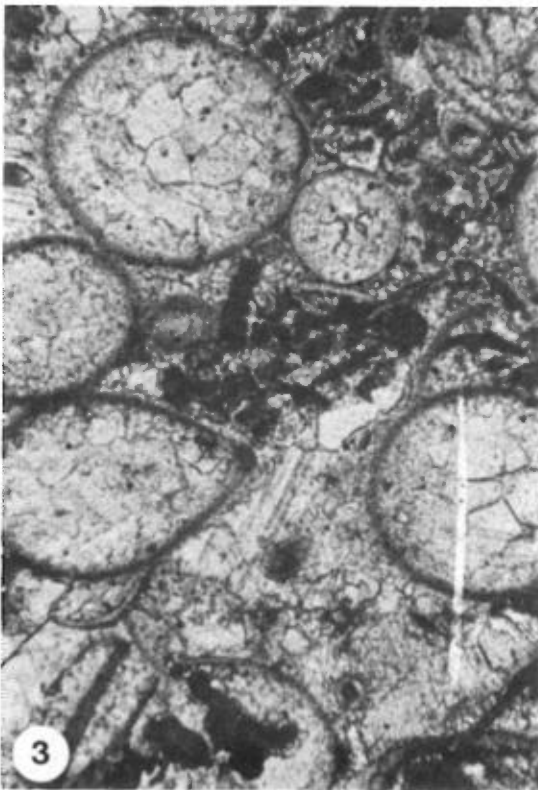
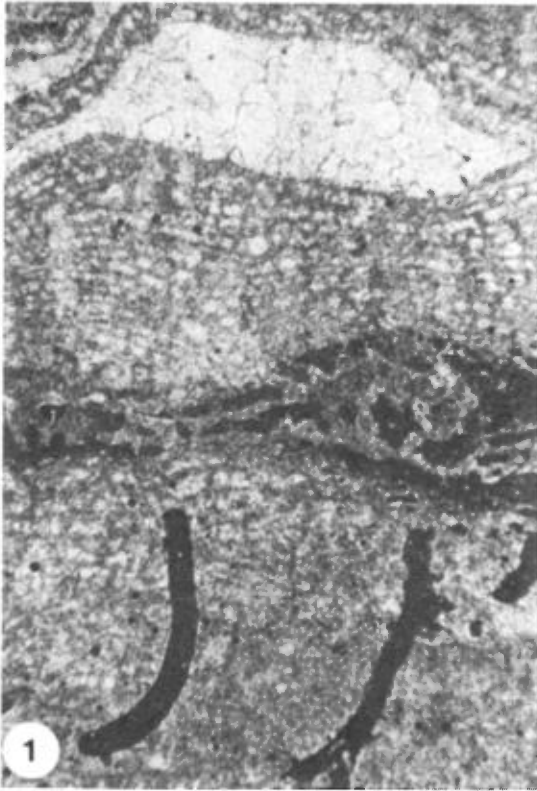
PLANCHE 10

FIGURE 1 - Biomicrudite ou calcaire packstone, à Stromatopores; vacuoles remplies de sparite ou micrite. Faciès occidental des carbonates de plate-forme; cycle régressif. Coupe de la Côte Sud-Centrale, région ouest des brisants Jumpers. Groupe d'Anticosti, Formation de Chicotte, membre 1, zone à biohermes. INRS 11715; photo 5; 17X.

FIGURE 2 - Biosparudite ou calcaire grainstone bioclastique à Algues (Dasycladaceae et Codiaceae) et lithoclastes de calcaire bioclastique. Faciès occidental des carbonates de plate-forme, cycle régressif. Coupe de la Côte Sud-Centrale, région ouest des brisants Jumpers. Groupe d'Anticosti, Formation de Chicotte, membre 1, zone à biohermes. INRS 11718; photo 10, 22X.

FIGURE 3 - Biosparudite ou calcaire grainstone bioclastique, rudacée, à Coraux. Faciès occidental des carbonates de plate-forme; cycle régressif. Coupe de la Côte Sud-Centrale, région ouest des brisants Jumpers. Groupe d'Anticosti, Formation de Chicotte, membre 1, zone à biohermes. INRS 11719; photo 13; 17X.

FIGURE 4 - Travertin à cristaux aciculaires et radiaux. Faciès occidental des carbonates de plate-forme; cycle régressif. Coupe de la Côte Sud-Centrale; anse Gibbons, au sud-est de la pointe du Sud-Ouest. Groupe d'Anticosti, Formation de Chicotte, membre 2. INRS 11721; photo 14; 22X.



MICROFACIÈS - VALEURS DES PRINCIPAUX DESCRIPTEURS

Les valeurs dont il est question sont les diamètres du quartz détritique et les pourcentage des autres descripteurs retenus pour l'analyse des microfaciès. Ces valeurs sont présentées sous forme de tableaux et de diagrammes pour les coupes suivantes:

Ouestp. 93-102	Côte Sud-Centralep. 116-119
Ouest (Becscie) ... 103-104	Rivière Chicotte 120-122
Rivière à l'Huile . 105-110	Rivière aux Saumons .. 123
Rivière Jupiter ... 111-115	

Les **TABLEAUX** comptent 22 colonnes. Les deux premières donnent le numéro d'échantillon (INRS) et la cote de l'échantillon (en 1/10 de mètre). Les autres, numérotées de 1 à 20, donnent les renseignements suivants:

- 1 - Diamètre maximum du quartz détritique, en microns;
- 2 - % combiné de quartz, feldspath et fragments de roches sédimentaires, métamorphiques ou ignées (y compris le % de la colonne 10).
- 3 - % de biotite;
- 4 - % de minéraux argileux;
- 5 - Total des colonnes 6 et 7
- 6 - % de cristaux de calcite plus grands que 64 μ m (sparite);
- 7 - % de dolomite, éléments figurés exclus;
- 8 - % d'éléments figurés pelletoides;
- 9 - % d'éléments figurés onchoïdes;
- 10 - % de fragments de roche calcaire;
- 11 - Total des colonnes 12 à 20
- 12 - % des coralliaires
- 13 - % de stromatopores
- 14 - % d'échinodermes;
- 15 - % de bryozoaires;
- 16 - % de brachiopodes calcitiques;
- 17 - % de codiacées;
- 18 - % de dasycladacées;
- 19 - % de porostomates;
- 20 - % d'algues, de débris indéterminés ou d'*incertae sedis*.

BIEN NOTER ici que le total des pourcentages ne se chiffre qu'aux alentours de 100, les données individuelles ayant été arrondies et les quantités de minéraux opaques et de matière organique n'ayant pas été portées au tableau.

Les **DIAGRAMMES** des pourcentages ne sont fournis que pour les descripteurs qui comportent au moins trois valeurs positives. Au sujet de ces diagrammes, il faut noter que:

- . Les pages qui les contiennent comportent, à gauche, une échelle verticale (en mètres) et les numéros d'échantillons INRS.
- . Les diagrammes sont coiffés d'une échelle comportant les valeurs extrêmes pour l'ensemble des échantillons.
- . Les échantillons mentionnés dans les tableaux ne font l'objet de barres que si celles-ci ne se confondent ou ne se superposent. Ainsi, les échantillons 11397 et 11398 de la coupe Ouest (page 94) ne sont pas figurés aux pages 96, 98 et 101 parce que l'un est au même niveau stratigraphique que l'échantillon 11399 et que l'autre n'est pas suffisamment éloigné pour être individualisé.
- . Les cas où une barre tient lieu de représentation pour plusieurs échantillons sont signalés par une croix en début de ligne.
- . L'intervalle entre les barres pour deux échantillons montrant une séparation stratigraphique supérieure à 4 m est comblé par des barres intermédiaires dont les longueurs sont extrapolées.

Coupe Ouest

Tableau des valeurs

	1	2	3	4	5	6	7	8	9	10	11	12	13	14	15	16	17	18	19	20
11385	0	70	2	0	40	2	0	3	0	0	55	0	0	5	0	2	0	0	0	0
11379	50	120	6	0	41	0	0	5	0	0	45	0	0	10	1	4	0	0	0	1
11380	57	100	4	0	0	52	2	0	10	0	35	0	0	10	1	3	0	0	0	0
11381	82	80	2	0	0	45	0	0	5	0	47	0	0	20	1	1	0	0	0	0
11381	82	80	6	0	1	79	0	0	5	0	8	0	0	1	0	0	0	0	0	0
11382	170	80	3	0	0	47	6	1	15	0	35	0	0	20	0	2	0	0	0	0
11385	203	0	0	0	3	96	1	0	0	0	0	0	0	0	0	0	0	0	0	0
11384	203	120	20	0	20	42	0	15	0	0	15	0	0	2	0	0	0	0	0	0
11384	203	30	3	0	5	89	0	1	0	0	2	0	0	0	0	0	0	0	0	0
11385	203	50	15	1	30	38	0	10	2	0	12	0	0	0	0	0	0	0	0	0
11386	263	230	31	0	0	31	31	0	3	0	30	33	2	0	3	4	0	0	0	0
11387	379	80	9	0	2	37	0	2	10	0	3	41	0	0	25	0	1	0	0	0
11388	400	150	9	0	20	70	0	0	0	0	0	0	0	0	0	0	0	0	0	0
11389	496	40	3	0	0	64	0	1	0	0	32	0	0	0	0	5	0	0	0	0
11390	532	100	5	0	0	49	1	2	10	0	35	0	0	10	0	4	0	0	0	0
11391	620	60	2	0	1	80	0	2	5	0	11	0	0	0	1	0	0	0	0	0
11393	1094	100	10	0	0	54	0	0	0	0	28	0	0	5	0	2	0	0	0	0
11393	1094	80	6	1	2	78	0	4	3	0	8	0	0	0	1	0	0	0	0	0
11394	1214	80	2	0	2	92	0	15	0	0	3	0	0	1	0	0	0	0	0	0
11394	1214	80	11	0	1	57	0	1	5	0	0	25	0	0	3	0	5	0	0	0
11395	1269	60	1	0	0	78	0	0	5	0	14	0	0	0	0	0	0	0	0	0
11395	1269	100	1	0	2	42	15	0	2	0	52	0	0	5	5	15	0	0	0	0
11397	1338	100	2	0	1	41	15	0	10	0	43	0	0	3	1	20	0	0	0	0
11398	1342	100	2	0	0	44	42	2	3	0	50	0	0	25	1	15	0	0	0	0
11399	1342	60	2	0	5	87	0	0	1	0	3	0	0	1	0	0	0	0	0	0
11399	1342	80	4	0	5	56	0	0	15	0	18	0	0	3	0	1	0	0	0	0
11400	1419	80	4	0	5	72	2	3	3	0	13	0	0	1	0	1	0	0	0	0
11401	1465	100	5	0	0	90	0	3	0	0	3	0	0	0	1	0	0	0	0	0
11402	1465	40	3	0	3	52	20	0	1	0	37	1	0	10	15	5	0	0	0	0
11403	1544	40	2	0	1	52	25	5	1	0	43	0	0	15	2	5	0	0	0	0
11406	2213	60	5	0	2	44	0	0	10	0	38	0	0	15	1	2	0	0	0	1
11407	2244	90	2	0	0	45	25	0	2	0	50	0	0	25	1	7	0	0	0	2
11407	2244	100	5	0	2	71	5	0	5	0	16	0	0	5	0	1	0	0	0	1
11408	2276	100	44	0	0	25	22	3	0	41	30	0	0	25	1	1	0	0	0	0
11409	2325	80	9	0	0	42	35	4	5	0	43	0	0	20	1	4	0	0	0	0
11410	2446	100	9	0	0	36	0	2	15	0	39	0	0	15	0	2	0	0	0	0
11411	2488	80	3	0	0	49	0	0	10	0	37	0	0	10	0	2	0	0	0	0
11412	2520	80	3	0	0	55	1	2	3	0	38	0	0	2	1	1	0	0	0	1
11413	2571	80	1	0	0	42	40	2	0	0	57	20	0	15	5	7	0	0	0	0
11414	2571	100	14	0	0	48	15	25	7	0	34	0	0	10	2	0	0	0	0	0
11415	2571	80	2	0	0	46	21	25	10	0	40	0	0	20	2	5	0	0	0	0
11415	2788	100	5	0	0	65	1	2	10	0	18	0	0	5	2	0	0	0	0	1
11416	2830	80	4	0	0	74	0	2	2	0	19	0	0	3	1	2	0	0	0	0
11416	2830	80	1	0	1	69	1	1	0	0	30	1	0	2	0	8	0	0	0	0
11417	2883	20	5	0	5	89	0	0	0	0	0	0	0	0	0	0	0	0	0	0
11419	2936	100	12	0	0	62	45	7	15	0	9	0	0	5	1	0	0	0	0	1
11421	3081	80	1	0	0	42	0	0	12	0	42	0	0	10	1	1	0	0	0	1
11423	3111	50	2	0	0	30	0	2	10	0	57	0	0	2	1	2	0	0	0	0
11423	3111	80	1	0	4	91	0	2	0	0	3	0	0	1	0	0	0	0	0	0
11424	3204	80	5	0	0	48	10	4	25	0	20	0	0	5	1	1	0	0	0	1
11426	3252	80	6	0	1	47	35	2	8	0	36	0	0	10	1	1	0	0	0	1
11425	3252	80	1	0	1	54	20	3	0	0	42	0	0	25	5	1	0	0	0	1
11429	3389	80	1	0	0	50	15	2	16	0	32	0	0	15	3	0	0	0	0	1
11429	3389	0	30	0	0	34	27	7	1	0	30	35	0	25	3	2	0	0	0	0
11428	3389	70	1	0	0	52	40	1	17	0	31	0	0	15	2	1	0	0	0	0
11427	3389	70	1	0	1	45	0	2	16	0	36	2	0	10	2	1	0	0	0	1
11430	3799	60	1	0	0	54	1	1	10	0	34	0	0	10	2	1	0	0	0	2
11431	3959	80	2	0	0	54	1	5	25	0	17	0	0	5	0	0	0	0	0	1
11432	3999	40	7	0	0	46	1	7	40	0	6	0	0	1	1	0	0	0	0	1
11433	4009	0	2	0	0	43	25	0	10	0	2	43	2	0	30	2	1	1	0	2
11434	4009	60	7	0	0	44	0	1	20	0	5	29	0	0	25	1	0	0	0	1
11435	4029	70	1	0	1	65	25	2	15	0	0	18	0	0	5	0	0	0	0	1
11437	4057	70	6	0	0	47	0	1	7	0	5	37	12	5	10	2	1	0	2	1
11438	4102	100	7	0	3	66	0	8	3	0	20	1	0	7	1	4	0	0	0	1
11439	4102	70	8	0	0	51	0	1	20	0	1	20	0	0	5	1	3	0	0	1
11440	4112	40	1	0	0	48	0	1	1	0	9	49	0	0	2	1	0	0	0	1
11441	4112	80	5	0	0	78	5	2	10	0	0	5	0	0	0	0	0	0	0	0
11441	4112	60	3	0	0	42	2	0	10	0	0	43	0	0	2	1	0	0	0	1
11444	4120	50	49	0	0	38	0	0	3	0	45	9	0	0	5	1	0	0	0	1
11443	4162	60	4	0	0	47	0	1	4	0	0	44	0	0	2	2	0	0	0	1
11445	4236	60	4	0	0	43	2	1	0	0	2	49	0	0	2	1	0	1	0	0

Coupe Ouest (suite)

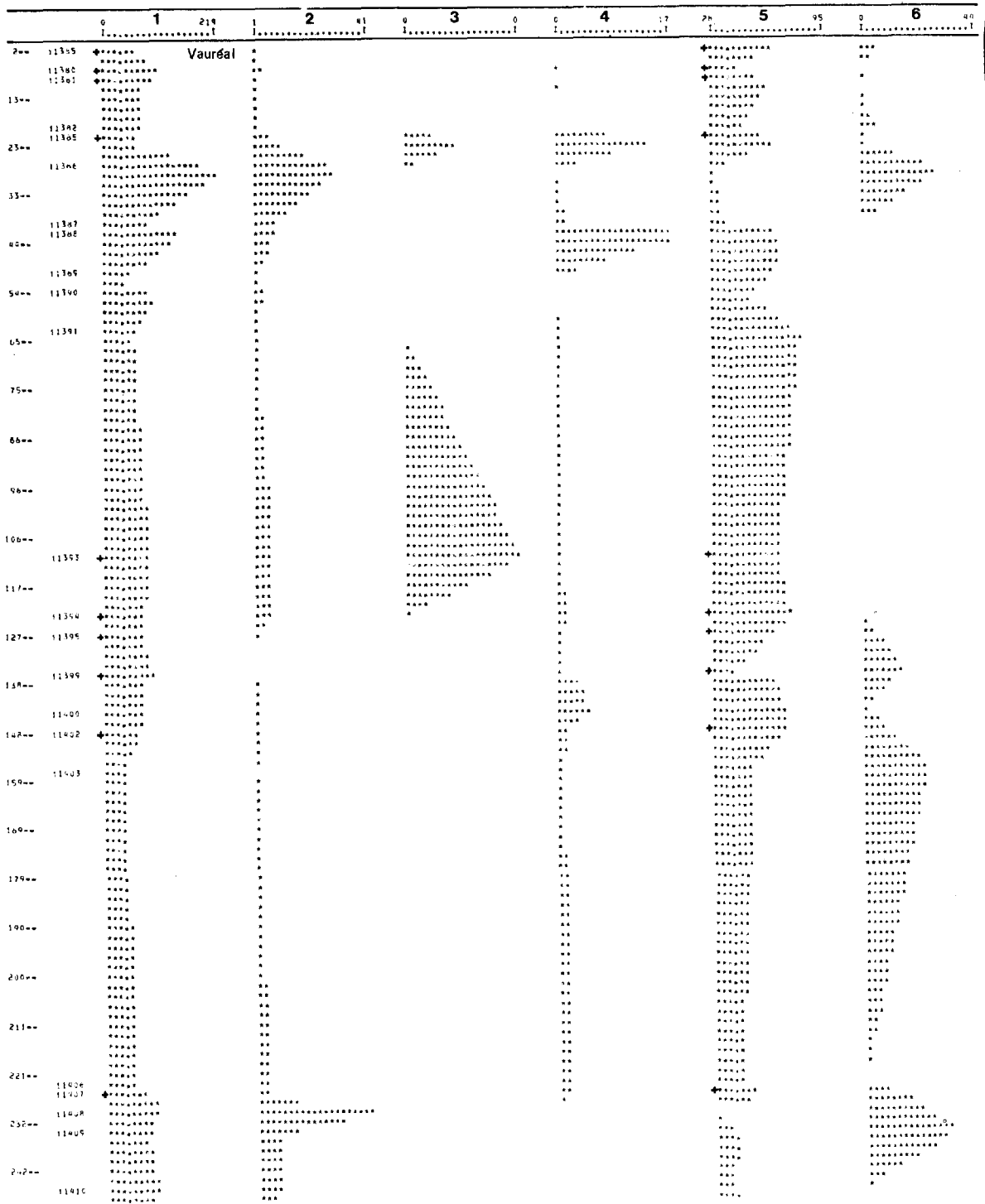
Tableau des valeurs (fin)

	1	2	3	4	5	6	7	8	9	10	11	12	13	14	15	16	17	18	19	20
11446 4266	60	4	0	0	18	0	0	1	0	0	75	20	25	5	0	0	1	0	0	1
11446 4266	50	2	0	0	93	0	0	0	0	0	4	0	0	1	0	0	0	0	0	1
11446 4266	80	5	0	0	76	61	15	0	0	0	18	0	0	10	1	0	0	0	0	0
11447 4281	100	7	0	0	59	19	0	21	0	0	12	0	0	0	1	1	0	0	0	0
11448 4345	80	5	0	4	86	0	1	0	0	0	4	0	0	0	1	1	0	0	0	0
11449 4345	80	12	1	0	28	0	2	7	0	1	47	0	0	2	2	5	0	0	0	1
11450 4362	100	23	0	0	69	41	28	7	0	0	0	0	0	0	0	0	0	0	0	0
11452 4537	60	2	0	2	65	0	7	0	0	0	30	0	0	13	5	4	0	0	0	0
11451 4537	80	1	0	0	58	3	0	0	0	0	40	0	0	10	10	10	0	0	0	0
11453 4541	40	2	0	1	94	10	5	0	0	0	2	0	0	1	0	0	0	0	0	0
11454 4553	40	1	0	0	64	7	2	1	0	0	35	1	0	7	2	15	0	0	0	0
11454 4553	80	2	0	2	78	1	5	1	0	0	15	0	0	2	0	3	0	0	0	0
11455 4593	70	6	0	0	51	0	5	2	0	1	39	7	0	7	8	0	0	0	0	1
11456 4600	60	3	0	1	91	1	2	0	0	0	4	0	0	1	0	0	0	0	0	0
11457 4633	30	4	0	1	91	0	11	0	0	0	3	0	0	0	1	0	0	0	0	0
11458 4646	40	8	0	1	37	5	2	3	0	0	48	0	0	10	10	10	0	0	1	C
11460 4657	100	12	0	5	55	1	3	0	0	0	27	0	0	3	3	15	0	0	0	C
11461 4674	80	6	0	2	66	1	1	0	0	0	25	0	0	1	5	12	0	0	0	0
11462 4682	80	5	0	0	55	30	1	0	0	3	39	2	0	5	15	10	0	0	0	0
11465 4721	0	0	0	0	53	38	0	0	0	0	46	0	0	5	10	25	0	0	0	0
11464 4721	80	10	0	15	44	0	5	0	0	0	29	0	0	5	7	10	0	0	0	C
11466 4723	40	4	0	0	92	1	1	0	0	1	3	0	0	1	0	1	0	0	0	C
11467 4740	30	2	0	0	92	0	1	0	0	0	6	0	0	1	2	1	0	0	0	C
11468 4853	60	4	0	0	87	0	1	0	0	0	5	0	0	1	0	1	0	0	0	C
11470 4937	40	4	0	5	66	5	4	0	0	0	24	0	0	10	2	7	0	0	0	0
11471 5083	40	8	0	1	77	0	5	0	0	0	13	0	0	5	1	1	0	1	0	C
11472 5092	70	5	0	0	74	1	2	1	0	0	15	0	0	5	2	4	0	1	0	1
11473 5107	30	8	0	2	74	1	2	0	0	0	11	0	0	5	1	1	0	1	0	1
11474 5117	200	5	0	5	79	0	1	0	0	0	10	0	0	1	1	4	0	0	0	1
11475 5195	30	5	0	2	88	1	1	0	0	0	4	0	0	1	1	0	0	0	0	0
11479 5215	40	3	0	0	49	0	1	4	0	0	44	0	0	15	15	3	0	0	1	2
11478 5215	30	2	0	0	62	1	0	0	0	0	35	3	0	15	0	7	0	0	0	1
11477 5215	30	3	0	0	89	5	0	0	0	0	7	0	0	1	2	1	0	0	0	0
11480 5215	40	4	0	2	46	0	0	0	0	0	47	40	0	4	1	1	0	0	0	0
11481 5286	100	7	0	1	60	2	1	0	0	0	31	0	0	15	3	1	1	2	0	1
11482 5286	80	4	0	0	45	3	1	0	0	0	50	1	0	15	8	2	0	5	0	3
11483 5332	80	10	0	11	57	2	15	0	0	0	22	0	0	10	2	4	0	0	1	1
11484 5340	50	16	0	15	41	1	10	0	0	0	27	5	0	7	1	5	0	0	0	1
11485 5366	50	27	0	0	73	0	55	0	0	0	0	0	0	0	0	0	0	0	0	0
11487 5368	80	15	0	5	53	0	35	4	0	0	22	3	0	4	1	5	0	0	0	1
11486 5368	60	24	0	0	41	0	25	25	0	0	0	0	0	1	1	3	0	0	0	0
11488 5370	60	11	0	0	42	42	0	0	20	10	27	0	0	20	1	2	1	0	0	1
11490 5373	60	29	0	0	58	0	50	5	0	0	7	0	0	1	1	1	0	C	0	1
11491 5379	80	2	0	0	30	5	3	0	5	0	63	15	0	7	10	10	15	0	1	0
11492 5386	80	14	0	0	43	0	11	30	0	1	12	0	0	2	3	0	1	0	1	0
11493 5392	0	0	0	0	45	45	0	0	0	0	55	0	0	25	15	10	0	0	0	0
11493 5392	80	3	0	0	86	0	0	5	0	0	5	0	0	1	0	0	0	0	0	C
11494 5395	20	1	0	0	98	0	0	0	0	0	0	0	0	0	0	0	0	0	0	0
11495 5402	0	2	0	0	45	44	1	0	0	2	53	0	0	40	7	4	0	0	0	C
11497 5509	50	2	0	0	91	1	4	5	0	0	4	0	0	0	0	0	0	0	0	0
11498 5540	70	3	0	0	54	10	1	30	0	0	8	0	0	1	0	0	0	0	0	0
11499 5590	80	5	0	4	82	0	10	2	0	0	6	0	0	1	0	0	0	0	0	0
11500 5696	60	2	0	0	95	1	3	0	0	0	7	0	0	0	0	0	0	0	0	0
11501 5736	100	8	0	0	41	5	0	10	0	5	41	10	0	4	1	2	0	0	0	0

Coupe Ouest (suite)

Diagrammes des valeurs

Descripteurs 1 à 6



Coupe Ouest (suite)

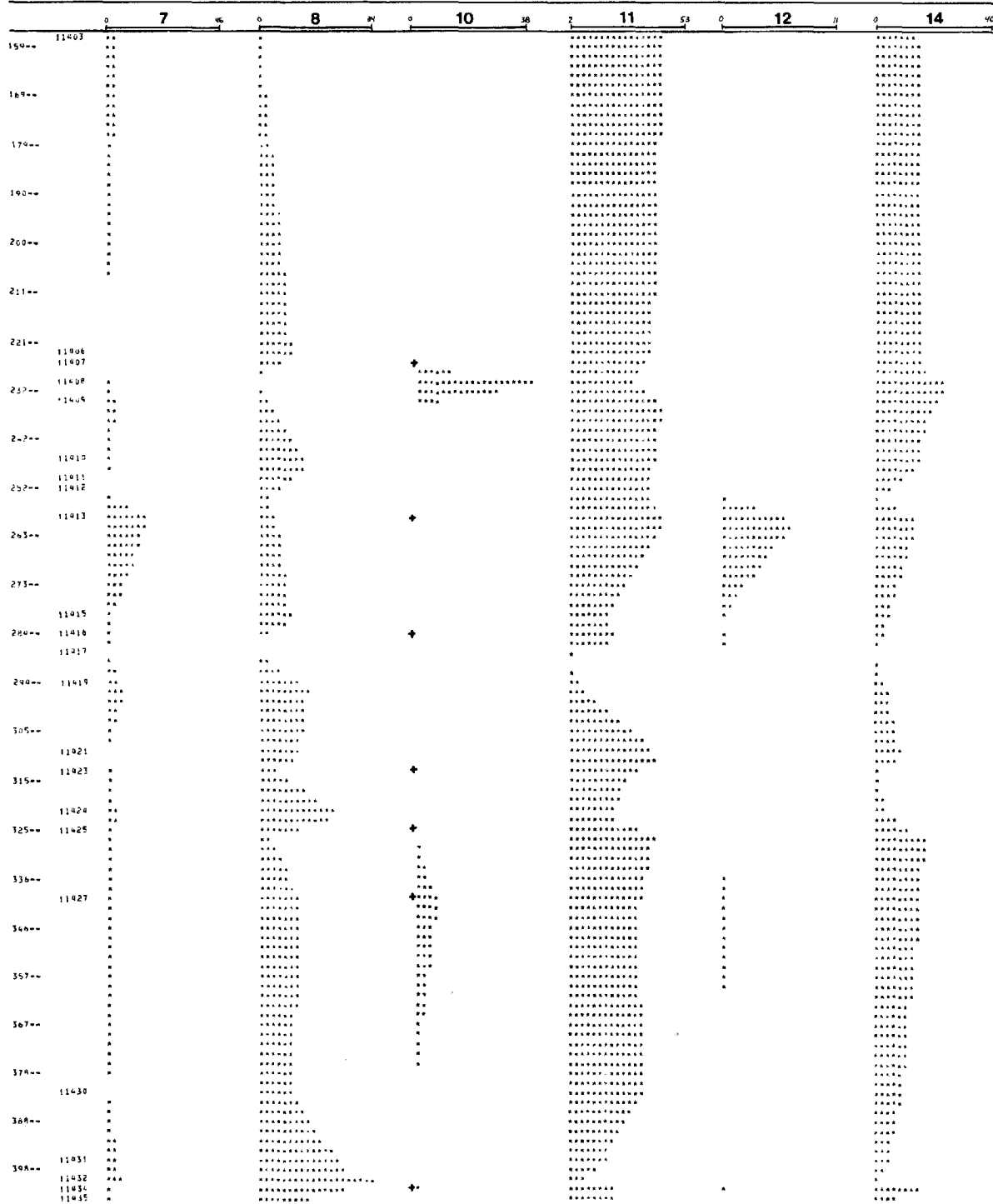
Diagrammes des valeurs Descripteurs 1 à 6 (suite)

	0	1	2	3	4	5	6
252--	11411	11412					
263--	11413						
273--							
	11415						
	11417						
294--	11419						
305--							
	11421						
315--	11423						
	11424						
325--	11425						
33--							
	11427						
34--							
357--							
367--							
374--							
	11430						
384--							
398--	11431						
	11432						
	11434						
	11435						
409--	11437						
	11438						
	11441						
419--	11443						
	11445						
430--	11446						
	11447						
	11448						
446--	11450						
451--							
	11451						
	11454						
461--	11456						
	11458						
	11460						
471--	11462						
	11466						
	11467						
482--							
	11468						
492--							
	11470						
503--							

Vauréal
Ellis Bay

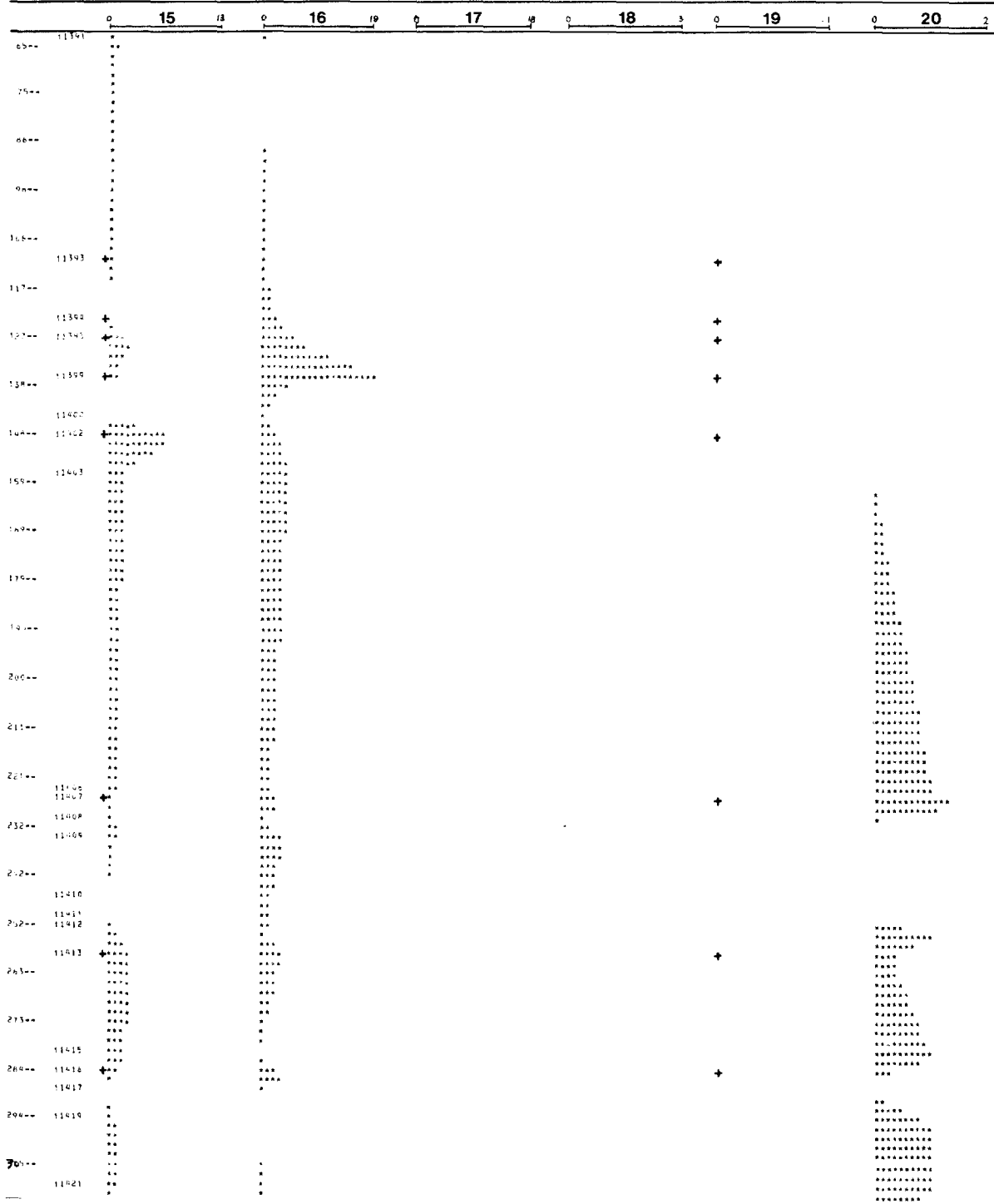
Coupe Ouest (suite)

Diagrammes des valeurs. Descripteurs 7, 8, 10, 11, 12, 14



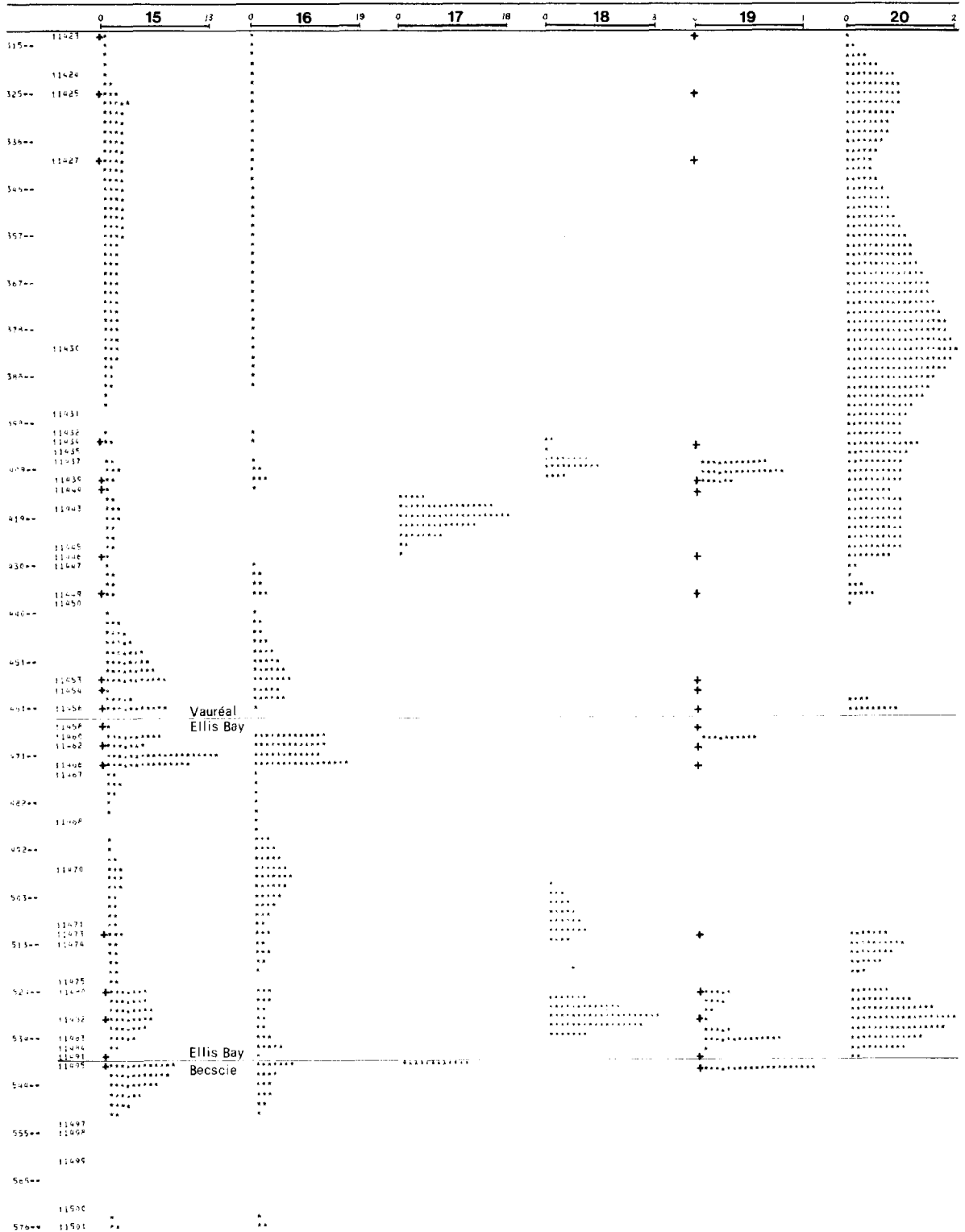
Coupe Ouest (suite)

Diagrammes des valeurs Descripteurs 15 à 20 (suite)



Coupe Ouest (fin)

Diagrammes des valeurs Descripteurs 15 à 20 (fin)



Coupe Ouest (Beccsie)

Tableau des valeurs

	1	2	3	4	5	6	7	8	9	10	11	12	13	14	15	16	17	18	19	20
11503 5384	80	25	0	0	70	0	30	0	0	0	0	0	0	0	0	0	0	0	0	0
11504 5390	40	7	0	0	65	0	1	0	0	0	27	0	0	20	8	1	0	0	0	0
11504 5390	40	1	0	0	50	40	0	1	0	0	48	0	0	20	20	5	0	0	0	0
11505 5392	70	7	0	1	35	5	0	10	0	0	46	4	0	10	20	3	1	0	0	0
11506 5499	100	20	1	0	62	1	3	12	0	0	3	0	0	0	0	1	0	0	0	0
11507 5564	100	11	1	0	61	0	4	10	0	0	15	0	0	2	0	2	0	0	0	0
11508 5576	60	2	0	1	93	2	0	0	0	0	3	0	0	0	0	0	0	0	0	0
11509 5597	120	6	0	1	47	0	6	7	0	0	38	0	0	25	1	1	0	0	0	0
11510 5643	40	1	0	0	94	0	2	0	0	0	4	0	0	1	0	0	0	0	0	0
11510 5643	100	6	n	0	39	28	1	15	0	1	39	0	0	20	0	1	0	0	0	0
11511 5671	150	2	0	0	33	22	1	7	0	0	53	20	0	2	0	10	0	0	0	0
11512 5699	100	10	0	0	43	0	1	20	0	0	26	0	0	10	0	0	0	0	0	0
11513 5713	100	5	0	0	47	10	0	20	0	1	26	0	0	0	0	5	0	0	0	0
11514 5757	140	6	0	0	41	25	1	15	0	0	37	0	0	20	0	0	0	0	0	0
11515 5797	100	4	0	1	53	25	3	25	0	0	16	0	0	5	0	0	0	0	0	0
11516 5850	100	6	0	0	69	0	0	10	0	0	14	0	0	1	2	2	0	0	0	0
11516 5850	50	1	0	0	44	25	0	15	0	0	38	3	0	8	1	10	0	0	0	0
11517 5862	100	6	1	1	43	10	3	22	0	0	26	0	0	15	1	2	0	0	0	0
11518 5863	100	2	0	0	37	0	3	10	0	0	49	1	0	10	1	5	0	0	0	0
11519 5864	1200	9	1	1	38	15	3	2	0	0	49	0	0	35	0	2	0	0	0	0
11520 5865	100	16	0	0	46	43	3	10	0	13	25	1	0	5	3	15	0	0	0	0
11522 5866	40	2	0	1	95	1	7	0	0	0	2	0	0	0	0	0	0	0	0	0
11523 5956	120	10	0	10	67	0	62	0	0	0	12	0	0	1	0	0	0	0	0	0
11523 5956	80	1	0	0	41	20	0	30	0	0	28	0	0	20	0	2	0	0	0	0
11524 5956	0	60	0	0	16	16	0	1	0	60	20	15	0	1	3	0	0	0	0	0
11525 5960	80	6	0	0	31	0	1	30	0	5	29	5	0	0	2	1	0	0	0	0
11527 5986	100	11	0	0	42	37	5	15	0	10	31	2	0	20	5	1	0	0	0	0
11526 5986	0	0	0	0	0	0	0	0	0	0	99	0	99	0	0	0	0	0	0	0
11528 5996	100	7	0	0	76	0	3	10	0	0	6	0	0	1	0	0	0	0	0	0
11529 6006	50	6	0	0	54	0	0	10	0	0	29	25	0	2	0	0	0	0	0	0
11530 6010	100	2	0	1	39	37	2	25	0	0	33	0	0	25	3	3	0	0	0	0
11531 6018	50	3	0	1	55	17	8	15	0	0	25	0	0	10	0	0	0	0	0	0
11533 6028	110	2	0	0	42	30	3	20	0	0	36	0	0	29	3	2	0	0	0	0
11532 6028	100	3	0	1	46	30	7	20	0	0	30	0	0	15	0	4	0	0	0	0
11534 6038	150	1	0	0	36	10	0	32	0	0	30	0	0	25	0	0	0	0	0	0
11535 6047	70	4	0	0	44	42	2	8	0	3	43	0	0	25	3	1	0	0	0	0
11536 6059	140	2	0	1	44	15	6	31	0	0	22	0	0	15	0	1	0	0	0	0
11537 6111	0	0	0	0	0	0	0	0	0	0	99	0	99	0	0	0	0	0	0	0
11538 6131	80	1	0	0	40	15	1	3	0	10	44	15	0	5	2	22	0	0	0	0
11539 6163	80	1	0	1	44	40	2	4	0	0	49	1	0	40	0	3	0	0	0	0
11540 6265	60	2	0	0	89	5	2	0	0	0	8	1	0	1	1	0	0	0	0	0
11542 6357	60	1	0	1	34	26	3	5	0	0	57	0	0	40	1	10	0	0	0	0
11543 6357	100	10	0	1	55	15	1	2	0	8	32	2	0	10	5	3	0	0	0	0
11545 6499	60	5	0	2	78	0	6	5	0	0	9	0	0	1	0	1	0	0	0	0
11546 6509	50	5	0	1	65	0	5	1	0	2	27	1	0	2	1	20	0	0	0	0
11547 6519	70	3	0	0	64	20	3	15	0	0	17	0	0	1	1	4	0	0	0	0
11548 6549	60	4	0	0	54	10	1	10	0	3	31	7	1	5	1	10	0	0	0	0
11549 6669	50	4	0	0	75	0	11	4	0	0	14	0	0	7	3	0	0	0	0	0
11551 6679	70	13	0	0	34	15	2	15	0	12	36	1	20	5	2	1	0	0	0	3
11552 6699	100	3	0	0	88	15	3	40	0	0	7	0	0	1	0	0	0	0	0	0

Coupe Ouest (Beccsie)

Diagrammes des valeurs

Descripteurs 1 à 7

	14	1	1113	1	2	25	0	3	1	0	4	3	7	5	87	0	6	37	0	7	30
540--	11505	+			*****																

551--	11506				*****																

	11507				*****																
	11508				*****																
561--	11509				*****																

	11510	+			*****																
	11511				*****																
572--	11513	+			*****																

	11514				*****																
	11515				*****																
582--					*****																
	11516	+			*****																
	11522				*****																
593--					*****																

	11525	+			*****																
	11526	+			*****																
	11527	+			*****																
603--	11532	+			*****																

	11535	+			*****																
	11536	+			*****																

	11537				*****																
614--	11538				*****																

	11539				*****																
624--					*****																

	11540				*****																
634--					*****																

	11543	+			*****																

645--					*****																

	11544	+			*****																
	11547				*****																
	11548				*****																
655--					*****																

666--					*****																
	11549				*****																
	11551				*****																
	11552				*****																

Descripteurs 8 et 10 à 16

	0	8	40	0	10	18	0	11	49	0	12	10	0	13	41	0	14	35	0	15	18	0	16	19	
540--	11505	*****									+														
		*****									*****														
		*****									*****														
551--	11506	*****									*****														
		*****									*****														
	11507	*****									*****														
	11508	*****									*****														
561--	11509	*****									*****														
		*****									*****														
	11510	*****									*****														
	11511	*****									*****														
572--	11513	*****									*****														
		*****									*****														
	11514	*****									*****														
	11515	*****									*****														
582--		*****									*****														
	11516	*****									*****														
	11522	*****									*****														
593--		*****									*****														
		*****									*****														
	11525	*****									*****														
	11526	*****									*****														
	11527	*****									*****														
603--	11532	*****									*****														
		*****									*****														
	11535	*****									*****														
	11536	*****									*****														
		*****									*****														
	11537	*****									*****														
614--	11538	*****									*****														
		*****									*****														
	11539	*****									*****														
624--		*****									*****														
		*****									*****														
	11540	*****																							

Coupe de la Rivière à l'Huile

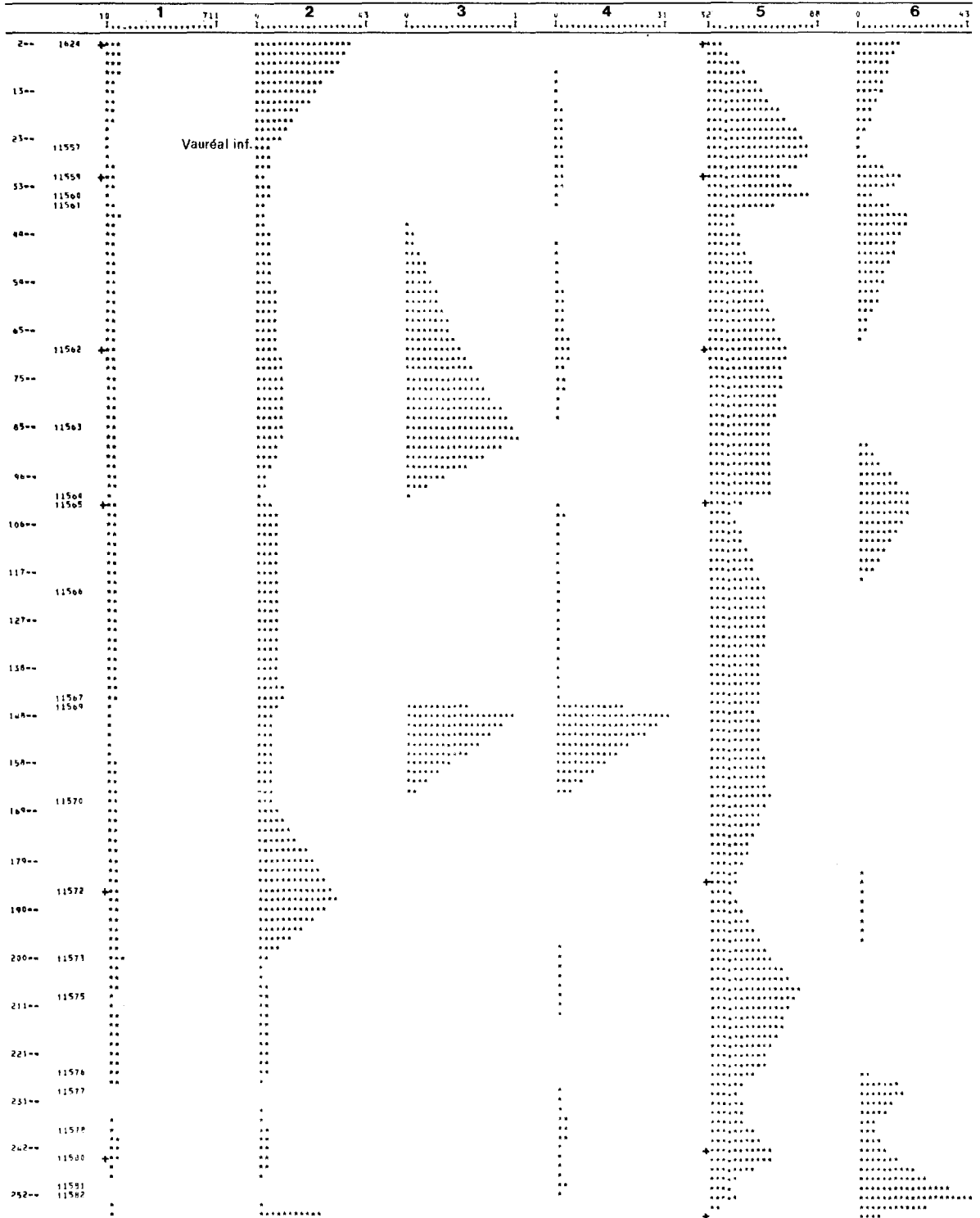
Tableau des valeurs

	1	2	3	4	5	6	7	8	9	10	11	12	13	14	15	16	17	18	19	20
11625	100	13	0	0	52	30	0	10	0	0	24	0	0	15	0	1	0	0	0	0
11624	150	62	0	0	27	3	0	1	0	60	10	1	0	3	3	1	0	0	0	0
11557	240	40	6	0	4	86	1	2	0	0	3	0	0	1	0	0	0	0	0	0
11558	300	60	8	0	5	82	0	4	0	0	3	0	0	0	0	0	0	0	0	0
11559	300	120	3	0	0	52	40	1	2	0	42	0	0	25	5	1	0	0	0	0
11560	340	40	6	0	2	86	5	6	0	0	5	0	0	0	1	1	0	0	0	0
11561	370	100	5	0	0	44	20	0	3	0	47	0	0	15	1	20	0	0	0	1
11562	680	100	15	1	4	54	0	1	10	0	13	0	0	0	0	1	0	0	0	0
11562	680	40	5	0	5	88	0	5	0	0	1	0	0	0	0	0	0	0	0	0
11563	854	80	11	1	0	63	0	2	10	0	14	0	0	1	0	1	0	0	0	0
11564	988	60	2	0	0	64	20	1	10	0	22	0	0	1	1	1	0	0	0	0
11565	1007	70	5	0	0	47	40	0	0	4	48	0	0	25	5	15	0	0	0	1
11565	1007	80	13	0	5	37	0	0	10	0	34	0	0	15	3	5	0	0	0	0
11566	1198	80	9	0	1	60	0	4	5	0	24	0	0	5	0	5	0	0	0	0
11567	1430	80	10	0	1	57	0	0	5	0	26	0	0	5	0	7	0	0	0	0
11569	1445	40	7	1	33	55	0	5	0	0	3	0	0	0	0	1	0	0	0	0
11570	1650	80	6	0	0	62	0	0	2	0	29	0	0	1	0	3	0	0	0	0
11571	1853	80	7	0	0	61	1	1	15	0	16	0	0	1	0	1	0	0	0	0
11572	1853	80	55	0	0	25	2	1	3	0	17	0	0	10	2	2	0	0	0	1
11573	1990	100	3	0	1	62	1	0	0	0	33	0	0	2	1	1	0	0	0	0
11575	2065	60	4	0	1	76	0	0	10	0	8	0	0	1	0	0	0	0	0	0
11576	2245	80	4	0	0	57	1	0	20	0	18	0	0	1	0	1	0	0	0	1
11577	2280	0	0	0	1	46	20	4	25	0	27	0	0	10	2	1	0	1	0	2
11578	2360	60	5	0	3	49	5	2	20	0	22	0	0	12	1	2	0	0	0	1
11579	2355	70	5	0	1	64	10	2	15	0	14	0	0	1	1	0	0	0	0	0
11580	2430	50	8	0	1	71	0	1	10	0	9	0	0	0	0	0	0	0	0	1
11580	2430	60	3	0	0	58	25	3	20	0	18	0	0	3	0	0	0	0	0	0
11581	2495	0	0	0	3	42	30	1	15	0	40	3	0	20	7	1	0	1	0	1
11582	2520	40	1	0	0	46	45	1	25	0	28	0	0	15	7	0	0	0	0	2
11583	2575	80	53	0	0	28	0	1	2	0	51	18	0	4	2	0	1	0	0	5
11584	2578	80	6	0	0	58	7	1	23	0	2	23	1	0	5	2	1	0	5	2
11585	2628	100	13	0	0	66	35	3	1	0	10	19	1	0	1	3	0	0	0	2
11586	2638	100	7	0	0	52	20	0	25	0	1	15	0	0	2	1	2	0	1	0
11587	2658	100	4	0	1	93	5	2	0	0	1	0	0	0	0	0	0	0	0	1
11588	2678	80	7	0	1	84	10	1	1	0	1	6	0	0	1	1	0	0	0	1
11589	2718	110	11	0	1	49	5	0	21	0	17	0	0	2	2	0	0	0	1	1
11591	2732	100	5	1	0	40	0	0	28	0	25	0	0	7	1	0	0	1	1	2
11590	2738	100	8	0	3	50	5	0	12	0	2	25	0	0	3	1	0	1	1	1
11592	2757	80	10	1	0	43	0	0	25	0	19	0	0	5	0	0	0	0	0	0
11592	2757	70	6	0	0	74	5	1	2	0	16	0	0	5	0	0	0	0	0	1
11592	2757	100	3	0	0	38	10	0	1	0	57	0	0	7	1	1	0	0	0	1
11593	2777	100	10	0	0	88	1	0	0	0	1	0	0	0	0	0	0	0	0	0
11594	2817	80	18	0	0	32	15	0	5	0	12	44	1	0	15	3	2	0	1	1
11595	2877	100	15	0	1	56	20	1	7	0	0	20	0	0	10	2	0	0	0	1
11596	2924	120	60	1	0	30	0	0	0	0	0	0	0	0	0	0	0	0	0	0
11596	2924	120	20	1	0	50	40	3	15	0	0	13	0	0	4	0	1	0	0	1
11597	2942	100	34	0	0	32	0	1	5	0	27	27	0	0	10	2	3	0	0	1
11598	2994	100	9	1	2	62	20	1	10	0	15	0	0	2	2	0	0	0	0	1
11600	3051	800	3	0	4	36	34	2	1	0	1	55	1	0	20	4	3	0	0	0
11601	3067	60	2	0	4	63	10	1	0	0	0	30	5	0	1	2	15	0	0	0
11602	3069	60	2	0	8	75	2	1	0	0	0	13	2	0	1	2	0	0	0	0
11604	3084	80	8	0	5	61	3	1	0	0	0	25	0	0	5	2	10	0	0	0
11605	3092	120	16	1	0	39	10	1	3	0	1	44	0	0	20	3	5	0	0	1
11606	3132	70	6	0	0	86	1	1	1	0	0	6	0	0	2	0	1	0	0	0
11608	3171	80	5	0	0	47	8	0	5	0	0	42	0	0	20	10	5	0	0	0
11609	3213	50	5	0	0	89	30	0	0	0	0	5	0	0	1	1	0	0	0	0
11610	3241	40	3	0	0	79	10	0	0	0	17	0	0	1	1	1	0	0	0	0
11611	3253	100	12	1	3	57	2	10	1	0	0	25	1	0	2	3	15	0	0	1
11612	3363	50	1	0	0	49	15	2	0	0	0	48	0	0	20	12	10	0	0	0
11613	3443	100	8	0	1	40	0	1	5	0	1	45	0	0	30	3	3	0	0	1
11614	3530	100	8	0	1	40	5	1	10	0	0	40	0	0	24	2	10	0	0	1
11615	3600	70	6	0	1	76	5	1	5	0	0	11	0	0	5	0	1	0	0	1
11616	3620	100	3	0	0	60	10	1	2	0	0	35	2	0	3	3	10	0	0	1
11617	3640	80	15	0	2	44	2	0	10	0	0	28	0	0	15	1	2	1	1	2
11618	3685	120	4	0	2	59	15	3	8	0	0	27	3	0	5	5	1	1	1	10
11621	3706	150	10	0	0	51	0	3	10	0	0	28	0	0	10	1	1	0	0	0
11620	3706	30	9	0	1	89	0	2	0	0	0	0	0	0	0	0	0	0	0	0
11619	3706	60	2	0	0	58	15	1	0	0	0	39	0	0	4	25	8	0	0	0
11623	3836	100	10	0	0	52	0	1	15	0	0	21	0	0	4	4	1	0	0	0
11622	3836	40	3	0	0	97	5	0	0	0	0	0	0	0	0	0	0	0	0	0
11622	3836	80	9	0	0	37	10	1	5	0	0	48	2	0	10	20	10	0	0	0

Coupe de la Rivière à l'Huile (suite)

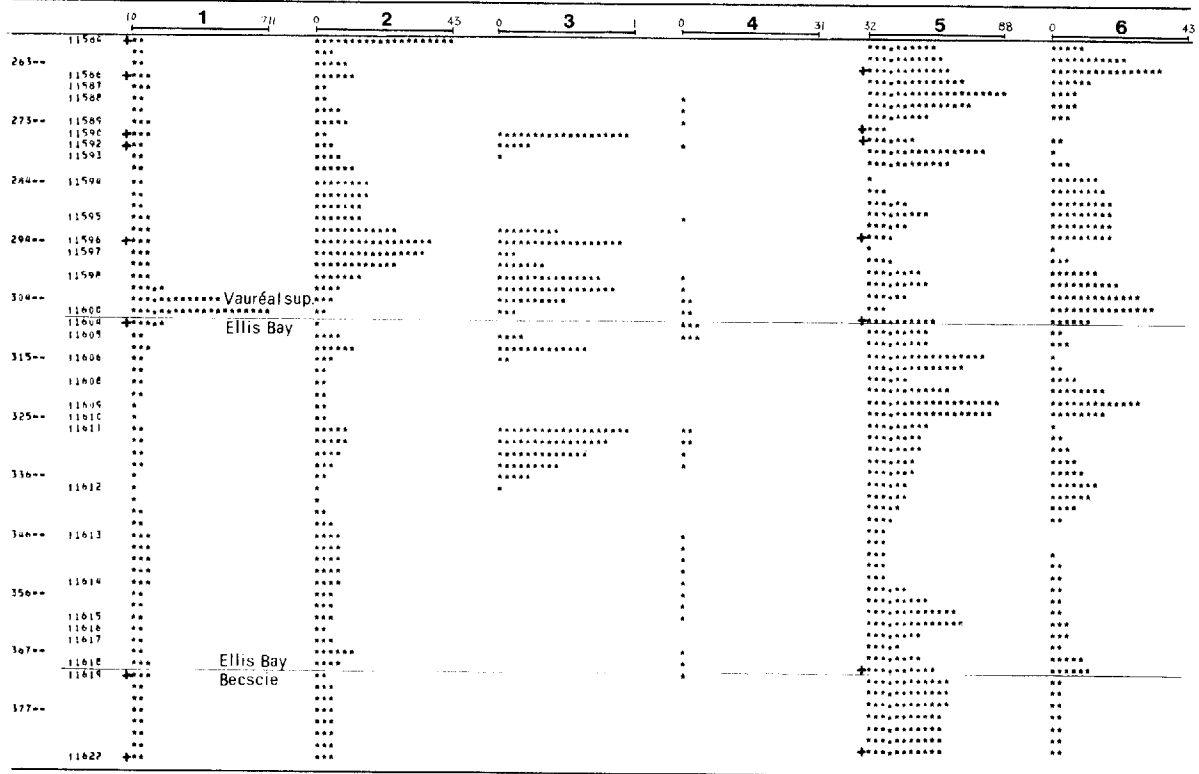
Diagrammes des valeurs

Descripteurs 1 à 6

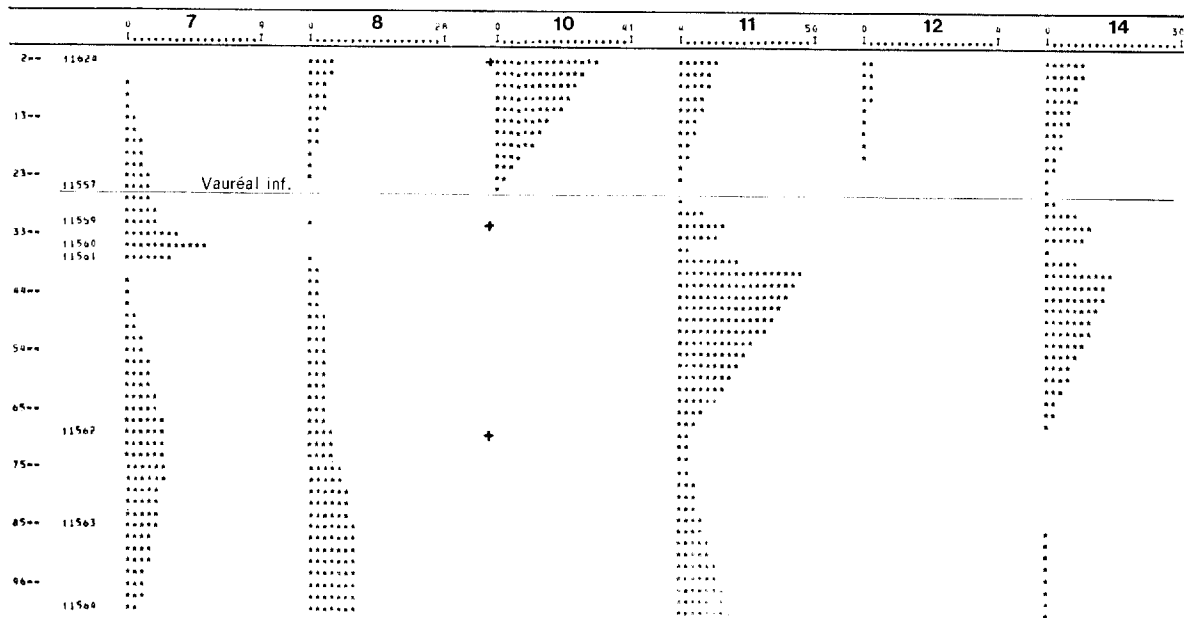


Coupe de la Rivière à l'Huile (suite)

Diagrammes des valeurs Descripteurs 1 à 6 (fin)

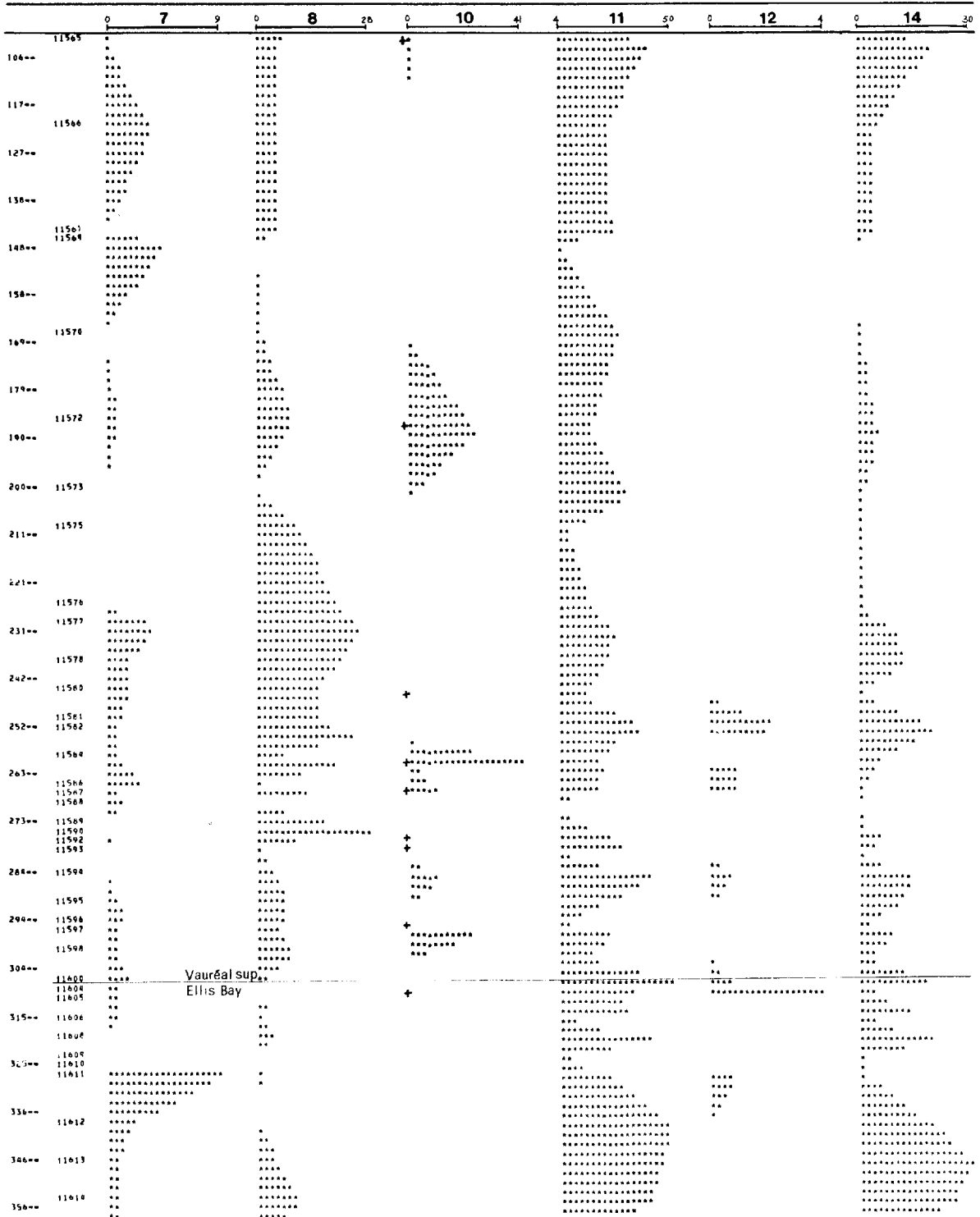


Descripteurs 7, 8, 10, 11, 12, 14



Coupe de la Rivière à l'Huile (suite)

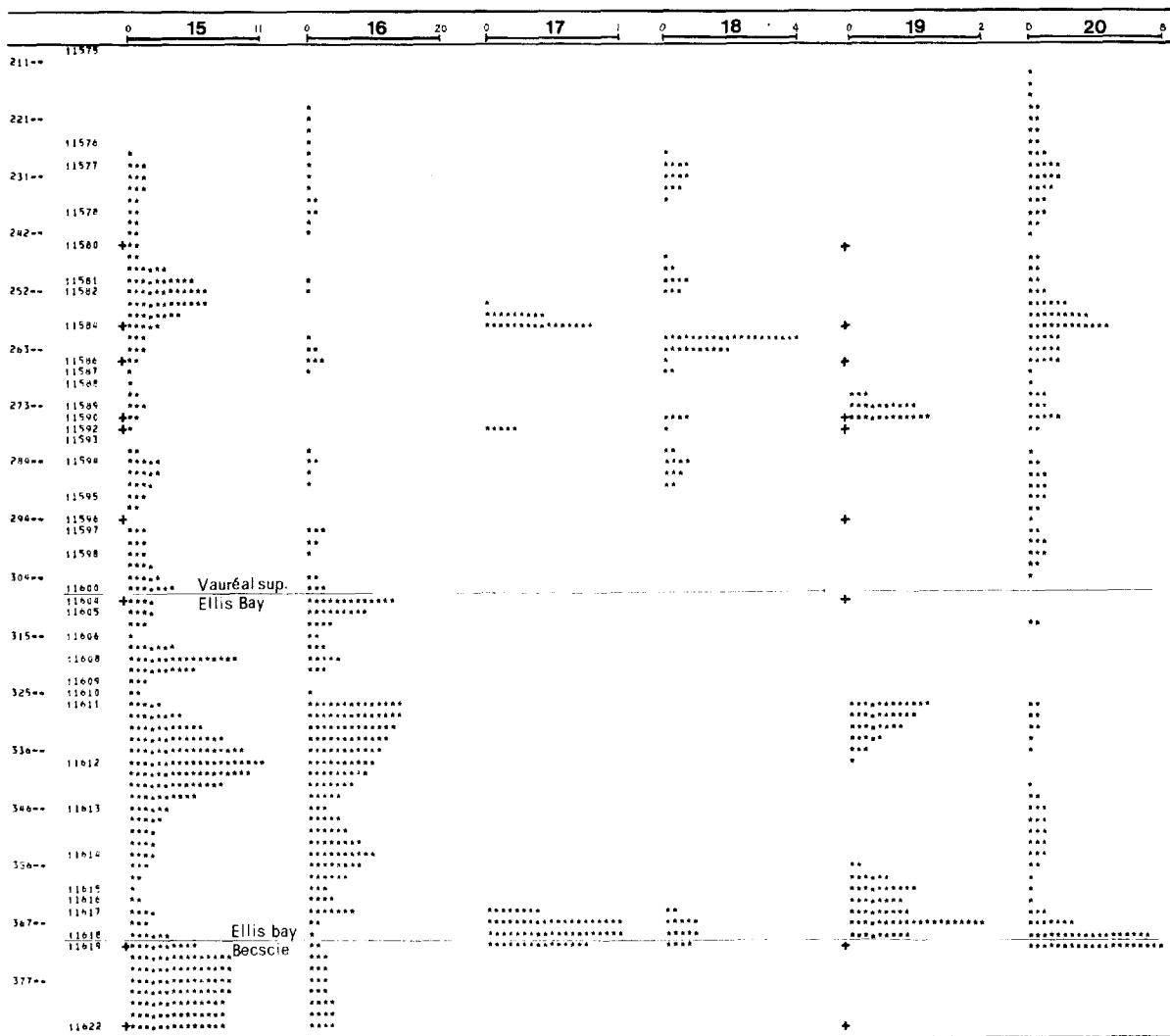
Diagrammes des valeurs Descripteurs 7, 8, 10, 11, 12, 14



Coupe de la Rivière à l'Huile (fin)

Diagrammes des valeurs

Descripteurs 15 à 20



Coupe de la Rivière Jupiter

Tableau des valeurs

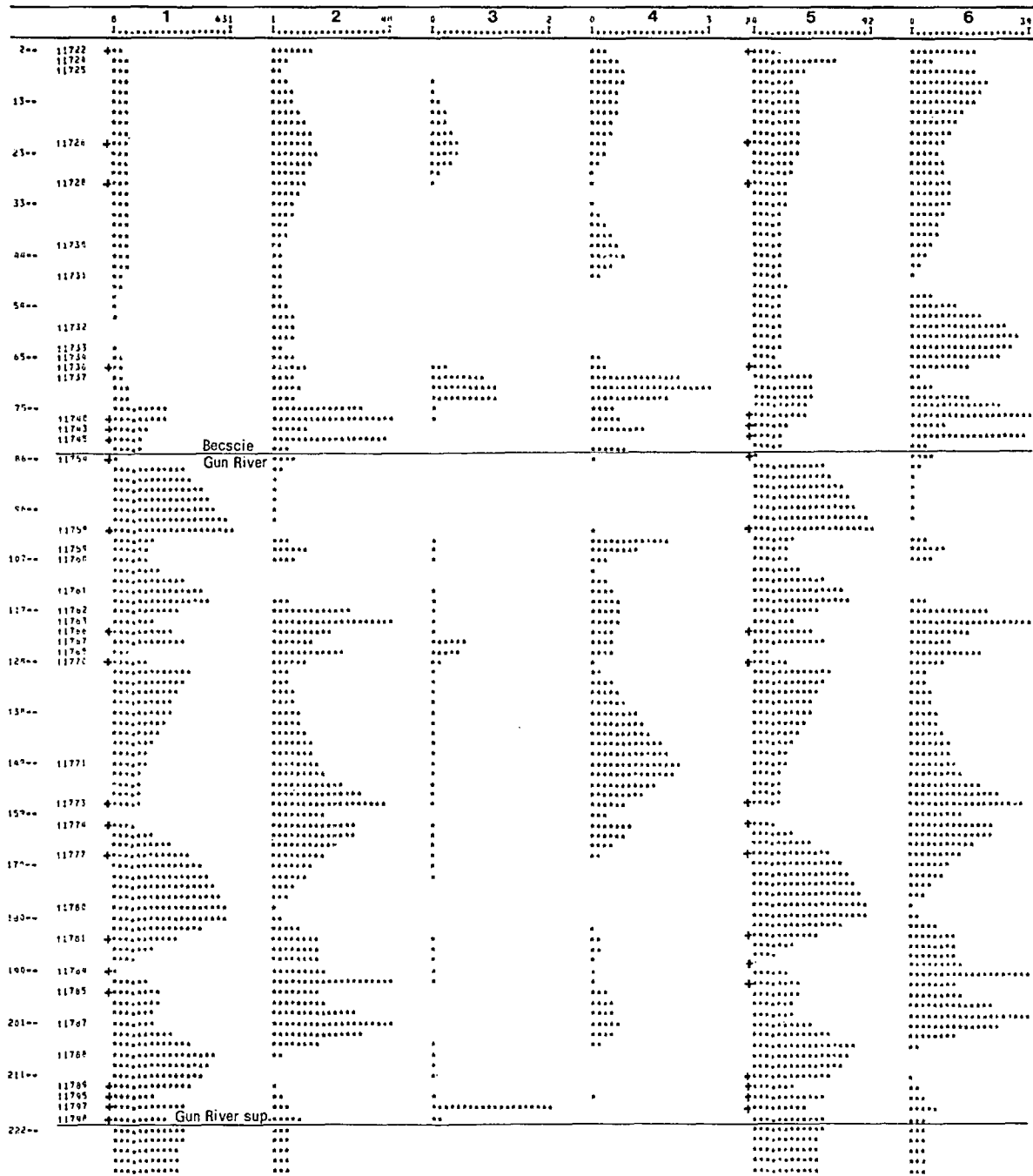
	1	2	3	4	5	6	7	8	9	10	11	12	13	14	15	16	17	18	19	20	
11723	0	80	6	0	0	45	25	3	0	0	5	49	3	2	7	20	10	0	0	0	0
11722	0	80	27	0	1	34	20	2	0	0	25	38	0	0	5	15	15	0	0	0	1
11724	32	100	5	0	1	89	0	1	0	0	0	3	0	0	0	0	0	0	0	0	0
11725	44	100	6	0	1	49	27	2	1	0	2	43	0	0	5	5	30	0	0	0	0
11727	207	100	16	1	1	56	0	1	15	0	0	10	0	0	2	0	1	0	0	0	0
11726	207	80	24	0	0	46	20	1	0	0	22	30	5	0	15	3	1	0	0	0	0
11729	302	80	21	0	0	43	30	1	0	0	20	32	0	1	20	2	4	0	0	0	0
11728	302	100	5	0	0	45	0	1	15	0	0	35	0	0	15	5	3	0	0	0	0
11730	413	100	6	0	1	40	7	1	4	0	4	48	1	2	10	7	10	0	0	0	0
11731	479	70	5	0	0	43	0	0	40	0	0	11	0	0	5	3	2	0	0	0	0
11732	580	0	12	0	0	40	37	0	0	0	12	46	0	0	5	5	35	0	0	0	0
11733	623	60	2	0	0	43	30	1	29	0	1	26	1	0	10	0	3	0	0	0	0
11734	636	60	26	0	1	29	29	0	1	0	25	40	7	15	2	1	5	0	1	1	0
11735	661	60	2	1	0	56	1	0	25	0	0	16	0	0	3	2	1	0	0	0	0
11736	661	80	4	0	0	51	20	1	4	0	0	39	2	0	10	1	12	0	0	0	0
11737	675	80	16	1	4	60	1	0	5	0	0	13	0	0	5	1	0	0	0	0	0
11739	755	150	3	1	0	53	40	1	9	0	0	33	5	0	5	5	5	0	0	0	0
11740	763	60	2	0	1	38	25	0	0	0	0	57	15	20	10	1	4	0	0	0	0
11742	777	120	5	0	0	48	17	1	17	0	0	29	0	0	5	2	0	0	0	0	0
11741	777	1500	10	1	0	45	0	0	28	0	0	14	0	0	1	0	1	1	0	0	0
11743	783	70	6	0	1	37	30	0	0	0	2	55	15	15	10	1	4	4	0	0	1
11744	801	120	14	0	1	43	42	1	0	0	7	41	0	0	10	1	30	0	0	0	0
11745	805	100	10	0	0	46	10	0	16	0	0	27	0	0	10	1	0	0	0	1	1
11745	805	100	9	0	2	47	0	0	16	0	1	25	0	0	5	3	3	0	0	0	0
11748	840	100	1	0	1	3	0	0	1	0	0	93	0	90	1	0	1	0	0	0	0
11746	840	100	2	0	3	46	15	0	0	0	0	48	0	0	15	1	25	0	0	1	1
11749	847	100	3	0	0	36	2	0	3	0	0	57	10	0	20	1	15	0	0	1	2
11750	851	120	8	0	0	84	1	0	0	0	0	7	0	0	1	1	2	0	0	0	0
11752	855	80	5	0	2	44	1	0	1	0	0	47	30	2	5	1	4	0	0	0	0
11753	856	40	2	0	1	73	1	0	1	0	0	23	0	0	10	1	5	0	0	0	0
11756	856	250	2	0	1	63	15	2	0	0	0	32	0	2	5	1	3	0	0	0	0
11755	856	60	8	0	0	87	0	0	0	0	0	4	0	0	1	0	0	0	0	0	0
11755	856	80	5	0	0	38	0	0	0	0	3	56	0	0	25	0	10	0	0	0	0
11754	856	40	2	0	1	63	0	0	1	0	0	32	0	0	5	1	25	0	0	0	0
11757	985	80	2	0	1	92	1	0	1	0	0	3	0	0	0	0	0	0	0	0	0
11758	987	150	1	0	0	50	0	0	35	0	0	13	0	0	1	1	0	0	0	0	0
11759	1035	120	1	0	0	45	15	2	10	0	0	42	1	0	15	1	5	0	0	0	0
11760	1057	80	1	0	1	47	0	0	1	0	0	50	3	0	0	1	45	0	0	0	0
11761	1125	70	3	0	0	82	1	1	10	0	0	4	0	0	0	1	0	0	0	0	0
11762	1170	180	2	0	0	45	44	1	10	0	1	37	0	0	20	1	5	0	0	0	0
11763	1185	100	2	0	0	66	1	0	15	0	0	16	0	0	5	0	2	0	0	0	0
11764	1195	80	36	0	0	37	29	4	2	0	35	25	0	0	3	5	15	0	0	0	0
11765	1195	100	1	0	0	47	46	1	10	0	0	31	0	0	10	0	5	0	0	0	0
11764	1195	100	2	0	0	87	1	1	5	0	0	5	0	0	2	0	0	0	0	0	0
11766	1205	120	3	0	0	89	0	0	3	0	0	5	1	0	0	0	1	0	0	0	0
11767	1220	100	1	0	0	45	25	15	12	0	0	41	0	0	20	1	2	0	0	0	0
11768	1245	80	41	0	0	29	24	0	5	0	40	25	3	1	10	1	5	0	0	0	0
11769	1265	80	2	0	1	57	2	4	1	0	0	39	0	0	1	3	5	0	0	0	0
11770	1272	80	1	0	1	67	5	1	4	0	0	26	0	0	15	1	2	0	0	0	0
11771	1477	100	1	1	0	42	16	1	30	0	0	26	0	0	10	1	2	0	0	0	1
11772	1558	700	4	0	0	40	39	1	9	0	3	46	0	0	25	4	10	0	0	0	0
11773	1568	80	51	0	0	23	18	0	6	0	50	20	0	0	10	5	5	0	0	0	0
11776	1598	100	2	0	1	33	25	3	20	0	1	43	0	0	30	1	10	0	0	0	0
11774	1598	300	3	0	0	54	34	0	11	0	0	32	0	0	5	3	3	0	0	0	0
11778	1666	70	1	0	0	57	30	2	2	0	0	40	0	0	2	5	10	0	0	0	0
11777	1666	60	6	0	2	88	1	0	0	0	0	4	0	0	1	0	0	0	0	0	0
11780	1771	40	5	0	0	92	1	0	0	0	0	2	0	0	0	1	0	0	0	0	0
11782	1826	250	1	0	0	52	40	1	7	0	0	39	0	0	10	2	25	0	0	0	1
11781	1826	40	2	0	0	67	0	0	0	0	0	30	0	0	0	5	5	0	0	0	0
11781	1826	70	5	0	0	51	9	2	4	0	3	40	0	0	5	2	5	0	0	0	0
11783	1900	40	52	0	0	18	17	1	2	0	51	28	1	0	10	2	2	0	0	0	0
11784	1903	80	2	2	0	44	40	1	1	0	1	50	0	0	10	5	20	0	0	0	0
11786	1930	200	23	0	1	36	20	0	3	0	21	36	0	0	20	5	3	0	0	0	1
11785	1930	60	2	0	1	73	0	1	10	0	0	23	0	0	5	1	2	0	0	0	0
11787	1991	60	1	0	0	46	40	0	10	0	0	43	0	0	30	5	1	0	0	0	0
11788	2056	60	7	0	0	84	0	2	0	0	0	5	0	0	1	0	0	0	0	0	1
11790	2116	30	3	0	0	53	3	0	0	0	0	44	10	0	15	2	12	0	0	0	0
11789	2116	60	12	0	1	82	0	0	0	0	0	3	0	0	0	0	0	0	0	0	0
11793	2135	70	6	0	1	46	5	1	2	0	0	44	0	0	20	7	8	0	0	1	1
11795	2155	40	6	0	0	37	12	0	1	0	3	55	0	0	30	5	10	0	0	0	1
11791	2156	100	5	0	2	85	0	50	0	0	0	6	0	0	1	0	0	0	0	0	0
11796	2175	160	2	0	1	38	20	0	0	0	0	59	0	0	30	5	15	0	0	0	0
11797	2175	20	1	0	2	67	0	7	0	0	0	29	0	0	1	1	20	0	0	0	0
11798	2190	60	13	0	0	43	10	0	0	0	12	44	0	0	20	2	20	0	0	0	0
11798	2190	60	5	0	0	84	0	0	0	0	0	10	0	0	2	1	1	0	0	0	0
11799	3181	100	5	0	0	46	10	0	10	0	0	38	0	0	15	1	5	0	0	0	0

* Rivière à l'Huile

Coupe de la Rivière Jupiter

Diagrammes des valeurs

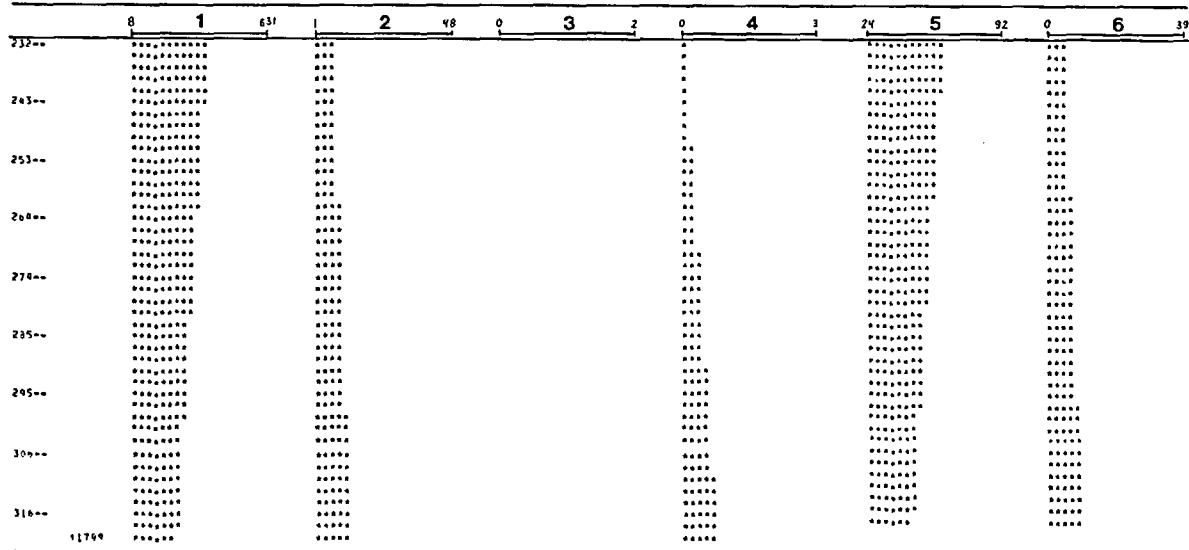
Descripteurs 1 à 6



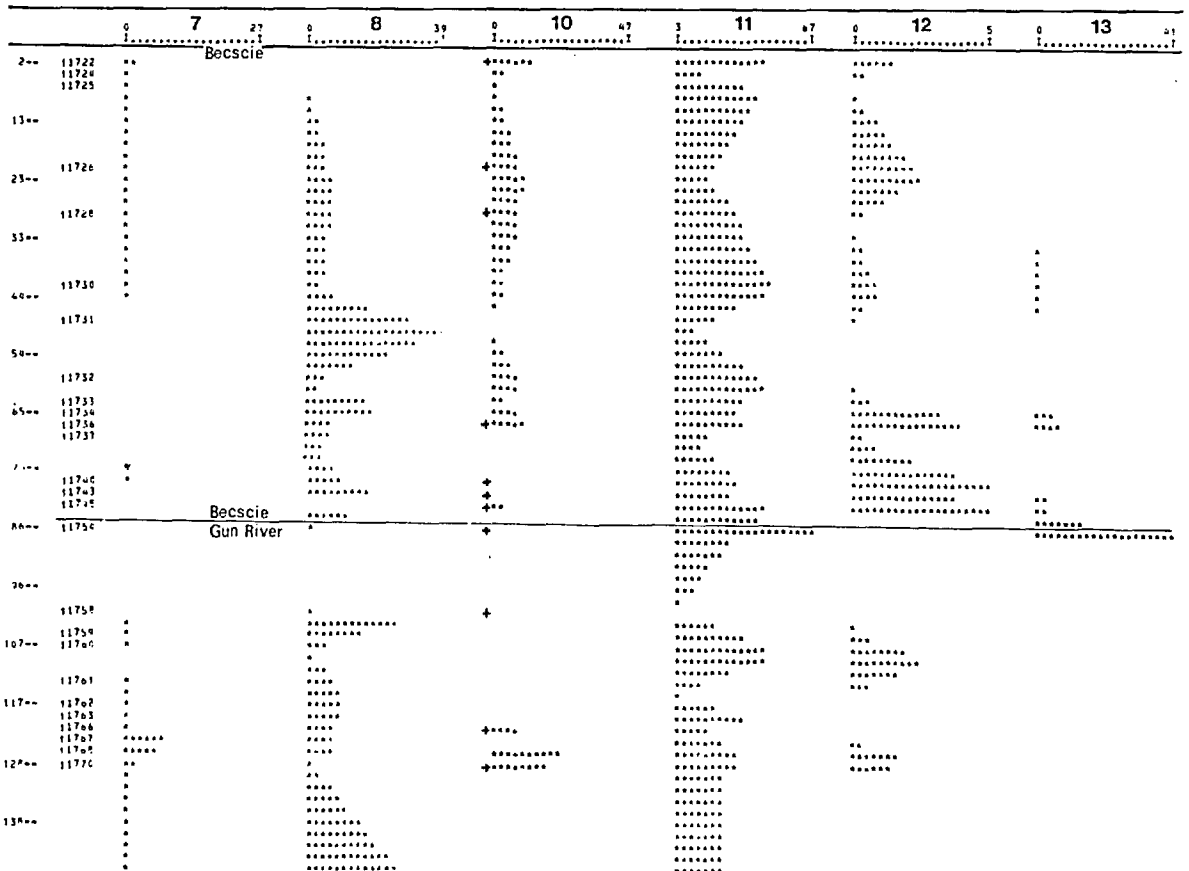
Coupe de la Rivière Jupiter (suite)

Diagrammes des valeurs

Descripteurs 1 à 6

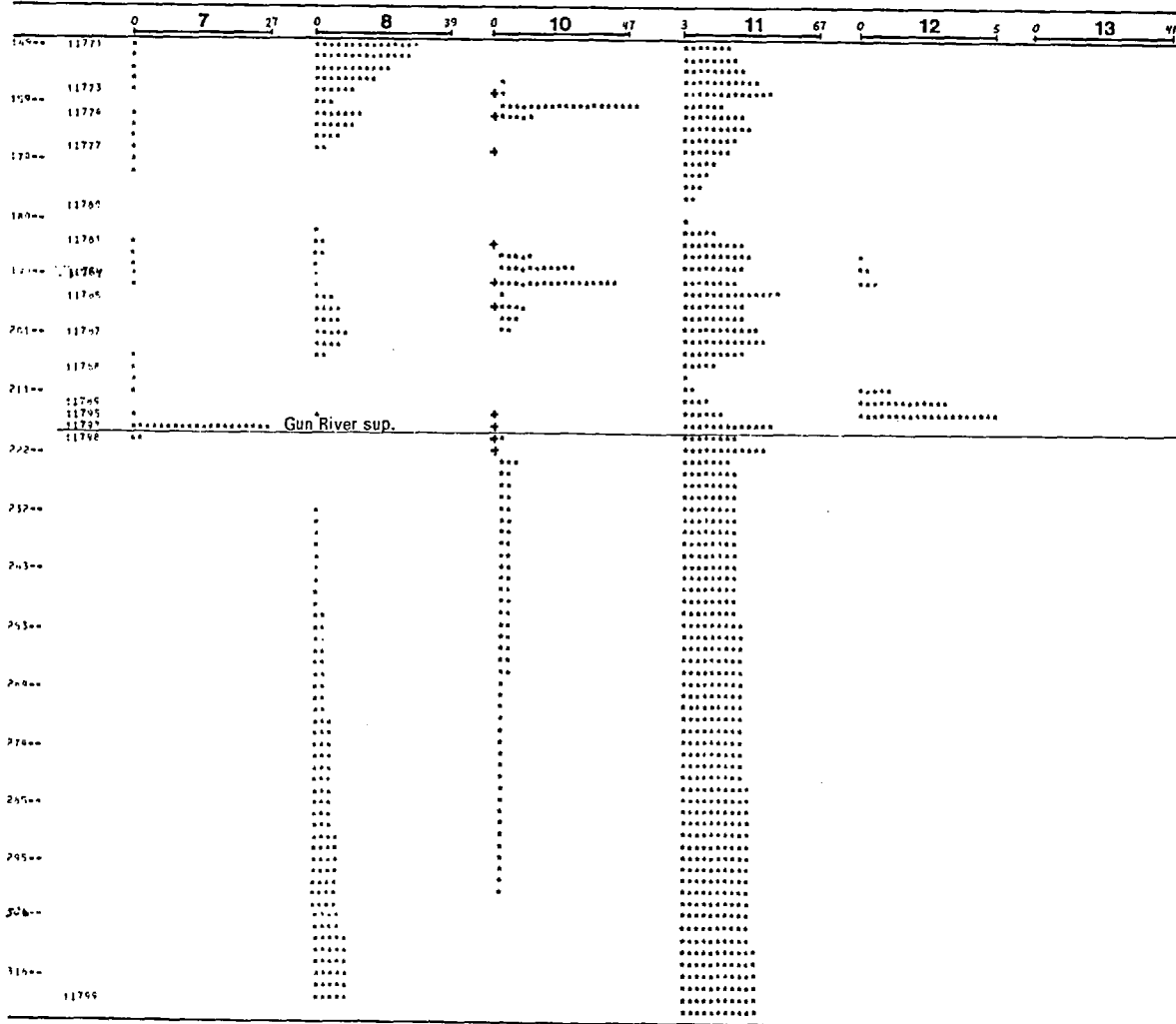


Descripteurs 7, 8, 10, 11, 12, 13

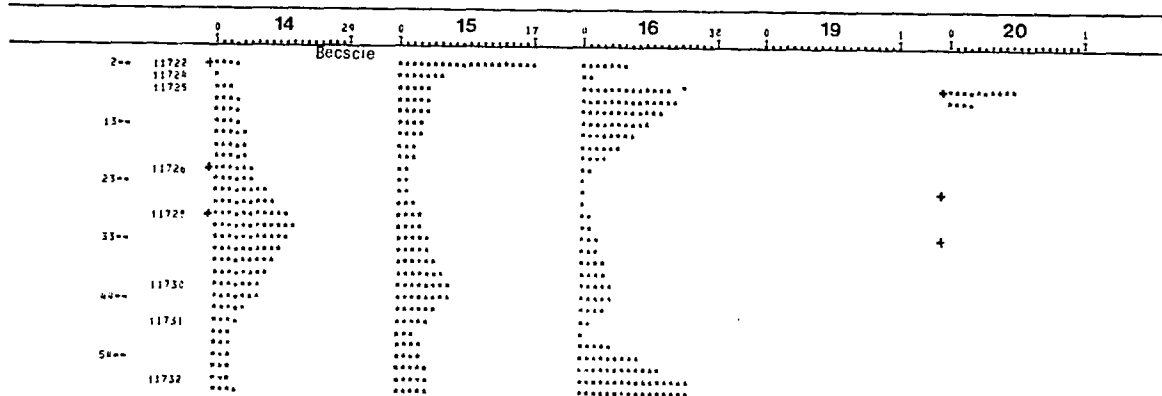


Coupe de la Rivière Jupiter (suite)

Diagrammes des valeurs Descripteurs 7, 8, 10, 11, 12, 13

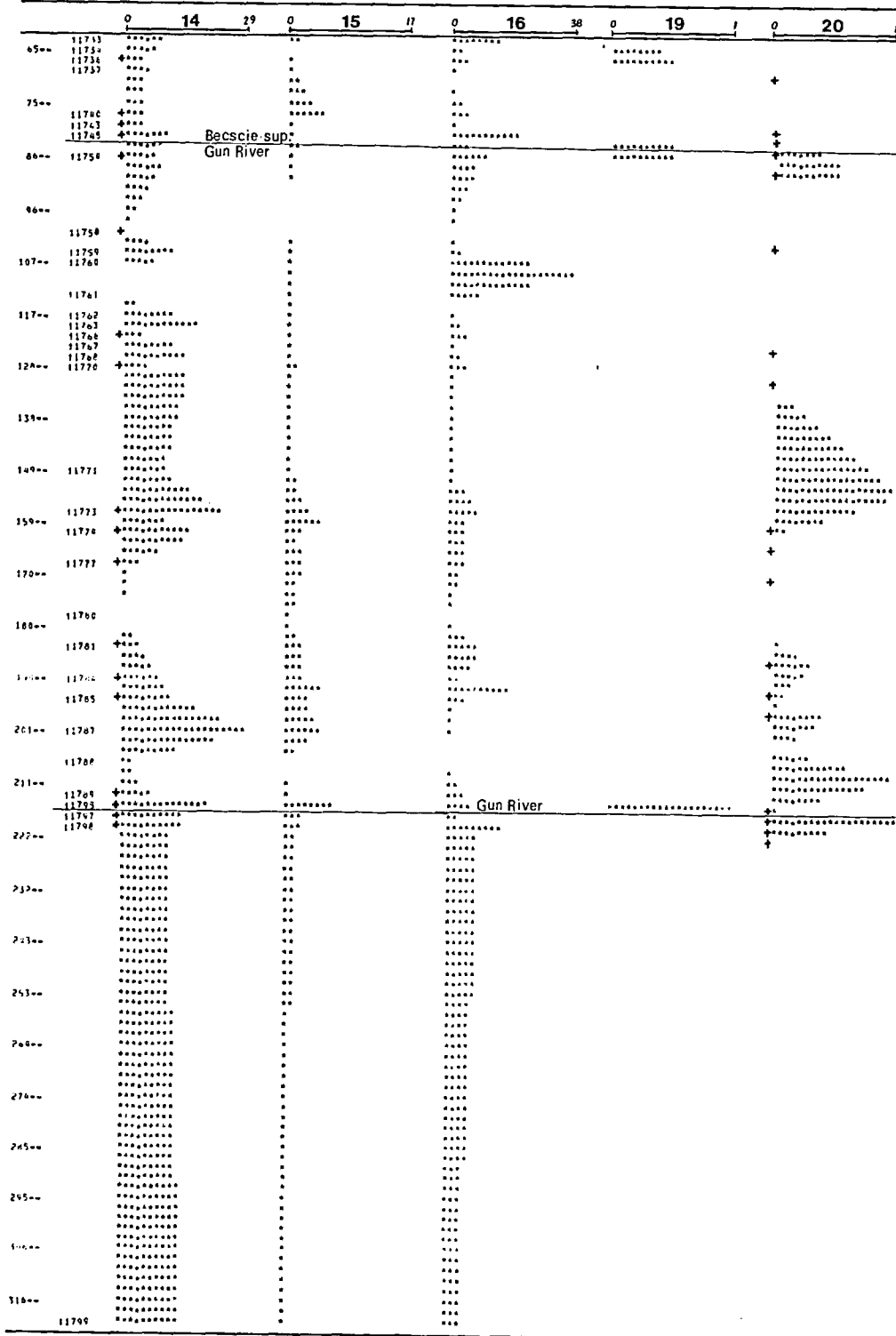


Descripteurs 14, 15, 16, 19, 20



Coupe de la Rivière Jupiter (fin)

Diagrammes des valeurs Descripteurs 14, 15, 16, 19, 20



Coupe de la Côte Sud-Centrale

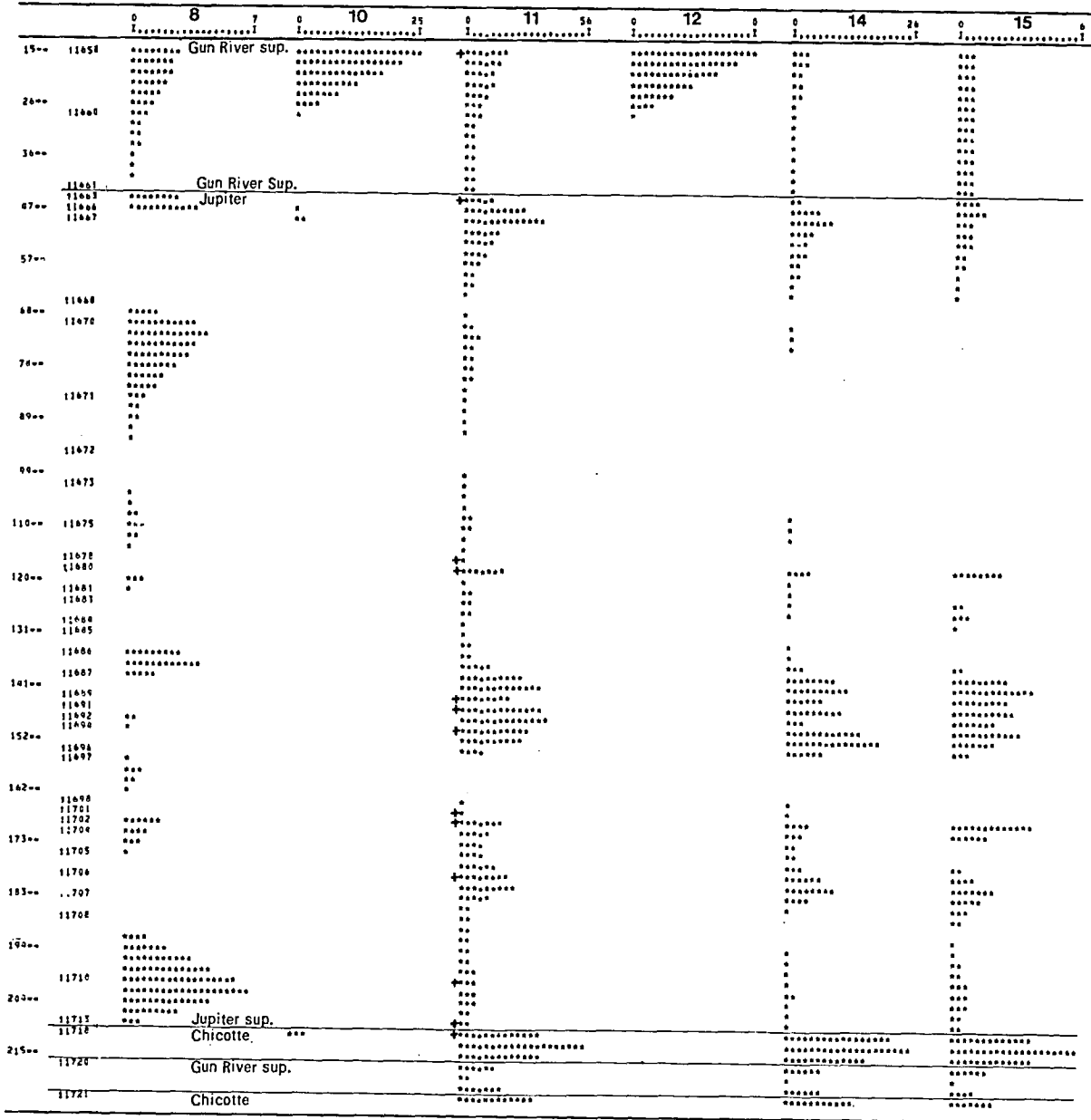
Tableau des valeurs

	1	2	3	4	5	6	7	8	9	10	11	12	13	14	15	16	17	18	19	20
11659	130	60	5	0	4	75	0	0	5	0	0	10	0	0	3	0	0	0	0	0
11658	130	50	53	0	0	17	12	0	1	0	51	28	1	0	5	2	15	0	0	0
11660	260	100	3	0	1	87	3	1	1	0	0	7	0	0	1	1	0	0	0	0
11661	415	40	11	0	1	80	1	2	0	0	0	7	0	0	1	1	0	0	0	0
11665	436	50	12	0	2	54	0	0	20	0	0	11	0	0	2	1	0	0	0	0
11665	436	50	2	0	1	50	5	1	1	0	0	46	0	0	15	2	5	0	1	0
11664	436	30	9	0	2	60	1	0	3	0	0	16	0	0	1	1	1	0	1	0
11663	436	30	14	0	1	75	0	5	0	0	0	11	0	0	2	2	1	0	0	0
11666	462	400	8	0	0	47	5	10	0	0	3	44	0	0	10	1	20	0	0	0
11667	480	250	11	0	1	60	1	0	0	0	0	17	0	0	5	1	7	0	0	0
11668	638	90	50	1	3	37	0	27	0	0	0	0	0	0	0	0	0	0	0	0
11670	688	50	5	0	1	80	1	1	5	0	0	8	0	0	1	0	1	0	0	1
11671	828	20	4	0	1	90	1	0	1	0	0	3	0	0	0	0	0	0	0	0
11672	950	40	9	0	0	80	0	0	0	0	0	1	0	0	0	0	0	0	0	0
11673	998	30	6	0	2	87	0	0	0	0	0	4	0	0	0	1	0	0	0	0
11675	1083	30	7	0	1	85	0	4	1	0	0	5	0	0	1	0	0	0	0	0
11676	1141	20	5	0	0	92	1	10	0	0	0	3	0	0	0	2	0	0	0	0
11677	1146	70	5	0	1	91	0	1	0	0	0	2	0	0	0	0	0	0	0	0
11678	1158	20	6	0	0	90	0	3	0	0	0	0	0	0	0	0	0	0	0	0
11679	1162	20	5	0	5	64	0	5	0	0	0	25	0	0	7	3	5	0	0	0
11680	1179	20	5	0	0	80	1	5	1	0	0	4	0	0	1	0	0	0	0	0
11681	1214	30	10	0	0	80	0	55	0	0	0	5	0	0	1	0	1	0	0	0
11683	1234	30	5	0	0	86	1	3	0	0	0	7	0	0	1	1	0	0	0	0
11684	1276	20	6	0	4	89	0	2	0	0	0	1	0	0	0	0	0	0	0	0
11685	1308	20	6	0	1	85	1	3	0	0	0	6	0	0	1	0	1	0	0	0
11686	1343	80	7	0	0	77	1	3	5	0	0	8	0	0	1	0	1	0	0	0
11687	1387	60	1	0	3	55	2	3	0	0	0	40	0	0	15	4	15	0	0	0
11688	1415	30	5	0	0	88	0	5	0	0	0	6	0	0	1	0	1	0	0	0
11689	1415	30	1	0	0	60	10	2	0	0	0	38	0	0	15	5	15	0	0	0
11690	1447	70	2	0	1	48	5	1	0	0	0	48	0	0	15	3	25	0	0	0
11691	1448	40	2	0	1	52	4	3	0	0	0	44	0	0	5	2	25	0	0	0
11692	1469	350	1	0	1	60	3	1	2	0	0	35	0	0	2	2	30	0	0	0
11693	1479	50	10	0	1	60	0	5	0	0	0	18	0	0	10	2	2	0	0	0
11693	1479	50	1	0	0	54	10	0	0	0	0	44	0	0	30	5	5	0	0	0
11694	1489	60	10	0	1	63	0	0	0	0	0	24	0	0	15	2	3	0	0	0
11694	1489	0	0	0	0	53	10	0	0	0	0	46	0	0	35	3	5	0	0	0
11696	1531	30	4	0	0	95	1	5	0	0	0	2	0	0	0	0	0	0	0	0
11697	1560	30	5	0	1	91	1	0	1	0	0	1	0	0	0	0	0	0	0	0
11698	1635	30	3	0	1	93	1	1	0	0	0	2	0	0	1	0	0	0	0	0
11699	1646	50	4	0	1	90	1	2	0	0	0	4	0	0	1	0	0	0	0	0
11700	1650	120	2	0	1	42	2	1	0	0	0	53	0	0	25	10	5	0	0	0
11701	1656	100	4	0	1	90	1	2	0	0	0	4	0	0	1	0	1	0	0	0
11703	1666	100	6	0	1	78	1	1	1	0	0	13	0	0	1	0	10	0	0	0
11702	1666	60	5	0	0	89	1	2	0	0	0	6	0	0	1	1	1	0	0	0
11702	1666	80	4	0	0	47	7	0	5	0	0	43	0	0	15	10	1	0	0	0
11704	1705	50	5	0	0	83	2	1	1	0	0	10	0	0	2	0	0	0	0	0
11705	1735	30	5	0	0	81	1	3	0	0	0	13	0	0	2	0	10	0	0	0
11706	1792	30	3	0	2	82	1	2	0	0	0	12	0	0	2	1	2	0	0	0
11706	1792	100	1	0	0	57	1	0	0	0	0	41	0	0	20	3	10	0	0	0
11707	1833	60	3	0	0	91	1	1	0	0	0	5	0	0	1	1	1	0	0	0
11708	1876	40	3	0	1	90	1	0	0	0	0	5	0	0	0	0	1	0	0	0
11709	1999	80	2	0	1	66	1	1	15	0	0	15	0	0	3	1	1	0	0	0
11710	1999	30	3	0	1	92	1	1	0	0	0	3	0	0	1	1	0	0	0	0
11712	2076	100	6	0	11	74	0	15	0	0	0	8	0	0	3	1	2	0	0	0
11713	2076	20	9	0	5	85	1	5	0	0	0	0	0	0	0	0	0	0	0	0
11714	2105	20	6	0	0	45	5	0	0	0	5	40	0	0	30	5	10	0	0	0
11715	2100	50	7	0	1	34	13	1	0	0	1	56	1	20	25	1	5	1	1	0
11717	2103	1000	6	0	4	30	22	2	0	0	4	49	10	0	30	3	3	0	1	0
11719	2105	0	0	0	0	40	30	1	0	0	0	59	0	0	15	7	2	25	1	0
11718	2105	0	1	0	0	40	35	5	0	0	1	59	0	0	40	5	2	2	5	1
* 11720	2167	30	2	0	2	93	1	1	0	0	0	2	0	0	0	0	6	0	0	0
11721	2213	0	0	0	0	66	51	0	0	0	0	34	0	0	15	2	4	0	3	0

*Coupe de la Rivière Jupiter

Coupe de la Côte Sud-Centrale (suite)

Diagrammes des valeurs Descripteurs 8, 10, 11, 12, 14, 15



Coupe de la Rivière aux Saumons

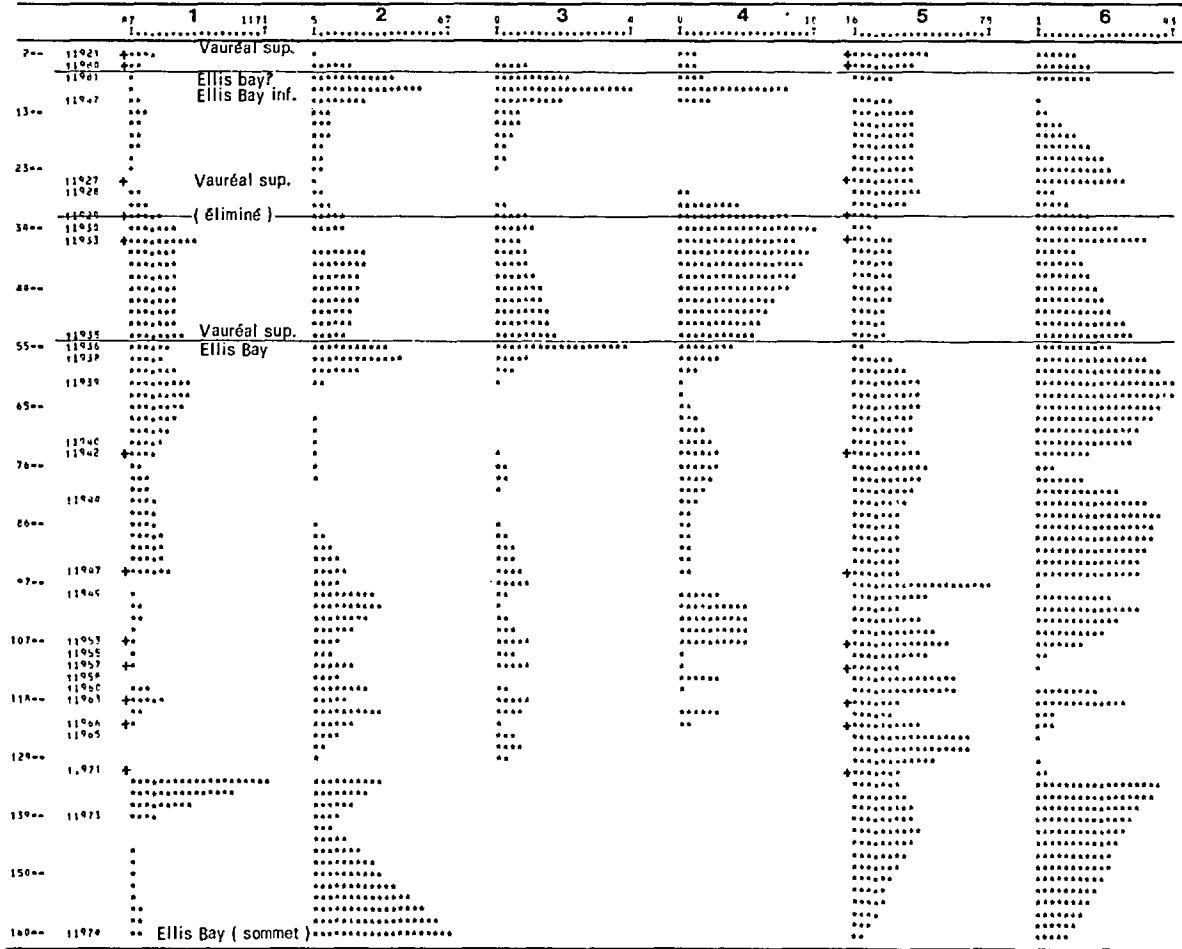
Tableau des valeurs

	1	2	3	4	5	6	7	8	9	10	11	12	13	14	15	16	17	18	19	20
11979	0	150	14	0	10	36	21	0	0	0	39	0	0	10	3	10	0	0	0	1
11978	0	200	10	0	1	38	38	0	0	0	50	0	0	25	7	15	0	0	0	1
11975	0	1300	7	0	0	39	38	1	0	0	52	0	0	30	15	3	0	0	0	1
11959	0	350	6	0	3	36	15	1	0	0	52	0	0	40	1	2	0	0	0	2
11925	80	150	7	0	0	37	10	3	1	0	54	0	0	20	15	10	0	0	0	1
11923	0	200	3	0	0	51	0	51	0	0	44	0	0	15	20	5	0	0	0	0
11922	0	120	5	0	0	60	3	1	1	0	33	0	0	10	15	3	0	0	0	0
11922	0	150	5	0	1	90	1	3	0	0	3	0	0	1	1	0	0	0	0	0
11921	0	120	11	0	0	63	0	3	0	0	25	0	0	1	20	0	0	0	0	0
11977	40	130	38	2	0	37	32	0	10	0	11	0	0	5	1	1	0	0	0	1
11980	40	130	36	2	2	36	10	0	0	0	16	0	0	10	1	1	0	0	0	1
11981	56	100	65	5	10	9	0	2	0	0	0	0	0	0	0	0	0	0	0	0
11947	94	250	16	1	0	45	3	1	0	0	10	37	0	0	20	7	2	0	0	1
11926	240	100	8	0	0	43	30	3	2	0	3	46	0	0	25	10	3	0	0	1
11927	245	200	10	0	0	44	10	1	0	0	5	45	0	0	25	5	3	0	0	2
11928	258	200	10	0	2	49	5	1	5	0	0	33	0	0	20	3	2	0	1	0
11929	842	420	38	2	20	10	10	0	0	0	28	0	0	0	20	6	0	0	0	5
11929	400	11	1	1	33	33	0	0	0	1	53	0	0	35	3	2	0	0	0	5
11930	335	650	5	1	10	34	33	1	0	0	50	0	0	20	20	3	0	0	0	4
11931	348	600	5	0	1	43	42	1	0	0	50	0	0	40	5	1	0	0	0	0
11933	358	600	11	0	0	45	0	0	0	0	43	0	0	35	5	2	0	0	0	0
11933	358	300	50	2	20	26	26	0	0	0	0	0	0	0	0	0	0	0	0	0
11935	520	500	20	2	5	31	31	0	0	0	41	0	0	30	10	0	0	0	0	0
11936	530	400	50	5	4	19	19	0	0	0	16	0	0	0	15	1	0	0	0	0
11938	548	350	45	1	3	34	34	0	0	0	15	0	0	5	5	2	0	0	0	1
11939	596	600	5	0	0	49	44	0	0	0	46	0	0	15	25	3	0	0	0	1
11940	706	350	8	0	3	41	28	0	0	0	47	0	0	25	15	1	0	0	0	1
11942	730	100	10	0	3	65	1	0	0	0	21	0	0	10	5	1	0	0	1	0
11942	730	300	9	1	4	40	5	0	0	0	45	0	0	20	15	1	0	0	0	1
11944	810	300	4	0	1	39	39	0	0	0	53	0	0	25	20	1	0	0	0	1
11946	945	300	40	1	1	44	40	0	1	0	11	0	0	5	2	0	0	0	0	0
11945	945	500	5	1	1	29	20	0	4	0	1	59	0	10	45	1	0	0	0	1
11947	947	100	15	1	0	79	1	0	0	0	4	0	0	1	0	0	0	0	0	0
11949	980	200	40	0	5	35	35	0	0	0	16	0	0	3	12	0	0	0	0	0
11951	1056	150	15	1	5	61	15	0	3	0	13	0	0	5	1	1	0	0	0	0
11952	1060	1200	26	0	2	34	32	2	0	0	5	36	0	5	0	30	0	0	0	1
11952	1060	120	2	0	4	90	0	0	0	0	0	0	0	0	0	0	0	0	0	0
11950	1062	100	8	0	2	68	1	0	0	0	1	0	0	0	0	0	0	0	0	0
11953	1062	300	12	1	0	36	5	0	10	0	39	1	0	5	5	10	0	0	0	1
11955	1088	100	20	1	0	39	5	0	4	0	35	2	0	5	1	5	0	0	0	1
11956	1100	140	25	1	1	39	0	0	5	0	28	0	0	10	2	2	1	1	0	1
11957	1104	150	16	0	5	44	0	0	0	0	34	0	0	0	2	15	0	0	0	1
11958	1129	60	18	0	1	79	1	0	0	0	0	0	0	0	0	0	0	0	0	0
11960	1148	500	45	1	0	41	41	0	0	0	11	0	0	5	1	4	0	0	0	0
11961	1161	300	16	1	0	36	24	0	4	0	41	0	0	30	1	2	0	0	0	1
11963	1173	180	39	1	4	32	7	10	0	0	23	0	0	15	3	4	0	0	0	0
11966	1208	200	46	0	0	31	21	0	0	0	41	22	0	15	2	2	0	0	0	0
11964	1208	150	10	0	0	69	1	1	0	0	1	19	0	10	0	0	0	0	0	1
11966	1208	100	3	0	0	54	0	0	1	0	41	0	0	25	2	7	0	0	0	1
11965	1228	80	15	1	0	77	0	0	1	0	4	0	0	1	0	0	0	0	0	0
11968	1288	80	4	0	0	36	10	0	9	4	0	10	0	4	0	3	0	1	0	1
11967	1288	140	4	0	0	38	0	0	0	0	58	0	0	50	1	1	0	0	0	0
11971	1304	1200	35	0	0	38	38	0	0	0	16	26	1	10	2	2	4	1	0	0
11973	1385	100	12	0	0	46	29	2	5	0	35	0	0	5	1	10	0	0	0	0
11974	1580	200	67	0	0	22	11	1	0	0	60	11	0	2	1	1	0	0	0	0

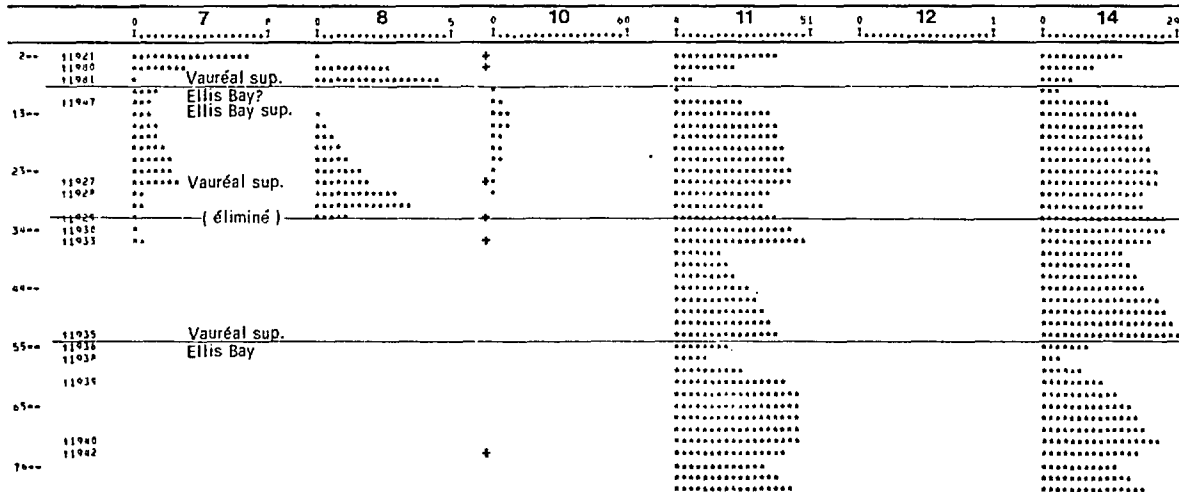
Coupe de la Rivière aux Saumons (suite)

Diagrammes des valeurs

Descripteurs 1 à 6

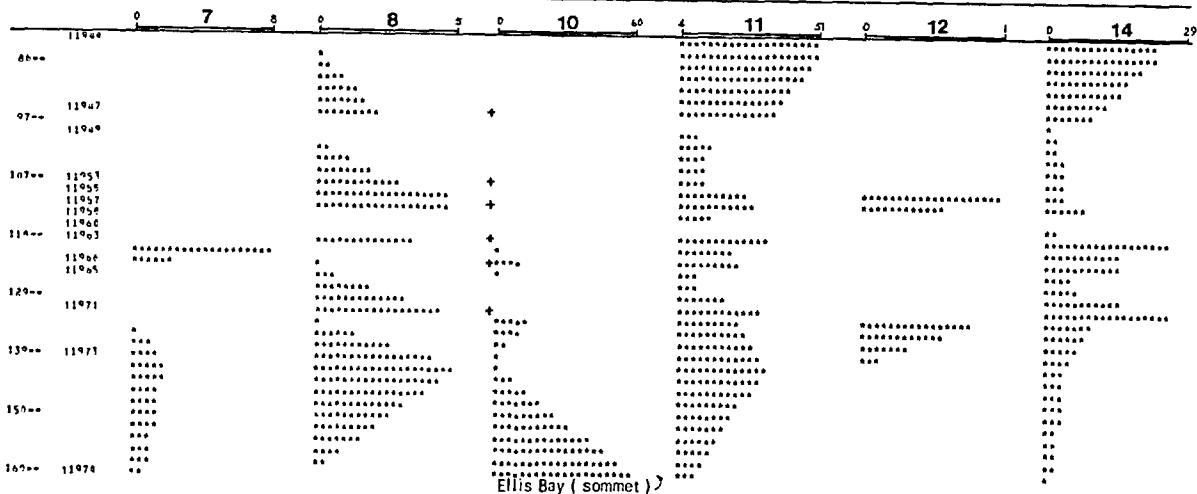


Descripteurs 7, 8, 10, 11, 12, 14

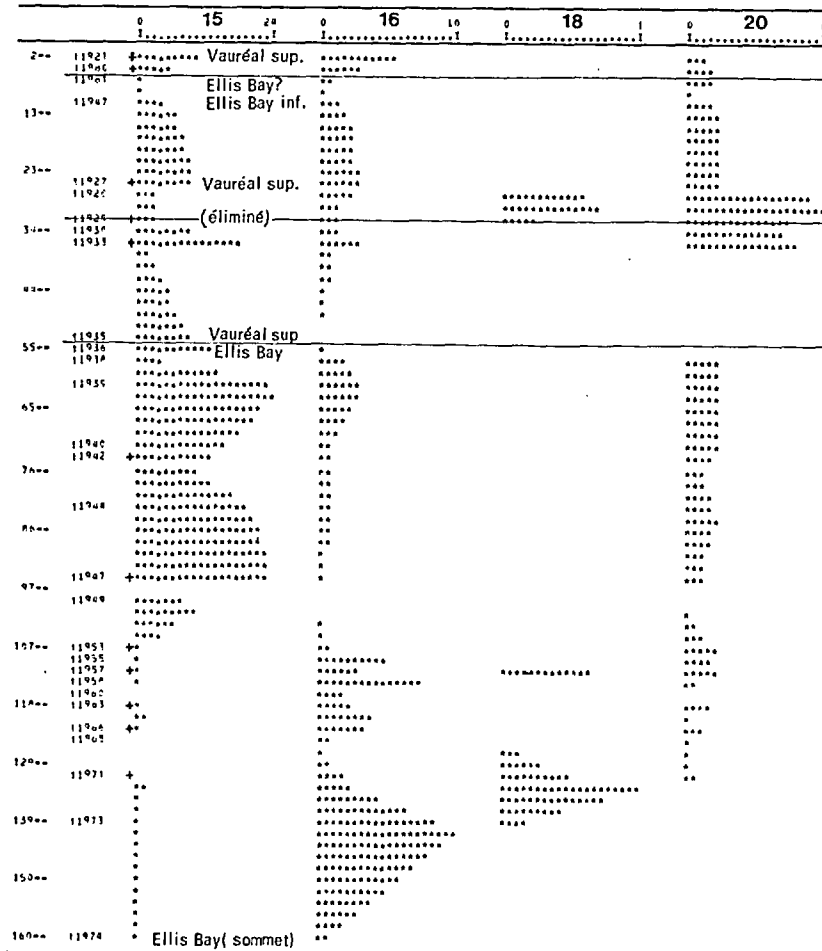


Coupe de la Rivière aux Saumons (fin)

Diagrammes des valeurs Descripteurs 7, 8, 10, 11, 12, 14



Descripteurs 15, 16, 18, 20



Coupe de la Rivière Chicotte

Tableau des valeurs

		1	2	3	4	5	6	7	8	9	10	11	12	13	14	15	16	17	18	19	20
11644	0	40	10	0	2	80	0	0	0	0	0	7	0	0	2	1	1	0	0	0	0
11645	1	00	1	0	1	43	23	20	3	0	0	51	0	0	5	1	45	0	0	0	0
11646	20	150	1	0	0	42	31	1	3	0	0	53	0	0	25	5	20	0	0	0	0
11647	39	50	5	0	1	50	15	20	0	0	0	43	0	0	15	2	15	0	0	0	0
11648	39	60	9	0	2	74	3	71	0	0	0	13	0	0	2	0	0	0	0	0	0
11649	49	0	1	0	0	38	37	1	0	0	1	60	1	0	50	1	3	0	1	2	0
11650	57	80	2	0	1	39	36	3	2	0	0	54	0	0	30	5	5	0	3	1	0
11651	64	50	1	0	0	40	31	8	0	0	0	58	0	0	25	15	10	0	1	1	0
11652	67	0	1	0	1	42	41	1	2	0	1	55	5	1	40	3	2	0	1	2	0
11653	74	0	0	0	0	42	40	2	1	0	0	56	1	0	20	2	20	0	1	1	0
11654	85	80	1	0	0	35	30	5	1	0	0	63	0	0	60	1	1	0	1	0	0
11655	95	80	1	0	1	49	38	1	0	0	0	48	10	0	10	5	2	0	0	0	10
11656	100	0	0	0	1	40	39	1	0	1	0	58	3	0	25	20	2	1	2	1	0
11657	115	0	0	0	1	38	27	1	0	0	0	60	1	1	35	15	1	1	0	1	0

Diagrammes des valeurs Descripteurs 1 et 2 à 5

	0	1	135	1	2	10	0	4	2	42	5	80
	I.....I	I.....I	I.....I	I.....I	I.....I	I.....I	I.....I	I.....I	I.....I	I.....I	I.....I	I.....I
11646	+	*****	Fm. Jupiter sup?	*****	*****	*****	*****	*****	*****	*****	*****	*****
11648	+	*****	*****	***	*****	*****	*****	*****	*****	*****	*****	*****
11652	+	*****	Fm. de Chicotte	****	*****	*****	**	*****	*****	*****	*****	*****
11654	+	*****	*****	*****	*****	*****	*****	*****	*****	*****	*****	*****
11656	+	*****	*****	*	*****	*****	*****	*****	*****	*****	*****	*****

Descripteurs 6, 7, 8, 11

	0	6	41	0	7	14	0	8	3	7	11	55
	I.....I	I.....I	I.....I	I.....I	I.....I	I.....I	I.....I	I.....I	I.....I	I.....I	I.....I	I.....I
11646	+	*****	Fm. Jupiter sup?	*****	*****	*****	*****	*****	*****	*****	*****	*****
11648	+	*****	*****	*****	*****	*****	*****	*****	*****	*****	*****	*****
11652	+	*****	Fm. de Chicotte	*****	*****	*****	*****	*****	*****	*****	*****	*****
11654	+	*****	*****	*****	*****	*****	*****	*****	*****	*****	*****	*****
11656	+	*****	*****	***	*****	*****	*****	*****	*****	*****	*****	*****

Descripteurs 12, 14, 15, 16

	0	12	7	2	14	39	1	15	4	1	16	18
	I.....I	I.....I	I.....I	I.....I	I.....I	I.....I	I.....I	I.....I	I.....I	I.....I	I.....I	I.....I
11646	+	*****	Fm. Jupiter sup?	*****	*****	*****	*****	*****	*****	*****	*****	*****
11648	+	*****	*****	*****	*****	*****	*****	*****	*****	*****	*****	*****
11652	+	*****	Fm. de Chicotte	*****	*****	*****	*****	*****	*****	*****	*****	*****
11654	+	*****	*****	*****	*****	*****	*****	*****	*****	*****	*****	*****
11656	+	*****	*****	*****	*****	*****	*****	*****	*****	*****	*****	*****

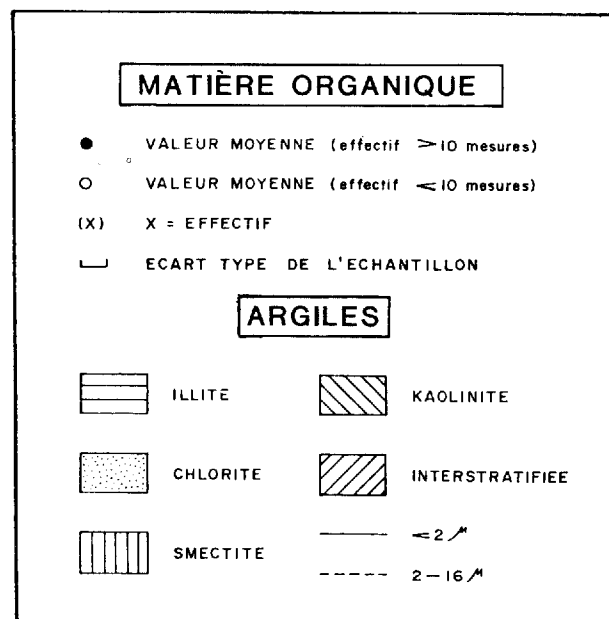
Descripteurs 18, 19

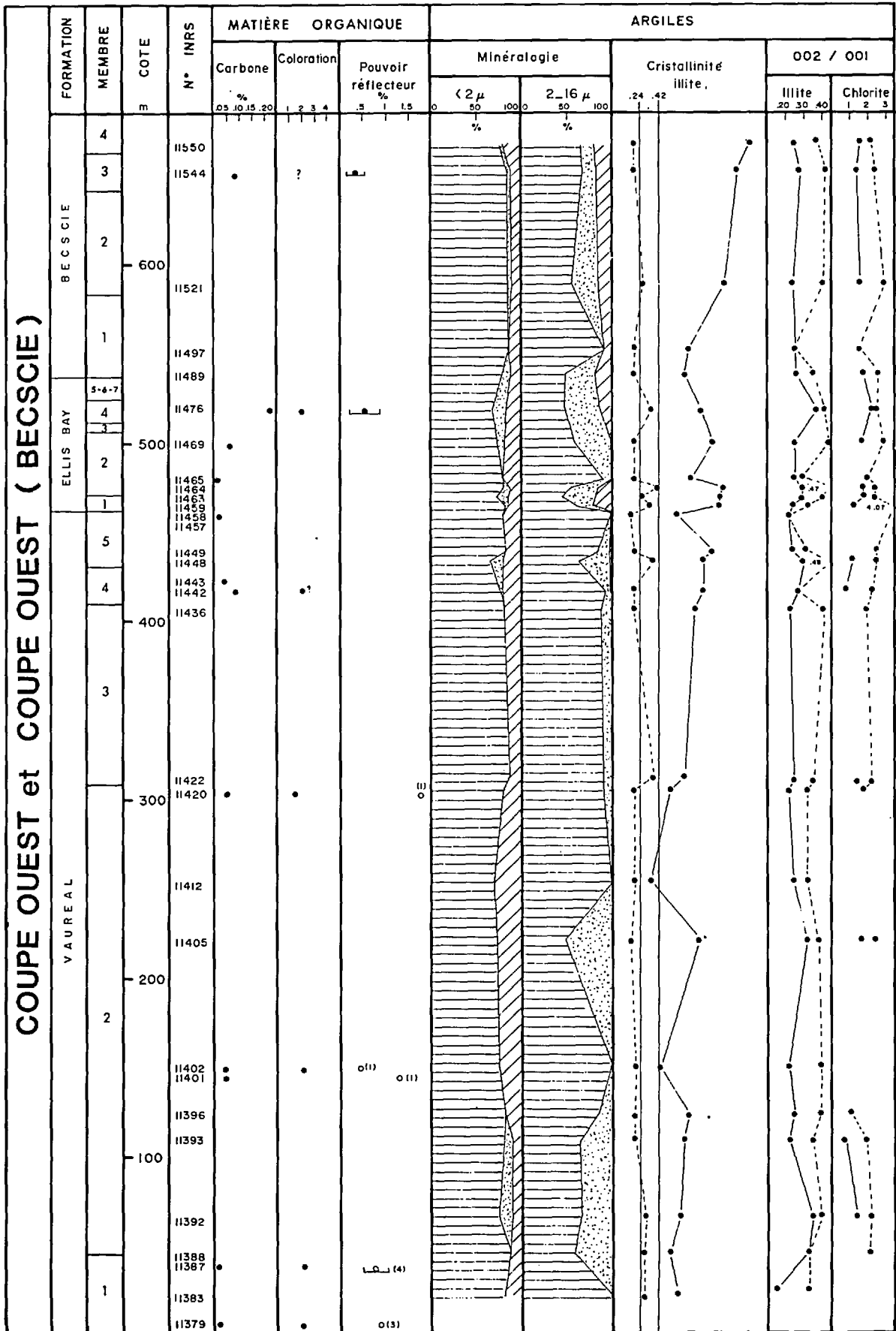
	0	18	1	0	19	2
	I.....I	I.....I	I.....I	I.....I	I.....I	I.....I
11646	+	*****	Fm. Jupiter sup?	*****	*****	*****
11648	+	*****	*****	*****	*****	*****
11652	+	*****	Fm. de Chicotte	*****	*****	*****
11654	+	*****	*****	*****	*****	*****
11656	+	*****	*****	*****	*****	*****

DIAGRAMMES DES ANALYSES DE LA MATIÈRE ORGANIQUE ET DES ARGILES

Ces diagrammes ont été préparés pour les coupes **Ouest**, **Ouest (Becscie)**, **Rivière à l'Huile**, **Côte Sud-Centrale** et **Rivière Jupiter** ainsi que pour le puits **Sandtop**.

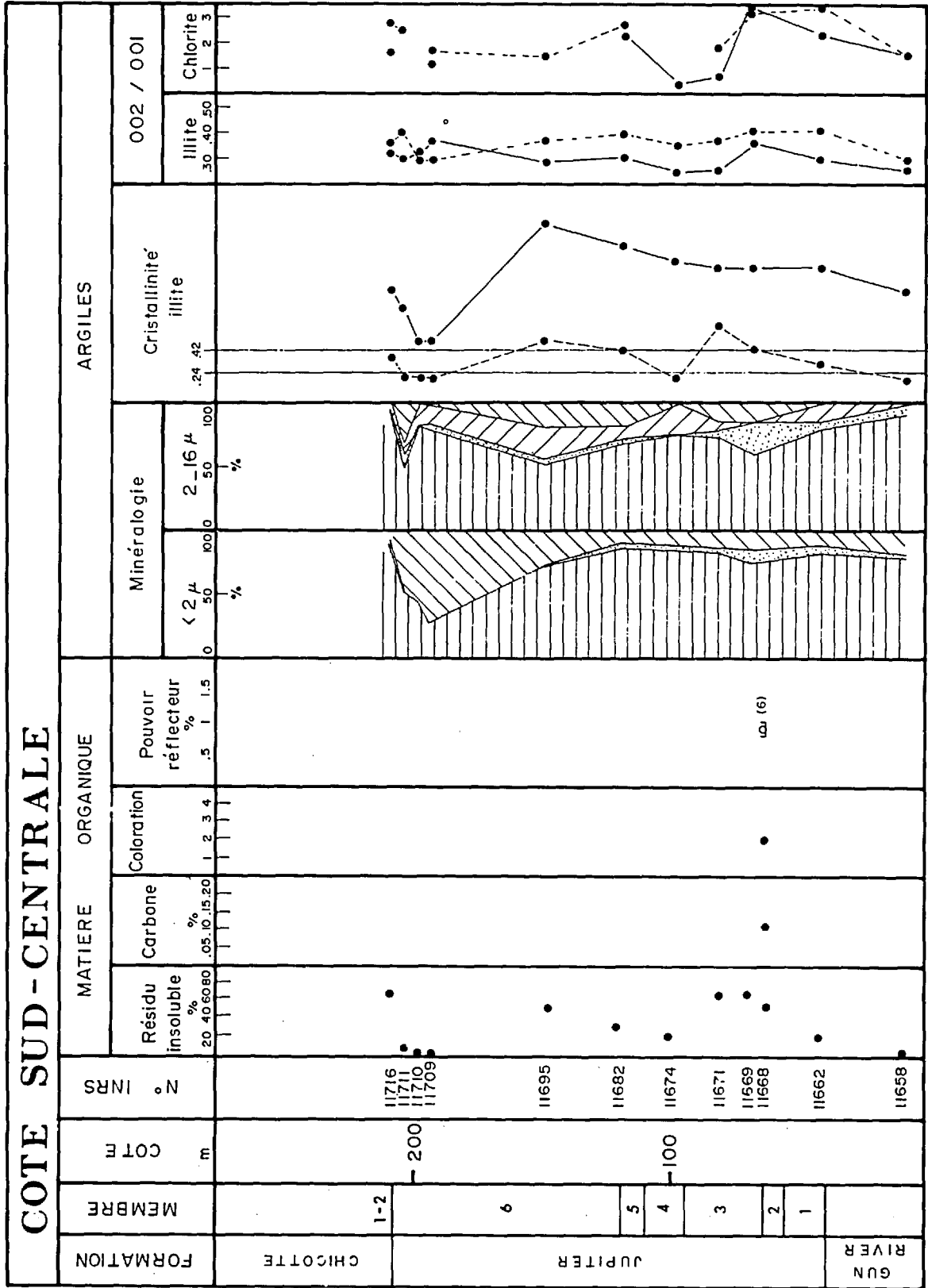
La légende commune à tous les diagrammes est la suivante:

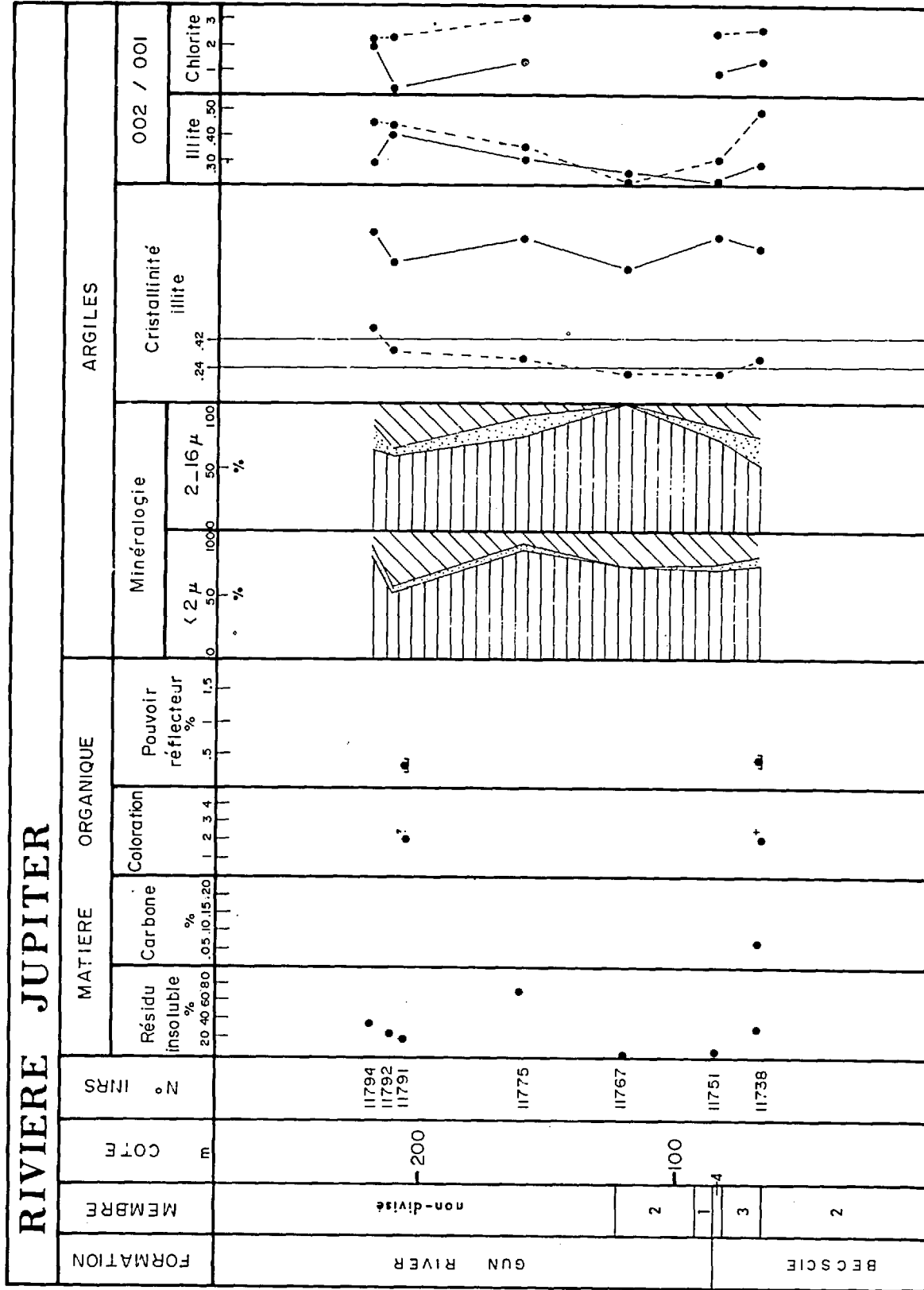




RIVIERE A L'HUILE

FORMATION	MEMBRE	COTE	N° INRS	MATIERE ORGANIQUE				ARGILES													
				Résidu insoluble % 10 20 30 40	Carbone % .05 .10 .15 .20	Coloration 1 2 3 4	Pouvoir réflecteur % .5 1 1.5	Minéralogie		Cristallinité Illite		002 / 001									
								< 2 μ %	2 - 16 μ %	.24 .42		Illite .30 .40 .50	Chlorite 1 2 3								
ELLIS BAY	4	300	11611	•																	
	3		11603	•	50.7	•															
	2		11599	•	51.7																
			11597	•																	
VAUREAL	non-divisé	200	11581	•																	
			11575	•		•															
			11574	•		•															
			11568	•																	
			11556	•																	
	1	100																			





SANDTOP

